

(12) NACH DEM VERTRAG ÜBER DIE INTERNATIONALE ZUSAMMENARBEIT AUF DEM GEBIET DES
PATENTWESENS (PCT) VERÖFFENTLICHTE INTERNATIONALE ANMELDUNG

(19) Weltorganisation für geistiges Eigentum
Internationales Büro



(43) Internationales Veröffentlichungsdatum
23. Mai 2002 (23.05.2002)

PCT

(10) Internationale Veröffentlichungsnummer
WO 02/40710 A2

(51) Internationale Patentklassifikation⁷: C12Q 1/68,
G01N 33/50

(71) Anmelder (für alle Bestimmungsstaaten mit Ausnahme von
US): EPIGENOMICS AG [DE/DE]; Kastanienallee 24,
10435 Berlin (DE).

(21) Internationales Aktenzeichen: PCT/EP01/12951

(72) Erfinder; und

(22) Internationales Anmeldedatum:
8. November 2001 (08.11.2001)

(75) Erfinder/Anmelder (nur für US): OLEK, Alexander [DE/DE]; Schröderstrasse 13, 10115 Berlin (DE).
PIEPENBROCK, Christian [DE/DE]; Schwartzkopffstrasse 7 B, 10115 Berlin (DE). BERLIN, Kurt [DE/DE]; Marienkäferweg 4, 14532 Stahnsdorf (DE).

(25) Einreichungssprache: Deutsch

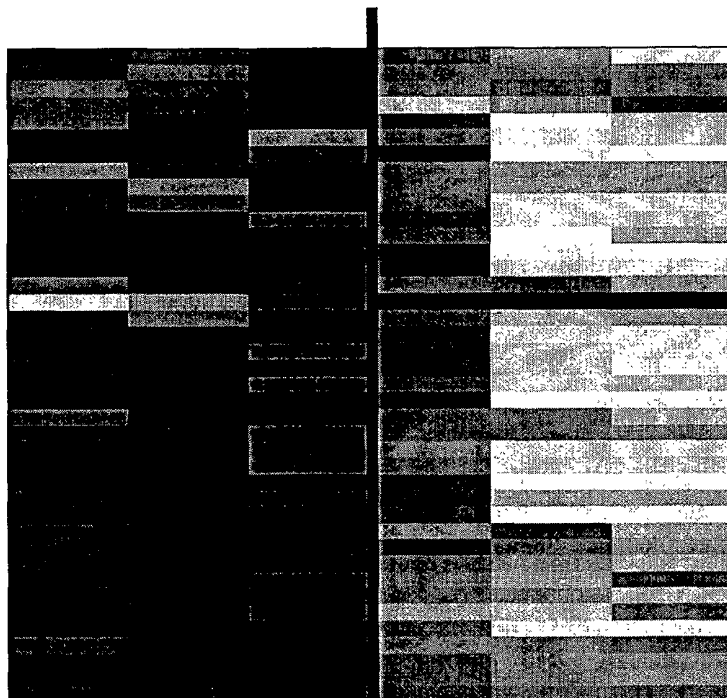
(26) Veröffentlichungssprache: Deutsch

(74) Anwalt: SCHUBERT, Klemens; Neue Promenade 5,
10178 Berlin-Mitte (DE).

[Fortsetzung auf der nächsten Seite]

(54) Title: METHOD FOR DETECTING METHYLATION STATES FOR A TOXICOLOGICAL DIAGNOSTIC

(54) Bezeichnung: VERFAHREN ZUR DETEKTION VON METHYLIERUNGZUSTÄNDEN ZUR TOXIKOLOGISCHEN DI-
AGNOSE



WO 02/40710 A2

(57) Abstract: The invention relates to a method for a toxicological diagnostic. According to the invention, a DNA sample is taken from an organism or a cell culture which has been exposed to a specific substance which is to be examined on account of its toxicological effect. The DNA contained in said sample is chemically pre-treated and the base sequence of a section of the modified DNA is determined. From there, a characteristic methylation state or a characteristic methylation model is determined for the sample. By comparison with data from methylation states of other samples, the effect of a substance on the organism or the cell culture is determined and/or compared to other substances in toxicological terms.

1 2 3
A B

(57) Zusammenfassung: Die vorliegende Erfindung betrifft ein Verfahren zur toxikologischen Diagnostik. Einem Lebewesen oder einer Zellkultur, die zuvor einer bestimmten auf ihre toxikologische Wirkung zu untersuchende Substanz ausgesetzt wurden, wird eine DNA-Probe entnommen. Die in dieser Probe enthaltene DNA wird chemisch vorbehandelt und die

[Fortsetzung auf der nächsten Seite]



(81) Bestimmungsstaaten (national): AE, AG, AL, AM, AT, AU, AZ, BA, BB, BG, BR, BY, BZ, CA, CH, CN, CO, CR, CU, CZ, DK, DM, DZ, EC, EE, ES, FI, GB, GD, GE, GH, GM, HR, HU, ID, IL, IN, IS, JP, KE, KG, KP, KR, KZ, LC, LK, LR, LS, LT, LU, LV, MA, MD, MG, MK, MN, MW, MX, MZ, NO, NZ, OM, PH, PL, PT, RO, RU, SD, SE, SG, SI, SK, SL, TJ, TM, TR, TT, TZ, UA, UG, US, UZ, VN, YU, ZA, ZW.

(84) Bestimmungsstaaten (regional): ARIPO-Patent (GH, GM, KE, LS, MW, MZ, SD, SL, SZ, TZ, UG, ZW), eurasisches Patent (AM, AZ, BY, KG, KZ, MD, RU, TJ, TM), europäisches Patent (AT, BE, CH, CY, DE, DK, ES, FI, FR, GB, GR, IE, IT, LU, MC, NL, PT, SE, TR),

OAPI-Patent (BF, BJ, CF, CG, CI, CM, GA, GN, GQ, GW, ML, MR, NE, SN, TD, TG).

Veröffentlicht:

- ohne internationalen Recherchenbericht und erneut zu veröffentlichen nach Erhalt des Berichts
- insgesamt in elektronischer Form (mit Ausnahme des Kopfbogens); auf Antrag vom Internationalen Büro erhältlich

Zur Erklärung der Zweibuchstaben-Codes und der anderen Abkürzungen wird auf die Erklärungen ("Guidance Notes on Codes and Abbreviations") am Anfang jeder regulären Ausgabe der PCT-Gazette verwiesen.

**Verfahren zur Detektion von Methylierungszuständen zur
toxikologischen Diagnostik**

5

Gebiet der Erfindung

Die nach den methodischen Entwicklungen der letzten Jahre in der Molekularbiologie gut studierten Beobachtungsebenen sind die Gene selbst, die Übersetzung dieser Gene in RNA und die daraus entstehenden Proteine. Wann im Laufe der Entwicklung eines Individuums welches Gen angeschaltet wird und wie Aktivieren und Inhibieren bestimmter Gene in bestimmten Zellen und Geweben gesteuert wird, ist mit Ausmaß und Charakter der Methylierung der Gene bzw. des Genoms korrelierbar. Insofern äußern sich pathogene Zustände in einem veränderten Methylierungsmuster einzelner Gene oder des Genoms.

In der vorliegenden Erfindung werden die Methylierungszustände von toxikologisch relevanten Genen bestimmt und die dabei erfassten Daten zu Methylierungsmustern zusammengefasst. Durch Vergleich der erhaltenen Muster mit entsprechenden Referenzproben können umfassende prognostische Aussagen über die toxikologischen Eigenschaften von Substanzen gemacht werden. Des weiteren soll ein Verfahren vorgestellt werden, welches die Analyse von Methylierungspositionen der zu untersuchenden Gene in grossem Umfang ermöglicht.

30

Stand der Technik

Die toxikologische Beurteilung von chemischen Substanzen wird gegenwärtig vor allem durch Versuche an Tieren durchgeführt. Tierversuche sind ethisch problematisch,

zeitaufwendig und teuer. Um die toxikologischen Konsequenzen von Substanzen besser abschätzen zu können, werden zunehmend Verfahren der Genexpressionsanalyse eingesetzt. Solche Ansätze beruhten bisher im wesentlichen auf der Analyse der mRNA. Vor allem durch DNA Chips können dabei tausende von Genen bezüglich Veränderungen ihrer transkriptionellen Aktivität parallel untersucht werden. Aus der veränderten Genexpression kann wiederum auf bestimmte toxikologische Parameter geschlossen werden
10 (Stoughton R. et al., U.S. 6132969).

5-Methylcytosin ist die häufigste kovalent modifizierte Base in der DNA eukaryotischer Zellen. Sie spielt beispielsweise eine Rolle in der Regulation der Transkription, beim genetischen Imprinting und in der Tumorgenese.
15 Die Identifizierung von 5-Methylcytosin als Bestandteil genetischer Information ist daher von erheblichem Interesse. 5-Methylcytosin-Positionen können jedoch nicht durch Sequenzierung identifiziert werden, da 5-Methylcytosin das gleiche Basenpaarungsverhalten aufweist wie Cytosin. Darüber hinaus geht bei einer PCR-Amplifikation die epigenetische Information, welche die 5-Methylcytosine tragen, vollständig verloren.

25 Eine relativ neue und die mittlererweile am häufigsten angewandte Methode zur Untersuchung von DNA auf 5-Methylcytosin beruht auf der spezifischen Reaktion von Bisulfit mit Cytosin, das nach anschließender alkalischer Hydrolyse in Uracil umgewandelt wird, welches in seinem Basenpaarungsverhalten dem Thymidin entspricht. 5-Methylcytosin wird dagegen unter diesen Bedingungen nicht modifiziert. Damit wird die ursprüngliche DNA so umgewandelt, dass Methylcytosin, welches ursprünglich durch sein Hybridisierungsverhalten vom Cytosin nicht unterschieden werden kann, jetzt durch „normale“ molekularbiologische Techniken als einzig verbliebenes Cytosin beispielsweise

durch Amplifikation und Hybridisierung oder Sequenzierung nachgewiesen werden kann. Alle diese Techniken beruhen auf Basenpaarung, welche jetzt voll ausgenutzt wird. Der Stand der Technik, was die Empfindlichkeit betrifft, wird durch ein Verfahren definiert, welches die zu untersuchende DNA in einer Agarose-Matrix einschließt, dadurch die Diffusion und Renaturierung der DNA (Bisulfit reagiert nur an einzelsträngiger DNA) verhindert und alle Fällungs- und Reinigungsschritte durch schnelle Dialyse ersetzt (Olek, A. et al., Nucl. Acids. Res. 1996, 24, 5064-5066). Mit dieser Methode können einzelne Zellen untersucht werden, was das Potential der Methode erschaulicht. Allerdings werden bisher nur einzelne Regionen bis etwa 3000 Basenpaare Länge untersucht, eine globale Untersuchung von Zellen auf Tausenden von möglichen Methylierungsanalysen ist nicht möglich. Allerdings kann auch dieses Verfahren keine sehr kleinen Fragmente aus geringen Probenmengen zuverlässig analysieren. Diese gehen trotz Diffusionsschutz durch die Matrix verloren.

20

Eine Übersicht über die weiteren bekannten Möglichkeiten, 5-Methylcytosine nachzuweisen, kann aus dem folgenden Übersichtsartikel entnommen werden: Rein, T., DePamphilis, M. L., Zorbas, H., Nucleic Acids Res. 1998, 26, 2255.

25

Die Bisulfit-Technik wird bisher bis auf wenige Ausnahmen (z. B. Zechnick, M. et al., Eur. J. Hum. Gen. 1997, 5, 94-98) nur in der Forschung angewendet. Immer aber werden kurze, spezifische Stücke eines bekannten Gens nach einer Bisulfit-Behandlung amplifiziert und entweder komplett sequenziert (Olek, A. und Walter, J., Nat. Genet. 1997, 17, 275-276) oder einzelne Cytosin-Positionen durch eine „Primer-Extension-Reaktion“ (Gonzalgo, M. L. und Jones, P. A., Nucl. Acids Res. 1997, 25, 2529-2531, WO-Patent 9500669) oder einen Enzymschnitt (Xiong, Z. und Laird, P. W., Nucl. Acids. Res. 1997, 25, 2532-2534) nachgewiesen.

Zudem ist auch der Nachweis durch Hybridisierung beschrieben worden (Olek et al., WO 99 28498).

Weitere Publikationen, die sich mit der Anwendung der Bisulfit-Technik zum Methylierungsnachweis bei einzelnen Genen befassen, sind: Xiong, Z. und Laird, P. W. (1997), Nucl. Acids Res. 25, 2532; Gonzalgo, M. L. und Jones, P. A. (1997), Nucl. Acids Res. 25, 2529; Grigg, S. und Clark, S. (1994), Bioassays 16, 431; Zeschnik, M. et al. (1997), Human Molecular Genetics 6, 387; Teil, R. et al. (1994), Nucl. Acids Res. 22, 695; Martin, V. et al. (1995), Gene 157, 261; WO 97 46705, WO 95 15373 und WO 45560.

Eine Übersicht über den Stand der Technik in der Oligomer Array Herstellung lässt sich aus einer im Januar 1999 erschienenen Sonderausgabe von Nature Genetics (Nature Genetics Supplement, Volume 21, January 1999) und der dort zitierten Literatur entnehmen.

20

Für die Abtastung eines immobilisierten DNA-Arrays sind vielfach fluoreszenzmarkierte Sonden verwendet worden. Besonders geeignet für Fluoreszenzmarkierungen ist das einfache Anbringen von Cy3 und Cy5 Farbstoffen am 5-OH der jeweiligen Sonde. Die Detektion der Fluoreszenz der hybridisierten Sonden erfolgt beispielsweise über ein Konfokalmikroskop. Die Farbstoffe Cy3 und Cy5 sind, neben vielen anderen, kommerziell erhältlich.

30

Matrix-assistierte Laser Desorptions/Ionisations-Massenspektrometrie (MALDI-TOF) ist eine sehr leistungsfähige Entwicklung für die Analyse von Biomolekülen (Karas, M. und Hillenkamp, F. (1988), Laser desorption ionization of proteins with molecular masses exceeding 10000 daltons. Anal. Chem. 60: 2299-2301). Ein Analyt wird in

eine lichtabsorbierende Matrix eingebettet. Durch einen kurzen Laserpuls wird die Matrix verdampft und das Analytmolekül so unfragmentiert in die Gasphase befördert. Durch Stöße mit Matrixmolekülen wird die Ionisation des Analyten erreicht. Eine angelegte Spannung beschleunigt die Ionen in ein feldfreies Flugrohr. Auf Grund ihrer verschiedenen Massen werden Ionen unterschiedlich stark beschleunigt. Kleinere Ionen erreichen den Detektor früher als größere.

10

Genomische DNA wird durch Standardmethoden aus DNA von Zell-, Gewebe- oder sonstigen Versuchsproben gewonnen. Diese Standardmethodik findet sich in Referenzen wie Fritsch und Maniatis eds., Molecular Cloning: A Laboratory Manual, 1989.

Gegenwärtig ist es nicht Stand der Technik, grosse Mengen von Proben hinsichtlich bedeutsamer Methylierungspositionen für die toxikologische Diagnostik zu untersuchen.

15

Aufgabenstellung

Die vorliegende Erfindung soll ein Verfahren bereitstellen, welches sich zur Diagnose von Methylierungszuständen von Genen mit toxikologischer Relevanz eignet. Der Erfindung liegt die Erkenntnis zugrunde, dass sich insbesondere Cytosin-Methylierungszustände zur Diagnose von Expressionsveränderungen von Genen mit toxikologischer Relevanz besonders eignen.

Beschreibung

35 Die vorliegende Erfindung beschreibt ein Verfahren zur Beurteilung toxikologischer Eigenschaften bestimmter Sub-

stanzen. Das Verfahren beruht auf der Detektion spezifischer, durch die zu prüfende Substanz bewirkte Veränderungen des Methylierungszustandes oder des Methylierungsmusters von genomischer DNA.

5

Ein Methylierungszustand in dieser Erfindung ist ein für eine DNA-Probe spezifischer Zustand der Methylierung von Cytosinbasen.

10 Einem Lebewesen oder einer Zellkultur, die zuvor einer auf ihre toxikologische Wirkung zu überprüfende Substanz ausgesetzt waren, wird eine Probe entnommen, die DNA des Lebewesens oder der Zellkultur enthält.

15 Die zu analysierende genomische DNA wird dabei bevorzugt aus den üblichen Quellen für DNA erhalten, wie z. B. Zelllinien, Blut, Sputum, Stuhl, Urin, Gehirn-Rückenmarks-Flüssigkeit, in Paraffin eingebettetes Gewebe, beispielsweise Gewebe von Augen, Darm, Niere, Hirn, Herz, 20 Prostata, Lunge, Brust oder Leber, histologische Objektträger und alle möglichen Kombinationen hiervon.

In einem ersten Verfahrensschritt wird die erhaltene DNA derart behandelt, dass methylierte Cytosinbasen zu einer anderen Basenabfolge in der besagten DNA Probe führen. Anschließend wird die Basenabfolge der besagten behandelten DNA Probe bestimmt und auf einen für die Probe charakteristischen Methylierungszustand oder ein Methylierungsmuster geschlossen. Schließlich kann durch Vergleich des erhaltenen Methylierungszustandes oder Methylierungsmusters mit den Methylierungszuständen oder Methylierungsmustern von anderen Proben auf die Einwirkung der verwendeten Substanz auf das Lebewesen oder die Zellkultur geschlossen werden und/oder die Einwirkungen verschiedener Substanzen miteinander verglichen werden.

Bevorzugt wird im ersten Verfahrensschritt eine genomische DNA-Probe derart chemisch behandelt, dass an der 5'-Position unmethylierte Cytosinbasen in Uracil, Thymin oder eine andere vom Hybridisierungsverhalten her dem Cytosin unähnliche Base verwandelt werden. Dies wird im folgenden unter chemischer Vorbehandlung verstanden.

Bevorzugt wird dazu die oben beschriebene Behandlung genommischer DNA mit Bisulfit (Hydrogensulfit, Disulfit) und anschließender alkalischer Hydrolyse verwendet, die zu einer Umwandlung nicht methylierter Cytosin-Nukleobasen in Uracil führt.

Im zweiten Verfahrensschritt wird die Basenabfolge eines Teils der chemisch behandelten DNA bestimmt und auf für die Probe charakteristische Methylierungszustände geschlossen.

Bevorzugt werden in einem zweiten Verfahrensschritt zunächst aus der chemisch vorbehandelten genomischen DNA Fragmente unter Verwendung von Primeroligonukleotiden amplifiziert.

Bevorzugt werden mehr als 10 unterschiedliche Fragmente amplifiziert, die 100 - 2000 Basenpaare lang sind.

In einer bevorzugten Variante des Verfahrens führt man die Amplifikation mittels der Polymerasekettenreaktion (PCR) durch, wobei vorzugsweise eine thermostabile DNA-Polymerase verwendet wird.

Erfindungsgemäß bevorzugt ist es, dass die Amplifikation von mehreren DNA-Abschnitten in einem Reaktionsgefäß durchgeführt wird.

In einer bevorzugten Variante des Verfahrens umfasst der Satz von Primeroligonukleotiden mindestens zwei Oligonukleotide, deren Sequenzen jeweils revers komplementär oder identisch zu einem mindestens 18 Basenpaare langen Abschnitt der Sequenzen der zu untersuchenden Gene sind. Die Primeroligonukleotide sind vorzugsweise dadurch gekennzeichnet, dass sie kein CpG Dinukleotid enthalten.

Bevorzugt enthält mindestens eines der beiden zur Amplifizierung eines bestimmten Abschnitts der chemisch vorbehandelten DNA verwendeten Primeroligonukleotide identifizierbare Markierungen.

Erfindungsgemäß bevorzugt ist es, dass die Markierungen der Amplifikate Fluoreszenzmarkierungen sind.

Erfindungsgemäß bevorzugt ist es, dass die Markierungen der Amplifikate Radionuklide sind.

20 Erfindungsgemäß bevorzugt ist es, dass die Markierungen der Amplifikate ablösbare Molekülfragmente mit typischer Masse sind, die in einem Massenspektrometer nachgewiesen werden.

25 Erfindungsgemäß bevorzugt ist es, dass die Amplifikate, Fragmente der Amplifikate oder zu den Amplifikaten komplementäre Sonden im Massenspektrometer nachgewiesen werden.

30 Erfindungsgemäß bevorzugt ist es, dass zur besseren Detektierbarkeit im Massenspektrometer die erzeugten Fragmente eine einzelne positive oder negative Nettoladung aufweisen.

35 Erfindungsgemäß bevorzugt ist es, dass man die Detektion mittels Matrix assistierter Laser Desorptions/Ionisations

Massenspektrometrie (MALDI) oder mittels Elektrospray Massenspektrometrie (ESI) durchführt und visualisiert.

Erfindungsgemäß bevorzugt ist es, dass bei der Amplifikation mindestens ein Primeroligonukleotid an eine Festphase gebunden ist.

Vorzugsweise sind die Sondenoligonukleotide oder PNA-Oligomere an definierten Stellen an eine Festphase gebunden.

Erfindungsgemäß bevorzugt ist ferner, dass unterschiedliche Oligonukleotid und/oder PNA-Oligomersequenzen auf einer ebenen Festphase in Form eines rechtwinkligen oder hexagonalen Gitters angeordnet sind.

Die Festphasenoberfläche besteht bevorzugt aus Silizium, Glas, Polystyrol, Aluminium, Stahl, Eisen, Kupfer, Nickel, Silber oder Gold.

Im dritten Verfahrensschritt hybridisiert man die Amplifikate an einen Satz von mindestens 10 Oligonukleotid oder PNA-Oligomer Sonden. Die Amplifikate dienen dabei als Proben, die an vorher an einer Festphase gebundene Oligonukleotide hybridisieren. Unter Hybridisierung im Sinne dieser Erfahrung ist eine Bindung unter Ausbildung einer Duplex-Struktur eines Oligonukleotids an eine vollständig komplementäre Sequenz im Sinne der Watson-Crick Basenpaarungen in der Proben DNA zu verstehen. Die nicht hybridisierten Fragmente werden anschließend entfernt.

Die besagten Oligonukleotide umfassen mindestens eine Basensequenz mit einer Länge von 13 Nukleotiden, die revers komplementär oder identisch zu einem Abschnitt der Basensequenzen der zu untersuchenden Gene ist. Das Cytosin des CpG Dinukleotids ist das 5. bis 9. Nukleotid vom 5'-Ende

des 13 mers aus betrachtet. Für jedes CpG Dinukleotid ist ein Oligonukleotid vorhanden.

Die besagten PNA-Oligomere umfassen mindestens eine Basensequenz mit einer Länge von 9 Nukleotiden, die revers komplementär oder identisch zu einem Abschnitt der Basensequenzen der zu untersuchenden Gene ist, der mindestens ein CpG Dinukleotid enthält. Das Cytosin des CpG Dinukleotids ist das 4. bis 6. Nukleotid vom 5'-Ende des 9 mers aus gesehen. Für jedes CpG Dinukleotid ist ein Oligonukleotid vorhanden.

Im vierten Verfahrensschritt entfernt man die nicht hybridisierten Amplifikate.

15 Im letzten Verfahrensschritt detektiert man die hybridisierten Amplifikate.

20 Erfindungsgemäß bevorzugt ist es, dass an den Amplifikaten angebrachte Markierungen an jeder Position der Festphase, an der sich eine Oligonukleotidsequenz befindet, identifizierbar sind.

25 Erfindungsgemäß bevorzugt ist die Verwendung eines Verfahrens zur Diagnose von Methylierungszuständen innerhalb einer Gruppe von Genen, die sich durch eine besonders gut dokumentierte Verbindung zu toxikologischen Prozessen auszeichnen.

30 Bevorzugt dient das Verfahren zur Diagnose und/oder Prognose nachteiliger Ereignisse für Patienten oder Individuen, wobei diese nachteiligen Ereignisse im Zusammenhang mit der Diagnose toxikologisch bedeutender Parameter stehen.

35

Erfindungsgemäss verwendet wird das Verfahren zur Diagnose und/oder Prognose nachteiliger Ereignisse für Patienten oder Individuen, wobei diese nachteiligen Ereignisse im Zusammenhang mit der Diagnose toxikologisch bedeutender Parameter stehen.

Der zu untersuchende Satz von Genen umfasst mindestens eines der in Tab. 1 aufgeführten Gene oder aber Sequenzen, die im Bereich der Exons identisch oder zu mindestens 85% homolog zu den in Tab. 1 aufgeführten Genen sind.

	Gene Name	GenBank Accession #(s)
15	Serotransferrin-Präkursor; Siderophilin;	
	Beta-1-metallbindendes Globulin	M12530
	Lactotransferrin-Präkursor; Lactoferrin	X53961
	Apolipoprotein E Präkursor (APOE)	M12529
	Lipopolysaccharide-bindender Protein-	
20	Präkursor (LBP)	M35533
	B-Lymphozyt Kinase; Tyrosine-Protein-	
	Kinase BLK; p55-BLK	Z33998
	Apolipoprotein A-I Präkursor (APOAI)	X00566
	Apolipoprotein A-II Präkursor (APOAII)	X00955
25	Apolipoprotein C-III Präkursor (APOCIII)	X01388
	Endothelin 1 (ET1)	Y00749
	Makrophagenkolonie-stimulierender	
	Faktor 1 (CSF1; MCSF)	M37435
	familial intrahepatitisches Cholestasis 1	
30	Protein (FIC1)	AF038007
	Vaskulärer Endothelwachstumsfaktor D	
	(VEGFD); C-FOS-induzierter Wachstumsfaktor	
	(FIGF)	D89630
	Komplement-Komponente-4-bindendes Protein	
35	alpha (C4B-bindendes Protein; C4BPA);	
	Prolin-reiches Protein (PRP)	M31452
	Insulin-ähnlicher Wachstumsfaktor II (IGF2);	
	Somatomedin A	M29645

	Granulozytenmakrophagenkolonie-stimulierender Faktor (GM-CSF); CSF2	M11220
	epidermaler Wachstumsfaktor-Präkursor (EGF);	
	Beta-Urogastron	X04571
5	Hepatozytenwachstumsfaktor-Aktivator (HGF-Aktivator)	D14012
	Makrophage-"Inflammatory-Protein"-1-beta- Präkursor (MIP1-beta); T-Zellen-Aktivierungs- Protein 2 (AT2); PAT 744; H400; SIS-Gamma;	
10	Lymphozyt-Aktivierungs-Gen-1-Protein (LAG 1); HC21; kleines induzierbares Cytokin A4 (SCYA4); G 26 T-Lymphozyt sekretorisches Protein	J04130
	Gliawachstumsfaktor-2-Präkursor (GGFHPP2);	
15	Neuregulin; Heregulin-Beta3 + "neuer Differenzierungsfaktor" + Heregulin-alpha L12260; L12261 + U02326 + M94165 T-Zellen-spezifischer Rantes-Protein-Präkursor; sis delta; kleines induzierbares Zytokin A5 (SCYA5);	
20	"Rantes pro-Inflammatory"-Zytokin Makrophagen-"Inflammatory"-Protein-1-alpha- Präkursor (MIP1-alpha); Tonsillen-Lymphozyt- LD78-Alpha-Protein; GOS19-1-Protein; PAT 464.2; SIS-beta; kleines induzierbares Zytokin	M21121
25	A3 (SCYA3)	M23452
	Onkostatin M (OSM)	M27288
	Insulin-ähnlichen-Wachstumsfaktor-bindendes Protein 1 (IGFBP1); Plazenta-Protein 12 (PP12)	M31145
	Vaskulärer Endothelial-Wachstumsfaktor Präkursor	
30	(VEGF); Vaskulärer Permeabilitäts-Faktor (VPF) Hepatozyten-Wachstumsfaktor (HGF); Streufaktor (SF); Hepatopoeitin A	M32977; M27281
	Thymosin Beta-10 (TMSB10; THYB10); PTMB10	M60718
	Interferon Gamma-induzierter Protein-Präkursor	M92381
35	(gamma-IP10)	X02530
	Makrophagen "Inflammatory"-Protein 2 alpha (MIP2-alpha); wachstumsreguliertes Protein Beta (GRO-beta)	X53799
	OX40 Ligand (OX40L); GP34; tax-transkriptionell	

	aktiviertes Glycoprotein 1 (TXGP1)	X79929
	transformierender Wachstumsfaftor Beta 3 (TGF-beta3)	J03241
	Delta-artiger Protein Präkursor (DLK)	U15979; Z12172
5	Insulin-artiger Wachstumsfaktor-IA Präkursor (IGF1A); IGFBP1; Somatomedin C + Insulin- artiger Wachstumsfaktor I (IGF1)	M27544 + M37484
	CC Chemokin-Eotaxin-Präkursor; eosinophil chemotaktisches Protein; kleines induzierbares	
10	Zytokin A11 (SCYA11)	D49372; Z75669; Z75668
	"Sonic Hedgehog" (SHH)	L38518
	Interleukin-1-Rezeptor-Antagonist Protein- Präkursor (IL-1RA; IRAP)	M63099
15	Makrophage-Inhibitor Zytokin 1 (MIC1)	AF019770
	Erythropoietin	M11319
	Eosinophil "Granule-Major-Basic" Protein- Präkursor (MBP); Schwangerschafts-assoziiertes "Major-Basic-Protein; Knochenmarks-Proteoglykan 2	Y00809
20	Insulin-artigen Wachstumsfaktor-bindender Protein-3-Präkursor (IGF-bindendes Protein 3; IGFBP3; IBP3)	M31159; M35878
	zelluläres Retinsäure-bindendes Protein II (CRABP2)	M68867
25	Corticoliberin-Präkursor; Corticotropin- Freisetzungsfaktor (CRF); Corticotropin- Freisetzungshormon (CRH)	V00571
	Interferon-Gamma-Präkursor (IFN-gamma; IFNG); Immuninterferon	X01992; M29383
30	Interleukin-2-Präkursor (IL-2); T-Zellen- Wachstumsfaktor (TCGF)	A14844
	Interleukin-1-alpha-Präkursor (IL-1 alpha; IL1A); Hematopoietin-1	X02851
	Interleukin-4-Präkursor (IL-4); B-Zellen-Stimulierungsfaktor 1 (BSF- 1);	
35	Lymphozyt-Stimulierungsfaktor 1	M13982
	Interleukin-6-Präkursor (IL-6); B-Zellen- Stimulierungsfaktor 2 (BSF2); Interferon-Beta-2 (IFNB2); Hybridom-Wachstumsfaktor	X04602; M14584

	Interleukin-5-Präkursor (IL-5); T-Zellen-Substitutions-Faktor (TRF); eosinophiler Differenzierungs-Faktor; B-Zellen-Differenzierungsfaktor I	X04688; J03478
5	Interleukin-12-Beta-Untereinheit-Präkursor (IL-12B); zytotoxischer Lymphozyt-Maturations-Faktor 40-kDa-Untereinheit (CLMF p40); NK-Zellen-stimulierende Faktor-Untereinheit 2 (NKSF2)	M65290
10	Interleukin-12 alpha Untereinheit Präkursor (IL-12A); zytotoxische Lymphozyt-Maturations-Faktor 35-kDa Untereinheit (CLMF p35); NK-Zellen-stimulierende Faktor-Untereinheit 1 (NKSF1)	M65291
15	Pankreatitis-assozierter Protein-1-Präkursor Alpha-1-Säure-Glycoprotein-1-Präkursor (AGP1); Orosomucoid 1 (OMD1)	D13510
	C-reaktiver Protein-Präkursor	X02544
	Corticosteroid-bindendes Globulin	X56692
20	Corticosteroid-bindendes Globulin	J02943
	Prostaglandin-Endoperoxide-Synthase-1-Präkursor; Prostaglandin-G/H-Synthasel (PGH-Synthase-1; PTGS1; PHS1); Cyclooxygenase-1 (COX1)	M59979
	Amphiphysin (AMPH)	U07616
	5-Hydroxytryptamin-1D-Rezeptor (5-HT-1D; HTR1D); Serotonin-Rezeptor	
25	Serotonin-Rezeptor	M89955
	Neuromedin-B-Präkursor	M21551
	Haupt-Prion-Protein-Präkursor (PRP); PRP27-30; PRP33-35C; ASCR	
	Dopamin-Beta-Hydroxylase (DBH); Dopamin-Beta-Monoxygenase-Präkursor	M13667
30	Dopamin-Beta-Hydroxylase (DBH); Dopamin-Beta-Monoxygenase-Präkursor	X13255
	Alzheimer-Krankheit-Amyloid-A4-Protein-Präkursor; ProteaseNexin-II (PN-II); APP	
	membrangebundene & lösliche Catechol-O-Methyltransferase (COMT)	Y00264
35	Flavin-enthaltende Amin-Oxidase-A; Monoamin-Oxidase (MAO-A)	M65212
	Erythropoietin-Rezeptor (EPOR)	M68840
	kationunabhängiger Mannose-6-Phosphat-Rezeptor-Präkursor (CI Man-6-P Rezeptor; CI-MPR); Insulin-	M60459

	artiger Wachstumsfaktor-II-Rezeptor (IGFR II)	Y00285; J03528
	Aktivin-Rezeptor-Typ-II-Präkursor (ACTRIIA;	
	ACVR2)	D31770
	Retinoid-X-Rezeptor-GAMMA (RXR-GAMMA)	U38480
5	transkriptioneller Enhancer-Faktor (TEF1);	
	Protein GT-IIC; Transkriptionsfaktor 13 (TCF13)	M63896
	Glucocorticoid-Rezeptor (GRL)	M10901
	Orphan-Zellkern-Hormon-Rezeptor BD73	L31785
	"Low-Density"-Lipoprotein-Rezeptor (LDL Rezeptor;	
10	LDLR)	M28219
	Sulfonylharnstoff-Rezeptor 2A (SUR2A)	AF061323
	Sulfonylharnstoff-Rezeptor (SUR);	
	ATP-bindendes Kassetten-Unterfamilie C (CFTR/MRP)	
	Mitglied 8 (ABCC8)	L78207
15	Farnesol-Rezeptor HRR-1	U68233
	Tyrosin-Protein-Kinase-Rezeptor UFO	X66029
	Colorectal-Krebs-Suppressor-Protein Präkursor (DCC)	X76132
	Vaskulär-Zellen-Adhäsons-Protein 1	X53051
	Alpha1-Catenin (CTNNA1); Cadherin-assoziiertes	
20	Protein; alpha E-Catenin	D13866; D14705; L23805; L22080
	Integrin-alpha-9 (ITGA9); Integrin-alpha-RLC	D25303; L24158
	interzellularer Adhäsons-Molekül-1-Präkursor	
	(ICAM1); Hauptgruppen-Rhinovirus-Rezeptor; CD54-	
25	Antigen	J03132
	Ras-verwandtes Protein RAB5A	M28215
	E-Selektin-Präkursor (SELE); Endothelial-Leukozyten-	
	Adhäsons- Molekül 1 (ELAM1); Leukozyt-Endothelial-	
	Zelladhäsion-Molekül 2 (LECAM2); CD62E Antigen	M30640
30	NADH-Ubichinon-Dehydrogenase-1-beta-Subkomplex-	
	7 18kDa-Untereinheit (NDUFB7); Komplex-I-B18	
	(CI-B18); Zelladhäsions-Protein SQM1	M33374
	Neural-Cadherin-Präkursor (N-Cadherin; NCAD);	
	Cadherin 2 (CDH2)	M34064; X57548; X54315; S42303
35	Zelloberflächen-Adhäsonsglycoprotein LFA-1/CR3/	
	p150,95 beta-Untereinheit-Präkursor; LYAM1;	
	Integrin-beta-2 (ITGB2); CD18-Antigen;	
	Komplement-Rezeptor-C3-beta-Untereinheit	M15395

	Fibronektin-Rezeptor alpha-Untereinheit (FNRA); Integrin-alpha 5 (ITGA5); VLA5; CD49E Antigen	X06256
	Fibronektin-Rezeptor beta-Untereinheit (FNRB); Integrin-beta-1 (ITGB1); "Very-Late"	
5	Antigen-4-beta-Untereinheit (VLA4); CD29 Antigen	X07979
	Integrin-alpha-L (ITGAL); Leukozytahäsions-Glycoprotein-alpha-Untereinheit-Präkursor;	
	Leukozyt-funktionsassoziierte Molekül-1-alpha-Kette (LFA1); CD11A Antigen	Y00796
10	Cadherin-6-Präkursor (CDH6); Nieren-Cadherin (K-Cadherin)	D31784
	Cadherin-11-Präkursor (CDH11); Osteoblast-Cadherin (OB-Cadherin); OSF4	L34056
	Cadherin 12 (CDH12); Gehirn-Cadherin Präkursor (Br-Cadherin); neurales Cadherin 2 (N-Cadherin 2)	L34057; L33477
15	Cadherin 13 (CDH13); abgestumpfter Cadherin-Präkursor (T-Cadherin); Herz-Cadherin (H-Cadherin)	L34058; U59289; U59288
	Cadherin 3 (CDH3); Plazenta-Cadherin-Präkursor (P-Cadherin; CDHP)	X63629
20	"Gap-Junction"-alpha-5-PROTEIN (Connexin 40) (CX40)	L34954
	Involucrin	M13903
	Fibrinogen-G-gamma-Polypeptid	X51473; X02415 K02569
25	Plasma-Zellen-Membranglycoprotein PC-1; alkalische Phosphodiesterase I; Nukleotid-Pyrophosphatase (NPPase)	M57736
	Annexin V; Lipocortin V; Endonexin II; Calphobindin I (CBP-I) ; Plazenta-Antikoagulanzprotein I	
30	(PAP-I); PP4; Thromboplastin-Inhibitor; vaskulär Antikoagulanz-alpha (VAC-alpha; anchorin CII Aminin-alpha-1-Untereinheit-Präkursor (LAMA1); Laminin-A-Kette	X12454
	intestinales Fettsäure-bindendes Protein 2 (FABP2; IFABP)+	X58531
35	Leber-Fettsäure-bindendes Protein 1 (FABP1; LFABP)	M10050 + M10617
	Natrium-unabhängiger Transporter für organisches Anion; organisches Anion transportierendes Polypeptid (OATP); SLC21A3	U21943

	polyspezifischer Transporter für N1 (OCTN1)	AB007448
	TNF-alpha-stimuliertes ABC-Protein (TSAP)	AF027302
	Transporter-artiges Protein 2 für organisches Kation (ORCTL2)	AF037064
5	Transporter für organisches Kation N2 (OCTN2)	AF057164
	MRP/Transporter für organisches Kation (MOAT-B)	AF071202
	Adrenoleukodystrophie-verwandtes Protein (ALDR)	AJ000327
	Skelettmuskel-Adenin-Nukleotid-Translokator 1 (ANT1); Herz/Skelettmuskel ADP/ATP Träger-Protein Isoform T1;	
10	ADP/ATP-Translokase 1	J02966
	"down-reguliertes" Protein in Adenoma (DRA)	L02785
	mitochondriales Entkopplungs-Protein-3 (UCP3)	AF011449
	mitochondrialer Carnitin-Palmitoyltransferase -II-Präkursor (CPTase; CPT2)	M58581
15	mitochondriales "braunes Fettgewebe"-Entkopplungs-Protein 1 (UCP1)	U28480
	Prostaglandin-Transporter (PGT); gelöstes Träger-Familie-21-Mitglied 2 (SLC21A2)	U70867
	mitochondriales Entkopplungs-Protein 2 (UCP2);	
20	UCPH	U82819
	Gallensalz-Export-Pumpe (BSEP)	AF091582
	Anthracyclineresistenz-assoziiertes Protein (ARA)	X95715
	Nieren-Transporter für organisches Kation	X98333
	Mehrfachresistenz-assoziiertes Protein 3 (MRP3); MLP2;	
25	ABCC3	Y17151
	Antigen-Peptid-Transporter 2 (APT2); Peptid-Zuführ-Faktor 2 (PSF2); in Antigen-Processing-2 involvierter Peptid-Transporter (TAP2); ATP-bindendes Kassetten-Unterfamilie-B-(MBR/TAP)-Mitglied 3 (ABCC3);	
30	HLA-Klasse-II-Histokompatibilitäts-Antigen DO-beta-Ketten-Präkursor	X66401; L09191; L10287
	putativer renaler Transporter-1 für organisches Anion (hROAT1)	AF057039
35	Chlorid-Leitfähigkeits-Regulierungs-Protein ICLN; Nukleotid-sensitiver Chlorid-Kanal 1A; Chloride-Ion-Strom-Induktor-Protein (CLCI); Retikulozyt PICLN	X91788
	Transporter A für neutrale Aminosäure (SATT); Alanin/Serin/Cystein/Threonin-Transporter (ASCT1)	L14595

	Monocarboxylat-Transporter-1 (MCT1)	L31801
	Ileal Natrium-abhängiger Gallensalz-Transporter (ISBT); Ileal Natrium/Taurocholat-cotransportierendes Polypeptid (NTCP2); SLC10A2	U10417
5	Natrium-abhängiger Gallensalz-Cotransporter; hepatisches Natrium/Taurocholat-cotransportierendes Polypeptid (NTCP); SLC10A1	L21893
	Natrium- & Chlorid-abhängiger Glycin-Transporter-1 (GLYT-1)	S70609
10	Mukoviszidose-Transmembran-Leitfähigkeits-Regulator (CFTR); cAMP-abhängiger Chlorid-Kanal kanalförmiger multispezifischer Transporter für organisches Anion; Mehrfachresistenz-assoziiertes Protein 2 (MRP2); kanalförmiges Mehrfachresistenz-	M28668
15	assoziiertes Protein	U63970
	Transporter für organisches Kation 1	U77086
	"Gap Junction"-beta-1 Protein (Connexin 32) (CX32) (Leber-"Gap Junction"-Protein)	X04325
	Cadherin 1 (CDH1); epithelialer Cadherin-Präkursor	
20	(E-Cadherin; CDHE); Uvomorulin (UVO); CAM 120/80 geglättet; GX	Z13009 U84401
	Ephrin Typ-A Rezeptor-2-Präkursor; epithelische Zell-Kinase (ECK); Tyrosin-Protein-Kinase-Rezeptor ECK	M59371 M36395
25	NADPH-Cytochrom-p450-Reduktase	S90469
	NCK Melanom-zytoplasmisches-src-Homolog (HSNCK)	X17576
	JV18-1. HMAD-2 oder MADR2 oder SMAD2	U68018
	Dual-Spezifitäts-Mitogen-aktivierte Protein-Kinase Kinase-1 (MAP Kinase Kinase 1; MAPKK 1; MKK1);	
30	extrazelluläre Signal-regulierte Kinase 1; ERK Aktivator-Kinase 1	
	"c-jun"-N-terminale Kinase 1 (JNK1); JNK46	L05624 L26318
	Mitogen-aktivierte Protein-Kinase p38 (MAP Kinase p38);	
	Cytokin-unterdrückendes "anti-inflammatory"-Wirkstoff-	
35	bindendes Protein (CSAID-bindendes Protein; CSBP); "MAX"-wechselwirkendes Protein 2 (MXI2)	
	Protein-Kinase C beta I (PKC-beta-1)	L35253; L35263 M27545; X06318
	Mitogen-aktivierte Protein-Kinase 9 (MAP Kinase 9; MAPK9; PRKM9); "c-jun"-N-terminale Kinase 2 (JNK2);	

	JNK55	L31951
	"C-jun"-N-terminale Kinase 3 alpha2 (JNK3A2); PRKM10 + MAP Kinase p493F12	U34819 + U07620
	dual-Spezifitäts-Mitogen-aktivierte Protein-Kinase	
5	Kinase 6 (MAP-Kinase Kinase 6; MAPKK 6; MKK6); MAPK/ERK-Kinase 6; SAPKK3	U39657
	p21-aktivierte Kinase-gamma (PAK-gamma; PAK2); PAK65; S6/H4 Kinase	U24153
	Mitogen-aktivierte Protein-Kinase P38 beta (MAP Kinase P38 beta); Stress-aktivierte Protein-Kinase	
10	2 (SAPK2)	U53442
	MAPK/ERK-Kinase Kinase 3 (MEK Kinase 3; MEKK3)	U78876
	dual-Spezifitäts-Mitogen-aktivierte Protein-Kinase	
	Kinase 2 (MAP Kinase Kinase 2; MAPKK 2);	
15	ERK-Aktivator-Kinase 2; MAPK/ERK Kinase 2 (MEK2)	L11285
	dual-Spezifitäts-Mitogen-aktivierte Protein-Kinase	
	Kinase 5 (MAP Kinase Kinase 5; MAPKK 5)	U25265
	ribosomale Protein-S6-Kinase II alpha 1 (S6KII- alpha 1); ribosomale S6 Kinase 1 (RSK1)	L07597
20	B-Lymphozyt-Keimzentrums-Kinase (GC Kinase) YSK1; Ste20 & SPS1-verwandte Kinase	U07349
	Protein-Phosphatase 2B Regulierungs-Untereinheit;	D63780
	Calcineurin-B-Untereinheit Isoform 1	M30773
	Protein-Tyrosin-Phosphatase MEG2 (PTPASE-MEG2)	M83738
25	Protein-Tyrosin-Phosphatase-alpha-Präkursor (R-PTP- alpha; PTPRA; PTPA)	M34668
	mit Diabetes assoziiertes RAS (RAD1)	L24564
	CDC42-Homolog; G25K GTP-bindendes Protein (Gehirn-Isoform + Plazenta-Isoform)	M35543 + M57298
30	Calmezin	D86322
	Calbindin; Avian-Typ Vitamin-D-abhängiges Calcium- bindendes Protein (CABP); D-28K	X06661
	Stratifin (SFN); 14-3-3 Protein Sigma; epithelisches Zellmarker-Protein 1; HME1	AF029082
35	FKBP-Rapamycin-assoziertes Protein (FRAP); Rapamycin-Target-Protein	L34075
	Zink-Finger-Protein 37 (ZFP37); KRAB-Region-Zink- Finger-Protein	AF022158
	CCAAT/Enhancer-bindendes Protein Epsilon (C/EBP	

	Epsilon; CEBPE)	U48866; U48865
	Transkriptions-initiierender Faktor IID; TATA-Box-Faktor; TATA-Sequenz-bindendes Protein (TBP)	M34960
5	60S ribosomales Protein L6 (RPL6); TAX-responsives Enhancer-Element bindendes Protein 107 (TAXREB107); Neoplasma-verwandtes Protein C140	X69391
	DNA-bindendes Protein HIP116; ATPase; SNF2/SWI2-verwandtes Protein	L34673
10	"Basic" Transkriptionsfaktor-2-44-kDa-Untereinheit (BTF2p44)	Z30094
	Oktamer-bindender Transkriptionsfaktor 2 (oct-2; OTF2); Lymphoid-begrenzt Immunoglobulin-Oktamer-bindendes Protein NF-A2; POU2F2	M36542
	Zink-Finger-Protein 40 (ZNF40); menschliches Immunodefizienz-Virus-Typ-I-Enhancer-bindendes Protein 1 (HIV-EP1); Haupt-Histokompatibilitäts-Komplex bindendes Protein 1 (MBP-1); positive Regulator-Region-II-bindender Faktor 1 (PRDII-BF1)	X51435
15	Nervensystem-spezifischer Oktamer-bindender Transkriptionsfaktor N-oct3; N-oct5A & N-oct5B; Gehirn-spezifisches Homöobox/POU-Region-Protein 2 (POU3F2); brn2; oct7	Z11933
20	Hypoxie-induzierbarer Faktor 1 alpha (HIF1 alpha); ARNT-wechselwirkendes Protein; Mitglied von PAS-Protein 1 (MOP1)	U22431
	CCAAT/Enhancer-bindendes Protein alpha (C/EBP alpha)	U34070
25	Homeöobox-Protein MOX-2 (Wachstums-Arrest-spezifische Homöobox)	X82629
	endothelialer Transkriptionsfaktor GATA2	M68891
30	DNA-bindender Protein-Inhibitor Id-2 aktivierender Transkriptionsfaktor 4 (ATF4); Tax-responsives Enhancer-Element B67 (TAXREB67); cAMP-Response-Element-bindendes Protein 2 (CREB2)	M97796
	Hitzeschockfaktor-Protein 1 (HSF1); Hitzeschock-Transkriptionfaktor 1 (HSTF1); TCF5	D90209
35	FK506-bindender Protein-13-Präkursor (FKBP13); FKBP2; Peptidyl-Prolyl-cis-trans-Isomerase (PPIase)	M64673
		M65128

	cAMP-Response-Element-bindendes Protein (CRE-BP1); Transkriptionsfaktor ATF2; HB16	M31630
	cAMP-Response-Element-bindendes Protein (CREB)	M34356
	Anfangswachstums-Response-Protein 1 (EGR1);	
5	Transkriptionsfaktor ETR103; KROX24; Zink-Finger-Protein 225 (ZNF225); AT225	X52541; M62829
	Tristetraprolin (TTP); TIS11; ZFP36; Wachstumsfaktor-induzierbares Kern-Protein 475 (NUP475)	M92843
	Purin-reiches einzelsträngige-DNA-bindendes Protein	
10	alpha (PURA)	M96684
	Transkriptionsfaktor-relB; I-rel	M83221
	zyklisches-AMP-abhängiger Transkriptionsfaktor ATF-3 (aktivierender Faktor FACTOR 3)	L19871
	Oktamer-bindender Transkriptionsfaktor 1 (oct-1;	
15	OTF1); Oktamer-bindendes Protein NF-A1; POU2F1	X13403
	B-Zellen-Lymphoma-3-kodierendes Protein (bcl-3)	M31732
	Retinsäure-Rezeptor gamma 1 (RAR-gamma 1; RARG)	M24857; M38258;
		M57707; M32074
	PRB-bindendes Protein E2F1; Retinoblastom-bindendes	
20	Protein 3 (RBBP3); Retinoblastom-assoziiertes Protein 1 (RBAP1); PBR3	M96577
	Retinsäure-Rezeptor alpha; Retinoid-X-Rezeptor alpha (RXRA)	X52773
	Haupt-Histokompatibilitäts-Komplex-Enhancer-	
25	bindendes Protein MAD3	M69043
	fusionierend-bindendes Protein 2 (FBP2)	U69126
	Methyl-CpG-bindendes Protein 2 (MECP2)	L37298
	AP4 "basic" Helix-Loop-Helix DNA-bindendes Protein	S73885
	Hepatozyt-Kern-Faktor 4 (HNF4); Transkriptions-	
30	faktor 14	X76930
	Metall-Regulator-Transkriptionsfaktor	X78710
	Cockayne-Syndrom Gruppe A; WD-Repeat-Protein (CSA-Protein)	U28413
	RNase-L-Inhibitor	X76388
35	40S ribosomales Protein S5	U14970
	Glutamat-Pyruvat-Transaminase 1 (GPT1); Alanin-Aminotransferase 1 (AAT1)	D10355
	Peptidylprolyl-cis-trans-Isomerase A (PPIase; PPIA); Rotamase; Ciclophilin A (CYPA); Cyclosporin-	

	A-bindendes Protein	Y00052
	wahrscheinlicher Protein-Disulfid-Isomerase-ER-60-Präkursor (ERP60); 58-kDa mikrosomales Protein;	
	Phospholipase C alpha	D16234; Z49835; D83485; U42068
5	HSC70-wechselwirkendes Protein; Progesteron-Rezeptor-assoziiertes-P48-Protein	U28918
	Chaperonin-enthaltende T-Komplex-Polypeptid-1-beta-Untereinheit (CCT-beta; CCTB; CCT2; TCP1-beta);	
10	99D8.1	AF026293
	Peroxisom-Assembly-Faktor-2 (PAF-2); Peroxisomal-Typ ATPase 1; Peroxin-6; PEX6; PXAAA1	U56602
	zelluläres Retinsäure-bindendes Protein	S74445
	Endothelin-umwandelndes Enzym 1	Z35307
15	Matrix-Metalloproteinase-14-Präkursor (MMP14); MMP-X1; Membran-Typ Matrix-Metalloproteinase 1 (MT-MMP1)	D26512; X83535
	Bleomycin-Hydrolase (BLM Hydrolase)	X92106
	Proteasom-Aktivator-HPA28-Untereinheit beta	D45248
20	Plazenta-Plasminogen-Aktivator-Inhibitor 2 (PAI-2; PLANH2); Monozyt ARG-Serpin; Urokinase-Inhibitor alpha-2-Makroglobulin-Präkursor (alpha-2-M)	M18082; J02685
	Gewebs-Inhibitor des Metalloproteinase 1 Präkursors (TIMP1); Erythroid-potentierende Aktivität (EPA);	M11313
25	Fibroblast-Kollagenase-Inhibitor	X03124
	alpha-1-Antichymotrypsin-Präkursor (ACT)	K01500
	alpha-1-Antitrypsin-Präkursor; alpha-1-Protease-Inhibitor; alpha-1-Antiproteinase	X02920
	DNA-bindendes Protein A (DBPA); Kälteschock-Region-	
30	Protein A (CSDA)	M24069
	Decoy-Rezeptor 3 (DCR3)	AF104419
	T-Komplex-Protein 1 zeta-artige Untereinheit (CCT-zeta-artig; TCP1-zeta-artig); TSA303; Testikel-spezifisch TCP20#	D78333
35	Chromatin-Assembly-Faktor-1-p48-Untereinheit (CAF1 p48-Untereinheit); Retinoblastom-bindendes Protein 4 (RBBP4); RBAP48; msil Protein-Homolog	X74262
	High-Mobility-Group-Protein HMG2	X62534
	DNA-bindendes Protein UEV-1; UBE2V	U49278

	Aktivator-1-140-kDa-Untereinheit (A1 140-kDa-Untereinheit); Replikationsfaktor C "large"-Untereinheit; DNA-bindendes Protein PO-GA	L14922
5	Replikationsfaktor-C-36-kDa-Untereinheit (RFC36); Aktivator-1-36-kDa-Untereinheit	L07540
	Replikationsfaktor-C-38-kDa-Untereinheit (RFC38); Aktivator-1-38-kDa-Untereinheit	L07541
	Replikations-Protein-A-70-kDa-Untereinheit (RPA70; REPA1; RF-A); einzelsträngige-DNA-bindendes	
10	Protein	M63488
	Aktivator-1-40-kDa-Untereinheit (A1-40-kDa-Untereinheit); Replikationsfaktor-C-40kDa-Untereinheit (RFC40); RFC2	M87338
15	Aktivator-1-37kDa-Untereinheit; Replikationsfaktor-C-37kDa-Untereinheit (RFC37); RFC4	M87339
	DNA-Topoisomerase I (TOP1)	J03250
	DNA-Topoisomerase II alpha (TOP2A)	J04088
	proliferierendes zyklisches Kern-Antigen (PCNA); Zyklin	M15796; J04718
20	DNA-Topoisomerase II beta (TOP2B)	X68060
	Replikations-Protein-A-14kDa-Untereinheit (RP-A) (RF-A); Replikationsfaktor-A-Protein 3	L07493
	DNA-Nukleotidylexotransferase; terminales Additionions-Enzym; terminale Deoxynucleotidyl-transferase (TDT); terminale Transferase; DNNT	M11722; K01919
25	DNA-Polymerase delta katalytische Untereinheit	M80397
	DNA-Topoisomerase III (TOP3)	U43431
	"excision repair cross-complementing rodent repair deficiency complementation group 6" (ERCC6); Cockayne-Syndrom-Protein 2 Typ B (CSB)	
30	Xeroderma-Pigmentosum Gruppe G komplementierendes Protein (XPG); "X-ray repair-complementing defective repair in Chinese hamster cells 5" (XRCC5)	L20046; X69978
	Ku-(p70/p80)-Untereinheit; ATP-abhängige DNA-Helicase-II-86kDa-Untereinheit; Lupus-ku-Autoantigen-Protein; Thyroid-Lupus-Autoantigen (TLAA); CTC-Box-bindende Faktor-85kDa-Untereinheit (CTCBF; CTC85); Kern-Faktor IV	
35	Xeroderma-Pigmentosum-Gruppe B komplementierendes	M30938

Protein (XPB); "excision repair cross-complementing rodent repair deficiency complementation group 3" (ERCC3); basilare Transkriptionsfaktor-2-89kDa-Untereinheit (BTF2-p89; TFIIH-89kDa-Untereinheit) M31899

5 Ku-70kDa-Untereinheit; ATP-abhängige DNA-Helicase-II-70kDa-Untereinheit; Lupus-ku-Autoantigen-Protein P70; Thyroid-Lupus-Auto-Antigen (TLAA); CTC-Box-bindende Faktor-75kDa-Untereinheit (CTC75) M32865; S38729

"X-ray repair-complementing defective repair in 10 Chinese hamster cells 1" (XRCC1) M36089

Ubiquitin-konjugierendes Enzym E2 17-kDa UBE2A); Ubiquitin-Protein-Ligase; Ubiquitin-Träger-Protein; 15 HR6A M74524

DNA-Polymerase alpha katalytische Untereinheit (POLA) X06745

6-O-Methylguanine-DNA-Methyltransferase (MGMT); methylierte-DNA-Protein-Cystein-Methyltransferase M29971

Xeroderma-Pigmentosum Gruppe D komplementierendes Protein (XPD); "X-ray repair-complementing defective 20 repair in Chinese hamster cells 2" (XRCC2) X52221

"excision repair cross-complementing rodent repair deficiency complementation group 1" (ERCC1) M13194

mutL-Protein-Homolog1 (MLH1); Kolon-Krebs-Nonpolyposis-Typ-2-Protein (COCA2) U07418

25 UV-Exzisionsreparatur-Protein RAD23-Homolog B (HHR23B); Xeroderma-Pigmentosum Gruppe C Reparatur-komplementierender Komplex 58-kDa ProteinD21090 HHR23A; UV-Exzisionsreparatur-Protein Protein RAD23A D21235

30 DNA-abhängige Protein-Kinase (DNA-PK) + DNA-PK katalytische Untereinheit (DNA-PKCS) U35835 + U47077

DNA Schadens-Reparatur- & Rekombinations-Protein 52 (RAD52) U12134

Ataxia Telangiectasia (ATM) U33841

35 RAD50 U63139

DNA-Ligase IV (LIG4); Polydeoxyribonukleotid-Synthase X83441

DNA-Ligase III (LIG3); Polydeoxyribonukleotid-Synthase X84740

	DNA- "Mismatch"-Repair-Protein MSH2	U04045; L47583
	DNA- "Mismatch"-Repair-Protein MSH6; mutS-alpha-160kDa-Untereinheit; G/T "Mismatch"-bindendes Protein (GTMBP; GTBP)	U54777
5	RecQ Protein-artig (DNA-Helicase Q1-artig)	D37984
	DNA Polymerase-beta-Untereinheit (DPOB)	D29013
	DNA- "Mismatch"-Reparatur-Protein PMS1 (PMS1 - Protein-Homolog 1)	U13695
	DNA- "Mismatch"-Reparatur-Protein PMS2 (PMS1- Protein-Homolog 2)	U13696
10	ATP-abhängige DNA-Ligase I (LIG1); Polydeoxyribonukleotid-Synthase	M36067
	Xeroderma-Pigmentosum-Gruppe-A-komplementierendes Protein (XPA)	D14533
15	Schädigungs-spezifische DNA-bindende Protein-p48-Untereinheit (DDBB P48); in Zusammenhang mit Xeroderma Pigmentosum Gruppe E (DDB2)	U18300
	DNA-Reparatur-Protein XRCC4	U40622
	G/T- "Mismatch"-spezifische Thymin-DNA-Glycosylase (TDG)	U51166
20	DNA-Reparatur-Protein XRCC9	U70310
	Endonuklease-III-Homolog 1; HNTH1; OCTS3	U79718
	DNA-Reparatur-Protein komplementierende XP-C-Zellen; Xeroderma Pigmentosum Gruppe C komplementierendes Protein (p125)	D21089
25	Uracil-DNA-Glycosylase-Präkursor (UNG1)	X15653
	DNA-(apurinische oder apyrimidinische Stelle) Lyase; AP-Endonuklease 1 (APE1); apurinische / apyrimidinische Endonuklease (APEX); APEX Nuklease (APEN); REFL	X59764; X66133
30	DNA-Reparatur-Protein-RAD54-Homolog	X97795
	recA-artiges Protein HsRad51; DNA-Reparatur-Protein RAD51-Homolog	D13804
	V(D)J Rekombinations-aktivierendes Protein 2 (RAG2)	M94633
35	V(D)J Rekombinations-aktivierendes Protein 1 (RAG1)	M29474
	Muskel-spezifischer DNase-I-artiger Präkursor (DNase1L1; DNL1L); DNase X	X90392; L40817; U06846
	Deoxyribonuklease I (DNase I)	M55983

	dual-Spezifitäts-Protein-Phosphatase 9;	
	Mitogen-aktivierte Protein-Kinase-Phosphatase 4 (MAP-Kinase-Phosphatase 4 (MKP4))	Y08302
	G1/S-spezifisches Cyclin D3 (CCND3)	M92287
5	G1/S-spezifisches Cyclin D1 (CCND1); Cyclin- Parathyreoid-Adenomatose 1 (PRAD1); bcl-1 Onkogen	X59798
	G1/S-spezifisches Cyclin D2 (CCND2) + KIAK0002	M90813 + D13639
	G2/Mitose-spezifisches Cyclin B1 (CCNB1)	M25753
	G1/S-spezifisches Cyclin E (CCNE)	M73812
10	G2/Mitose-spezifisches Cyclin G1 (CCNG1; CYCG1)	U47413
	G1/S-spezifisches Cyclin C	M74091
	Cyclin K	AF060515
	Protein-Serin/Threonin-Kinase STK1; Zellteilungs- Protein-Kinase 7 (CDK7);	
15	CDK-aktivierende Kinase (CAK); 39kDa-Protein-Kinase	L20320
	Cyclin-abhängige Protein-Kinase 2 (CDK2); p33- Protein-Kinase	M68520
	extrazelluläre Signal-gesteuerte Kinase 2 (ERK2);	
	Mitogen-aktivierte Protein-Kinase 2 (MAP Kinase 2;	
20	MAPK 2); p42-MAPK	M84489
	Mitogen-aktivierte Protein-Kinase 3 (MAPK3; PRKM3);	
	MAPK1; extrazelluläre Signal-gesteuerte Kinase 1 (ERK1); Mikrotubulus-assoziierte Protein-2- Kinase; Insulin-stimulierte MAP2 Kinase	X60188
25	extrazelluläre Signal-gesteuerte Kinase 3 (ERK3);	
	MAP-Kinase 3 (MAPK3; p97-MAPK); PRKM5	X80692
	CDC-artige Kinase 3 (CLK3)	L29220
	Zellteilungs-Protein-Kinase 4; Cyclin-abhängige Kinase 4 (CDK4); PSK-J3	M14505
30	extrazelluläre Signal-gesteuerte Kinase 5 (ERK5);	
	BMK1-Kinase	U25278
	Zellteilungs-Kontroll-Protein-2-Homolog (CDC2);	
	p34-Protein-Kinase; Cyclin-abhängige Kinase 1 (CDK1)	X05360
	extrazelluläre Signal-gesteuerte Kinase 4 (ERK4);	
35	MAP-Kinase 4 (MAPK4; p63-MAPK); PRKM4	X59727
	Zellteilungs-Protein-Kinase 5 (CDK5); tau-Protein- Kinase II katalytische Untereinheit (TPKII katalytische Untereinheit); Serin/Threonin-Protein-Kinase	
	PSSALRE	X66364

	extrazellulär Signal-gesteuerte Kinase 6 (ERK6); Stress-aktivierte Protein Kinase-3; Mitogen- aktivierte Protein-Kinase p38 gamma; (MAP-Kinase p38 gamma)	X79483
5	Serin/Threonin-Protein-Kinase PLK1 (STPK13) "Checkpoint"-Kinase 1 (CHK1)	U01038 AF016582
	Aurora- & IPL1-artige "Midbody"-assoziierte Protein- Kinase 1 (AIM1); ARK2	AF008552
	Cyclin-G-assoziierte Kinase (GAK)	D88435
10	besonders AT-reiche Sequenz bindendes Protein 1 (SATB1); MAR/SAR-DNA-bindendes Protein	M97287
	Cyclin-abhängiger Kinase-Inhibitor 1A (CDKN1A); Melanom-Differenzierungs-assoziiertes Protein 6 (MDA6); CDK-wechselwirkendes Protein 1 (CIP1); WAF1; SDI1	U09579; L25610
15	wee1Hu-CDK-Tyrosin-15-Kinase; wee-1-artige Protein- Kinase	U10564
	Cyclin-abhängiger Kinase-4-Inhibitor 2B (CDKN2B); p14-INK4B; Polytumor-Suppressor 2 (MTS2)	U17075; L36844
	Helix-Loop-Helix-Protein HLH 1R21; DNA-bindender	
20	Protein-Inhibitor Id-3; HEIR-1	X69111
	DNA-bindender Protein-Inhibitor ID-1; Id-1H	D13889
	Prothymosin alpha (PROT-alpha; PTMA)	M26708
	40S ribosomales Protein S19 (RPS19)	M81757
	p55CDC	U05340
25	Zellteilungszyklus-Protein 25A (CDC25A); M-Phasen- Induktor-Phosphatase 1	M81933
	CDC25B; CDC25HU2; M-Phasen-Induktor-Phosphatase 2	M81934; S78187
	CDC25C; M-Phasen-Induktor-Phosphatase 3	M34065
	Wachstumsinhibitor-Faktor (GIF); Metallothionein-III (MT-III; MT3)	D13365; M93311
30	CDC37 Homolog	U63131
	Zellzyklus-Protein-P38-2G4-Homolog; HG4-1	U59435
	btg-Protein-Präkursor; NGF-induzierbares anti- proliferatives Protein PC3	U72649
35	RCL Wachstums-verwandtes c-myc-Responsiv-Gen	AF040105
	40kDa-Hitzeschock-Protein 1 (HSP40); DNAJ-Protein- Homolog 1 (HDJ1; DNAJ1)	D49547
	60kDa-Hitzeschock-Protein (HSP60); HSPD1; 60kDa- Chaperonin; mitochondrialer Matrix-Protein-P1-	

	Präkursor; p60 Lymphozyt-Protein; HUCHA60; GROEL 90kDa-Hitzeschock-Protein A (HSP90A); HSP86; HSPCA 27kDa-Hitzeschock-Protein (HSP27); Stress-responsives Protein 27 (SRP27); Estrogen-gesteuertes 24kDa-	M34664 X07270 X07270 X07270
5	Protein; HSPB1 70kDa-Hitzeschock-Protein 1 (HSP70.1; HSPA1) Hitzeschock-70kDa-Protein 6 (Hitzeschock-70kDa- Protein B)	X54079 M11717 X51757; M11236
10	Hitzeschock-Cognat-71kDa-Protein; Hitzeschock-70kDa- Protein 8 (HSPA8; HSC70); HSP73 Hitzeschock-verwandtes 70kDa-Protein 2	Y00371 L26336
15	Haupt-Gewölbe-Protein (MVP); Lungen Resistenz- verwandtes Protein (LRP) Thiosulfat-Sulfurtransferase; Rhodanese lösliche Epoxid-Hydrolase (SEH); Epoxid-Hydratase; zytosolische Epoxid-Hydrolase (CEH); EPHX2 Serum-Paraoxonase/Arylesterase 1 (PON1); Serum- Aryldiakylphosphatase 1; aromatische Esterase 1 (A-Esterase 1)	X79882 D87292 M63012
20	polymorphe Arylamin-N-Acetyltransferase (PNAT) + monomorphe (MNAT) Chinon-Oxidoreduktase; NADPH:Chinon-Reduktase; Zeta-Crystallin (CRYZ) zytosolische Superoxid-Dismutase 1 (SOD1)	X14672; X17059 L13278; S58039 K00065; X02317
25	Cytochrom P450 IB1 (CYP1B1) Cytochrom P450 IIA6 (CYP2A6) + CYP2A7 + CYP2A13 + CYP2A7PT + CYP2A7PC	U03688 M33318; M33316 + U22029 + U22030 + U22044
30	Cytochrom P450 IIB6 (CYP2B6) + CYP2B3 Cytochrom P450 IIIA3 (CYP3A3) + CYP3A4 + CYP3A5 + CYP3A7 M13785 + M18907 + J04813 + D00408 Cytochrom P450 IVA11 (CYP4A11)	M29874; J02864 L04751
35	Cytochrom P450 VIIA1 (CYP7A1) D-Aminosäure-Oxidase (DAMOX; DAO; DAAO) S-Mephentyoin-4-Hydroxylase; Cytochrom P450 IIC9 (CYP2C9) + CYP2C10 + CYP2C17 + CYP2C18 +	X56088 X13227

	CYP2C19	M21940 + M15331; M21939 + M61858 + M61854
5	Cytochrom P450 IIE1 (CYP2E1)	J02625
	Cytochrom P450 IIF1 (CYP2F1)	J02906
	Cytochrom P450 IVB1 (EC 1.14.14.1) (P450-HP)	J02871
	Cytochrom P450 IA2 (P450-P3) (P450-4)	Z00036
	Plasma-Glutathion-Peroxidase-Präkursor (GPXP; GPX3)	D00632; X58295
	natürliche Killerzellen verstärkender Faktor (NKEFB)	
10	+ Thiol-spezifisches Antioxidans-Protein (TSA); Thioredoxin-Peroxidase 1 (TDPX1); Thioredoxin-	
	abhängige Peroxid-Reduktase 1	L19185 + Z222548; X82321
	Thioredoxin-Peroxidase 2 (TDPX2); Thioredoxin-	
15	abhängige Peroxid-Reduktase 2; Proliferation- assoziiertes Gen (PAG); natürliche Killerzellen verstärkender Faktor A (NKEFA)	X67951
	Glutathion-Reduktase (GRase; GSR; GR)	X15722
	microsomale Glutathion-S-Transferase 12	
20	(GST12; MGST1)	J03746; B28083
	Glutathion-S-Transferase pi (GSTP1; GST3)	X08058; M24485
	Glutathion-Peroxidase (GSHPX1; GPX1)	Y00483; M21304
	Glutathion-S-Transferase theta 1 (GSTT1)	X79389
	Methallothionein IH (MT1H); Metallothionein0	
25	(MT0) + MT1I; MT2 + MT1L + MT1R	X64177 + X97260 + X76717 + X97261
	Glutathion-Peroxidase-Gastrointestinal (GSHPX-GI);	
	Glutathion-Peroxidase-verwandtes Protein 2 (GPRP)	X53463
30	Häm-Oxygenase 1 (HO1); HSOXYGR	X06985
	Häm-Oxygenase 2 (HO2)	D21243; S34389
	Dimethylanilin-Monooxygenase (N-Oxide bildend) 1	
	(EC 1.14.13.8); fetal hepatische Flavin-	
	enthaltende Monooxygenase 1 (FMO 1); Dimethylanilin-	
35	Oxidase 1	M64082
	Glutathion-S-Transferase mu1 (GSTM1; GST1); HB-	
	Untereinheit 4; GTH4	X68676; S01719
	Glutathion-S-Transferase A1 (GTH1; GSTA1); HA-	
	Untereinheit 1; GST-epsilon	M25627

	Glutathion-S-Transferase (GST)-Homolog	U90313
	Glutathion-Synthetase (GSH-Synthetase; GSH-S);	
	Glutathion-Synthase	U34683
	NAD(P)H-Dehydrogenase; Chinon-Reduktase; DT-	
5	Diaphorase; Azoreductase; Phyllochinon-Reduktase;	
	Menadion-Reduktase	J03934
	Wachstumsstillstand- & DNA-Schädigung-induzierbares	
	Protein (GADD45); DNA-Schädigung-induzierbares	
	Transkript 1 (DDIT1)	M60974
10	Tumor-Nekrose-Faktor-alpha-Präcursor (TNF-alpha; TNFA); Cachectin	X01394
	Lymphotoxin-alpha-Präcursor (LT-alpha); Tumor-	
	Nekrose-Faktor-beta (TNF-beta; TNFB)	D12614
	fas-Antigen-Ligand (FASL); Apoptosis-Antigen-Ligand	
15	(APTL; APT1LG1); TNFSF6	D38122; U08137
	Tumor-Nekrose-Faktor-Rezeptor (TNFR) + Tumor-	
	Nekrose-Faktor Rezeptor 2 (TNFR2); Tumor-Nekrose-	
	Faktor-bindendes Protein 2 (TBP2)	M32315 + M55994
	Tumor-Nekrose-Faktor-Rezeptor 1 (TNFR1); Tumor-	
20	Nekrose-Faktor-bindendes Protein 1 (TBP1); CD120A-	
	Antigen	M33294
	fasL-Rezeptor; Apoptosis-unterstützendes Oberflächen-	
	Antigen fas; APO-1-Antigen; CD95-Antigen	M67454
	Retinsäure-Rezeptor beta (RXR-beta; RXRB)	M84820; X63522;
25		S54072
	Tumor-Nekrose-Faktor-Rezeptor-1-assoziiertes "Death"-	
	Domain-Protein (TNFR1-assoziiertes "Death"-Domain-	
	Protein; TRADD)	L41690
	CD27BP (Siva)	U82938
30	Tumor-Nekrose-Faktor Typ-1-Rezeptor-assoziiertes	
	Protein (TRAP1)	U12595
	Caspase-2-Präcursor (CASP2); ICH-1L-Protease +	
	ICH-1S-Protease	U13021 + U13022
	Interleukin-1-beta-Convertase-Präcursor (IL-1BC);	
35	IL-1-beta-umwandelndes-Enzym (ICE); p45; Caspase-1	
	(CASP1)	U13699; M87507; X65019
	Caspase-6-Präcursor (CASP6); Cysteine-Protease MCH2-	
	Isoformen alpha + beta	U20536 + U20537

	Caspase-4-Präkursor (CASP4); ICH-2-Protease; TX-Protease; ICE (REL)-II + Caspase-5-Präkursor (CASP5); ICH-3-Protease; TY-Protease; ICE (REL)-III	U28014 + U28015
5	Caspase-7-Präkursor (CASP7); ICE-artige apoptotische Protease 3 (ICE-LAP3); apoptotische Protease MCH-3; CMH-1	U37448
	TNF-verwandter Apoptosis-induzierender Ligand (TRAIL); APO-2-Ligand (APO2L)	U57059
10	Caspase-8-Präkursor (CASP8); ICE-artige apoptotische Protease 5 (ICE-LAP5); MORT1-assoziiertes CED-3-Homolog (MACH); FADD-Homolog ICE/CED-3-artige Protease (FADD-artige ICE; FLICE); apoptotische Cysteine-Protease MCH-5	U60520; U58143; X98172; AF00962
15	Apoptosis-Regulator bax	L22474
	Apoptosis-Regulator bcl-x	Z23115; L20121; L20122
	Apoptosis-Regulator bcl-2	M14745
	NIP3 (NIP3)	U15174
20	bcl2 homologer Antagonist/Killer (BAK)	U23765; U16811; X84213
	induziertes myeloid Leukämiezellen-Differentiations-Protein MCL-1	L08246
	BAD-Protein; bcl-2-bindende Komponente 6 (BBC6);	
25	bcl-2L8	U66879
	BCL-2-bindendes Athanogen-1 (BAG-1);	
	Glucocorticoid-Rezeptor-assoziiertes Protein RAP46	S83171; Z35491
	Interferon-induzierbare RNA-abhängige Protein-Kinase (P68 Kinase)	M35663; U50648
30	induzierbare Stickstoffmonoxid-Synthase (INOS); Typ II NOS; Hepatozyt NOS (HEP-NOS)	L09210
	Verteidiger gegen Zelltod 1 (DAD1)	D15057
	Clusterin-Präkursor (CLU); Komplement-assoziiertes Protein SP-40; Komplement-Lysis-Inhibitor (CLI);	
35	Apolipoprotein J (APOJ); Testosterone-reprimiertes Prostata-"Message" 2 (TRPM2); sulfatiertes Glycoprotein 2 (SGP2)	M74816
	Wachstummsstilstand- & DNA-Schädigung-induzierbares	

	Protein 153 (GADD153); DNA-Schädigungs-induzierbares Transkript 3 (DDIT3); C/EBP homologes Protein (CHOP)	S40706; S62138
5	Inhibitor des Apoptosis-Protein 1 (HIAP1; API1) + IAP-Homolog C; TNFR2-TRAF Signalstoff-Komplex-Protein 1; MIHC	U45878 + U37546
	Zytoplasmatische Dynein "light chain" 1 (H DLC1); Protein-Iinihibitor neuronaler Stickstoffmonoxid- Synthase (PIN)	U32944
10	Apoptosis-Inhibitor "survivin"	U75285
	Sentrin; Ubiquitin-artiges Protein SMT3C; Ubiquitin- Homologie-Region-Protein PIC1; UBL1; SUMO-1; GAP modifizierendes Protein 1; GMP1	U83117
	IEX-1L Anti-"Death"-Protein; PRG-1; DIF-2	AF039067;
15		AF071596
	Poly(ADP-Ribose) Polymerase (PARP; PPOL); ADPRT; NAD+ ADP-Ribosyltransferase; Poly(ADP-Ribose) Synthetase	M18112; J03473
	Avian Myelocytomatose virales Onkogene-Homolog (MYC)	V00568
20	p53-assoziiertes mdm2-Protein aus Blutplättchen gewonnener Wachstumsfaktor B Untereinheit-Präcursor (PDGFB; PDGF2); Bacaplermin; c-sis	Z12020; M92424 X02811; X02744; M12783; M16288
25	p53 zelluläres Tumor-Antigen MYB-verwandtes Protein B (B-MYB); Avian Myeloblastose virales Onkogen-Homolog-artige 2 (MYBL2)	M14694; M14695 X13293
	Triiodothyronin-Rezeptor; Thyroid-Hormon-Rezeptor (THRA1); v-erbA-verwandtes Protein Protein ear-1	M24898
30	"jun" Proto-Onkogen; Avian-Sarkoma-Virus-17-Onkogen- Homolog; Transkriptionsfaktor AP-1	J04111
	Insulin-artigen Wachstumsfaktor bindendes Protein 2 (IGFBP2)	M35410
	c-myc Purin-bindender Transkriptionsfaktor puf;	
35	Nukleosid-Diphosphat-Kinase B (NDP-Kinase B; NDKB) + nm23-H2S	L16785 + M36981
	Abelson-Murine-Leukämie virales Onkogen-Homolog 1 (ABL1)	M14752
	Retinoblastom-assoziiertes Protein (RB1); PP110;	

	P105-RB	M15400
	L-myc Proto-Onkogene (MYCL1)	M19720
	Brustkrebs-Typ-2-Suszeptibilitäts-Protein (BRCA2)	U43746
	fos-verwandtes Antigen (FRA1); fosL1	X16707
5	Nukleus-Phosphoprotein B23; Nukleophosmin (NPM); Numatrin	M23613
	c-myc-bindendes Protein MM-1	D89667
	c-fos-Proto-Onkogen; G0S7 Protein	K00650
	met-Proto-Onkogen; Hepatozyt-Wachstumsfaktor-Rezeptor-Präkursor (HGF-SF Rezeptor)	J02958
10	Nukleosid-Diphosphate-Kinase A (NDKA); NDP-Kinase A; Tumor-metastatisches Prozess-assoziiertes Protein; Metastase-Inhibitions-Faktor NM23 (NM23-H1)	X17620
	Matrix-Metalloproteinase 11 (MMP11); Stromelysin 3	X57766
15	Box-abhängiges myc-wechselwirkendes Protein 1	U68485
	H-ras-Proto-Onkogen; transformierendes G-Protein	V00574
	Protein-Tyrosin-Phosphatase PTEN; mutiert in verschiedenen fortgeschrittenen Krebsen 1 (MMAC1); TEP1	U92436
20	Prostaglandin-G/H-Synthase-2-Präkursor (PGH-Synthase-2; PGHS2; PTGS2); Cyclooxygenase 2 (COX2); Prostaglandin-Endoperoxid-Synthase 2	M90100
	78-kDa Glucose-regulierter Protein-Präkursor (GRP 78); Immunoglobulin-"heavy chain"-bindendes Protein (BIP)	M19645
25	Komplement 3 (C3)	K02765
	Interleukin-10-Präkursor (IL-10); Cytokin-Synthese-Hemm faktor (CSIF)	M57627
	Thioredoxin (TRDX; TXN); ATL-abgeleiteter Faktor (ADF); Oberflächen-assoziiertes Sulphydrylprotein (SASP)	J04026
30	Enolase 1 alpha (ENO1); nicht-neurale Enolase (NNE); Phosphopyruvat-Hydratase (PPH)	M14328
	Biliverdin-Reduktase-A-Präkursor (BLVRA; BVR)	U34877
	Tyrosin-Aminotransferase (TAT); I-Tyrosin:2-Oxoglutarateaminotransferase	X52520
35	Mskel-spezifische Kohlensäure-Anhydrase III (CA3); Carbonat- Dehydratase III	M29458
	Spermidine/Spermine-N1-Acetyltransferase (SSAT); Diamine-Acetyltransferase; Putrescin-Acetyl-	

	transferase	M55580
	L-Lactate-Dehydrogenase-H-Untereinheit (LDHB)	Y00711
	Phosphoglycerid-Kinase 1 (PGK1; PGKA); Primer-Erkenungs-Protein 2 (PRP2)	V00572
5	Glucose-6-Phosphat-Dehydrogenase (G6PD)	X03674
	mitochondriale Phosphoenolpyruvat-Carboxykinase-2-Präkursor (PEPCK-M; PCK2); Phosphoenolpyruvat-Carboxylase	X92720
	Galactosid 2-1-Fucosyltransferase 2;	
10	GDP-1-Fucose:beta-D-Galactosid 2-alpha-1-Fucosyl-transferase 2; Fucosyltransferase 2 (FUT2); Sekretor Blutgruppe alpha-2-Fucosyltransferase; Sekretor Faktor 2 (SE2)	D87942
	Galactosyltransferase-assoziierte Protein-Kinase	
15	p58 (GTA); Zellteilungszyklus-2-artige 1 (CDC2L1; CLK1)	M37712
	Adrenodoxin	M34788
	Alkohol-Dehydrogenase-alpha-Untereinheit + Alkohol-Dehydrogenase 2 + Alkohol-Dehydrogenase 3	M12271 + D00137 + X04299
20	Alkohol-Dehydrogenase-5-chi-Polypeptid	M30471
	Alkohol-Dehydrogenase-Klasse-II-pi-Untereinheit	M15943
	Creatin-Kinase B-Kette	L47647
	Fettsäure-	S80437
25	hepatische Triglycerid-Lipase (HTGL)	X07228
	Gallensalz-aktivierte Lipase	M85201; M37044
	mitochondriale Enoyl-CoA-Hydratase kurze Untereinheit 1	D13900
	peroxisomales bifunktionales Enzym	L07077
30	peroxisomale Acyl-CoA-Oxidase-verzweigte-Untereinheit (BRCOX)	X95190
	Acyl-CoA-Dehydrogenase-"long-chain-spezifischer Präkursor (LCAD; ACADL)	M74096
	Alkohol-Sulfotransferase	L20000
35	Estradiol-17-beta-Dehydrogenase 1	M36263
	Cytochrom P450 XVIIA1 (CYP17A1)	M14564
	peroxisomaler 3-Ketoacyl-CoA-Thiolase-Präkursor (PTHIO); peroxisomale 3-Oxoacyl-CoA-Thiolase; beta-Ketothiolase; Acetyl-CoA-Acyltransferase	

	(ACAA)	X14813
	3-Hydroxy-3-Methylglutaryl-CoEnzym-A-Reduktase (HMG-CoA Reduktase; HMGCR)	M11058
	Lipoprotein-Lipase-Präkursor (LPL)	M15856
5	Lunge Gruppe IB Phospholipase-A2-Präkursor (PLA2); Phosphatidylcholin-2-Acylhydrolase	M21054
	mitochondrialer Cytochrom-P450-XIA1-Präkursor; P450(SCC); Cholesterol-Seiten-Kette-Spaltungs- Enzym; Cholesterol-Desmolase CYP11A1	M14565
10	Dihydrofolat-Reduktase (DHFR)	V00507
	Thymidylat-Synthase (TYMS; TS)	X02308
	zytosolische Thymidin-Kinase (TK1)	K02581
	Ribonucleosid-Diphosphat-Reduktase-M1-Untereinheit;	
	Ribonukleotid-Reduktase	X59543
15	microsomale UDP-Glucuronosyltransferase-2B15-Präkursor (UDPGT); UDPGTH-3;	
	UGT2B15 + microsomal 2B10-Präkursor (UDPGT);	
	UGT2B10 + 2microsomal B8 Präkursor	U08854; X63359; U06641; J05428;
20		Y00317
	GLCLC, GLCL (Glutamat-Cystein-Ligase katalytische Untereinheit, gamma-Glutamylcystein-Synthetase)	M90656
	gamma-Glutamyl-Hydrolase-Präkursor (GGH; GH); Folyl- polygammaglutamyl-Hydrolase; gamma-glu-X Carboxy- peptidase; Conjugase	U55206
25	3'-Phosphoadenosin-5'-Phosphosulfat-Synthase 1 (PAPS-Synthase 1; PAPSS1);	
	PAPS-Synthetase 1; Sulfurylase-Kinase 1 (SK1)	Y10387
	lösliche Glutamat-Oxalacetat-Transaminase 1 (GOT1);	
30	zytoplasmatische Aspartat-Aminotransferase 1; Transaminase A	
	Alkohol-Dehydrogenase-6 + Aldehyd-Dehydrogenase 1 (ALDH1)	M37400
	peroxisomale Acyl-CoEnzym-A-Oxidase	K03000
35	"very-long-chain"-spezifischer Acyl-CoA- Dehydrogenase-Präkursor (VLCAD)	S69189
	Glutamat-Cystein-Ligase regulatorische Untereinheit (GLCLR); gamma-Glutamylcystein-Synthetase	D43682
	LOX (Protein-Lysin-6-Oxidase, Lysyl-Oxidase)	P48507
		M94054

	Ornithin-Decarboxylase	X16277
	Corticosteroid-11-beta-Dehydrogenase-Isozym 2	U14631
	Cytochrom P450 VA1 (CYP5A1)	M80647
	mitochondrialer Aldehyd-Dehydrogenase-Präkursor	
5	(Klasse 2); ALDHI; ALDH2	Y00109
	5,6-Dihydroxyindol-2-carbonsäure-Oxidase-Präkursor (DHICA-Oxidase); Tyrosinase-verwandtes Protein 1 (TRP-1); Catalase B; Glycoprotein-75 (GP75)	X51420
	Tenascin-Präkursor (TN); Hexabrachion (HXB);	
10	Cytotactin; Neuronectin; GMEM; miotendinöses Antigen; Gliom-assoziiertes extrazelluläres Matrix-Antigen	X78565; M55618
	Osteopontin-Präkursor (Knochen-Sialoprotein 1)	X13694
	ATP-bindender-Cassette-Transporter (ABCR)	U88667
	Gewebe-Inhibitor des Metalloproteinase-2-Präkursors	
15	(TIMP2)	J05593
	Matrix-Metalloproteinase 15 (MMP15)	Z48482
	Matrix-Metalloproteinase 14 (MMP14)	D26512
	Matrix-Metalloproteinase 1 (MMP1)	X54925
	Vinculin	M33308
20	Vimentin (VIM)	X56134; M14144
	Serum-Amyloid A1-Präkursor (SAA1)	M23698
	Seneszenz-Marker-Protein 30 (SMP30); Regucalcin (RGN; RC)	D31815
	Ubiquitin- "cross-reactive"-Protein-Präkursor (UCRP);	
25	alpha-induzierbares Interferon; Interferon-induziertes- 17kDa-Protein; G1P2; ISG15	M13755
	Laminin-gamma-2-Untereinheit-Präkursor (LAMC2)	Z15009
	Peroxisom-Assembly-Faktor 1 (PAF1);	
	Peroxisomales Membran-Protein 3 (PXMP3; PMP3);	
30	35kDa peroxisomales Membran-Protein (PMP35);	
	Peroxin 2 (PEX2)	M86852
	peroxisomales Membran-Protein 69 (PMP69)	AF009746
	Peroxisom-Biogenese-Störungs-Protein 1 (PEX1)	AF026086
	mitochondriale Glutamat-Oxaloacetat-Transaminase 2	
35	(GOT2); Aspartat-Aminotransferase 2; Transaminase A	M22632
	nck-, ash- & Phospholipase-C-gamma-bindendes Protein (NAP4)	AB005216
	N-Oxid-bildende Dimethylanilin-Monooxygenase 4;	
	hepatische Flavin-enthaltende Monooxygenase 4	

	(FMO4)	Z11737
	Xeroderma Pigmentosum Gruppe F komplementierendes Protein (XPF); DNA Exzisions-Reparatur-Protein ERCC4; ERCC11	L77890
5	Replikations-Protein-A-30kDa-Untereinheit; Replikations-Faktor-A-Protein 4 (RPA4; RFA) mutY-Homolog (hMYH)	U24186
	beta Crystallin A4 (CRYBA4)	U63329
	T-Komplex-Protein-1-epsilon-Untereinheit (TCP1-Epsilon); CCT-epsilon (CCTE; CCT5)	U59057
10	beta Crystallin B1 (CRYBB1)	D43950
	beta Crystallin B2 (CRYBB2); BP	U35340
	beta Crystallin B3 (CRYBB3; CRYB3)	L10035
	mitochondriales 10kDa Hitzeschock-Protein (HSP10); 10kDa-Chaperonin (CPN10); HSPE1	U71216
15	Hitzeschock-Protein beta-3 (HSPB3); Hitzeschock-17kDa-Protein; HSPL27 wahrscheinlicher Protein Disulfid-Isomerase-P5-Präcursor	U07550
		D49489
20	90kDa-Hitzeschock-Proteinbeta (HSP90); 84kDa-Hitzeschock-Protein beta (HSP84); HSPCB mikrosomaler UDP-Glucuronosyltransferase-1-6-Präcursor (UDPGT; UGT1.6; UGT1F; GNT1)	M16660
	Glutathion-S-Transferase mu 3 (GSTM3); GST5	J04093
25	Cytochrom P450 1A1 (CYP1A1); P450-P1; P450 form 6; P450-C Peroxisom Proliferator-aktivierter Rezeptor alpha (PPAR-alpha; PPRA)	J05459
	Protein-Disulfid-Isomerase-verwandter Protein-Präcursor (PDIP)	K03191
30	Leber-Carboxylesterase-Präcursor; Acyl-coEnzym A: Cholesterol-Acyltransferase (ACAT); Monozyt/Makrophage-Serin-Esterase (hMSE); CES2 Serum-Paraoxonase/Arylesterase 3 (PON3); Serum-Aryldiakylphosphatase 3; aromatische Esterase 3 (A-Esterase 3)	L02932
		L07765
35	Cytochrom P450 XXIB (CYP21B); Steroid-21-Hydroxylase; CYP21A2 Cytochrom P450 IID6 (CYP2D6); P450-DB1;	L48516
		M12792; M23280

	Debrisoquine-4-Hydroxylase	M20403
	mikrosomaler UDP-Glucuronosyltransferase-1-1-	
	Präkursor (UDPGT; UGT1.1; UGT1A; GNT1); Bilirubin-	
	spezifisches Isozym 1 (hUG-BR1)	M57899
5	mikrosomaler UDP-Glucuronosyltransferase-1-4-	
	Präkursor (UDPGT; UGT1.4; UGT1D; GNT1); Bilirubin-	
	spezifisches Isozym 2 (hUG-BR2)	M57951
	Flavin-enthaltende Amin-Oxidase B (MAOB);	
	Monoamin-Oxidase	M69177
10	eukaryotische Peptid-Ketten-Release-Faktor-	
	Untereinheit 1 (ERF1); TB3-1; C11 Protein	M75715
	mikrosomaler UDP-Glucuronosyltransferase-1-3-	
	Präkursor (UDPGT; UGT1.3; UGT1C; GNT1)	M84127
	Struktur-spezifisches Erkennungs-Protein 1 (SSRP1);	
15	Rekombinations-Signal-Sequenz-Erkennungs-Protein;	
	T160	M86737
	mikkrosomaler UDP-Glucuronosyltransferase-1-2-	
	Präkursor (UDPGT; UGT1.2; UGT1B; GNT1); HLUGP4	S55985
	Thiopurin-S-Methyltransferase (TPMT)	S62904
20	meiotisches Rekombinations-Protein-DMC1/LIM15-	
	Homolog	D63882
	"short"/branched-chain"-spezifischer Acyl-CoA-	
	Dehydrogenase-Präkursor (SBCAD; ACADSB); 2-Methyl-	
	"branched chain"-Acyl-CoA-Dehydrogenase (2-MEBCAD)	U12778
25	Cytochrom-P450-XIB1-Präkursor (CYP11B1); Steroid-11-	
	beta-Hydroxylase (S11BH)	X55764
	Cytochrom P450 IVA11 (CYP4A11)	X71480
	NADH-Cytochrom-B5-Reductase (B5R); DIA1	Y09501
	Coproporphyrinogen-III-Oxidase-Präkursor (CPO);	
30	Coproporphyrinogenase; Coprogen-Oxidase (COX)	Z28409
	110kDa-Hitzeschock-Protein (HSP110); 105kDa-	
	Hitzeschock-Protein (HSP105);	
	KIAA0201	D86956
	Gamma Crystallin C (CRYGC; CRYG3;	
35	Gamma Crystallin 2 + Gamma Crystallin B (CRYGB;	
	CRYG2); Gamma Crystallin 1-2	U66582 +
	Hitzeschock-Transkriptionsfaktor 4 (HHSF4)	M11971; M11970
	extrazellulärer Superoxid-Dismutase-Präkursor	D87673

	(EC-SOD; SOD3)	J02947
	DNAJ-Protein-Homolog 2 (DNAJ2; hDJ2; HSJ2)	D13388
	DNA "mismatch repair" Protein MSH3; divergentes	
	Upstream-Protein (DUP); "Mismatch Repair"-Protein 1	
5	(MRP1)	J04810
	Protein-Disulfid-Isomerase-verwandter Protein-	
	ERP72-Präkursor	J05016
	Replikations-Protein-A-32kDa-Untereinheit (RPA32);	
	Replikations-Faktor A Protein 2 (REPA2; RPA2; RFA)	J05249
10	Mehrfachresistenz-assoziiertes Protein 1 (MRP1)	L05628
	Calnexin-Präkursor (CANX);	
	Haupthistocompatibilitäts-Komplex Klasse I	
	Antigen-bindendes Protein p88; IP90	L10284; L18887;
		M94859; M98452
15	Cyclophilin-40 (CYP40; CYPD); 40-kDa Peptidyl-Prolyl-cis-trans-Isomerase (PPIASE); Rotamase; Cyclophilin-verwandtes Protein	L11667
	Hitzeschock-70kDa-Protein 4 (HSPA4); HSP70RY;	
	Hitzeschock-70-verwandtes Protein APG-2	L12723
20	T-Komplex-Protein-1-theta-Untereinheit (TCP1-theta); CCT-theta (CCTQ; CCT8); KIAA0002	D13627
	mitochondrialer Stress-70-Protein-Präkursor;	
	75kDa Glucose-gesteuertes Protein (GRP75);	
	Peptid-bindendes Protein 74 (PBP74); Mortalin	
25	(MOT); HSPA9B	L15189
	p23; 23-kDa Progesteron-Rezeptor-assoziiertes	
	Protein	L24804; L24805
	FLAP Endonuklease 1 (FEN1); Maturations-Faktor 1	
	(MF1)	L37374
30	FK506-bindendes Protein 12 (FKBP12); Peptidyl-Prolyl-cis-trans-Isomerase (PPIase); Rotamase	M34539; M80199;
		M92423; X55741;
		X52220
	Hitzeschock-Faktor Protein 2 (HSF2); Hitzeschock-	
35	Transkriptionsfaktor 2 (HSTF2)	M65217
	3-Methyladenin DNA-Glycosylase (ADPG); 3-Alkyladenin	
	DNA Glycosylase; N-Methylpurin-DNA Glycosirase	
	(MPG)	M74905
	Calreticulin-Präkursor (CRP55); Calregulin; HACBP;	

	ERP60; 52-kDa Ribonukleoprotein-Autoantigen	
	RO/SS-A	M84739
	Transformations-sensitives Protein IEF SSP 3521	M86752
	alpha-Crystallin-B-Untereinheit (alpha(B)-Crystallin;	
5	CRYAB; CRYA2); Rosenthal-Faser-Komponente	S45630
	Hitzeschock-Protein beta 2 (HSPB2); DMPK-bindendes	
	Protein; MKBP	S67070
	alpha Crystallin A-Kette (CRYAA; CRYA1)	U05569
	Nicotinamid N-Methyltransferase (NNMT)	U08021
10	Phenol-sulfatierende Phenol-Sulfotransferase 1 (PPST1); thermostabile Phenol-Sulfotransferase (TS-PST); HAST1/HAST2; ST1A3; STP1 + PPST2; ST1A2; STP2 + Monoamin-sulfatierende Phenol-Sulfo-	
	transferase	U09031 + U28170
15		+ L19956
	NADP+ Dihydropyrimidin-Dehydrogenase-Präkursor (DPD); Dihydouracil-Dehydrogenase; Dihydrothymine-	
	Dehydrogenase (DPYD)	U09178
	transkriptioneller Regulator atrX; "X-Linked"-	
20	Helicase II (XH2); "X-linked"-Kern-Protein (XNP); RAD54L	U09820
	26S-Proteasom-Regulierungs-Untereinheit S2 (PSMD2); Tumor-Nekrose-Faktor-Typ-1-Rezeptor-assoziiertes	
	Protein (TRAP2); 55.11 Protein	U12596
25	Schädigungs-spezifisches DNA-bindendes Protein p127 Untereinheit (DDB1 p127); DDB1	U18299
	T-Komplex-Protein-1-delta-Untereinheit (TCP1-delta); CCT-delta (CCTD; CCT4); Stimulator von RNA-	
	bindendem tar (SRB)	U38846
30	7,8-Dihydro-8-Oxoguanin-Triphosphatase (8-Oxo- dGTPase); mutT-Homolog 1 (MTH1)	D16581
	150-kDa Sauerstoff-gesteuertes Protein ORP150	U65785
	48-kDa FKBP-assoziiertes Protein (FAP48)	U73704
	T-Komplex-Protein-1-eta-Untereinheit (TCP1-eta);	
35	CCT-eta (CCTH; CCT7); HIV-1 NEF wechselwirkendes Protein	U83843
	Catalase (CAT)	X04076
	Porphobilinogen-Deaminase (PBGD); Hydroxymethylbilan-	
	Synthase (HMBS); pre-Uroporphyrinogen-Synthase	X04808

	Mn+ Superoxid-Dismutase-2-Präkursor (SOD2)	X07834; X59445
	94kDa-Glukose-gesteuertes Protein (GRP94);	
	Endoplasmin-Präkursor; GP96-Homolog; Tumor-Rejektions-	
	Antigen 1 (TRA1)	X15187; M33716
5	Uracil-DNA-Glycosylase 2 (UNG2)	X52486
	T-Komplex-Protein-1-alpha-Untereinheit (TCP1-alpha);	
	CCT-alpha (CCTA; CCT1)	X52882
	40S ribosomales Protein S3 (RPS3)	X55715
	47kDa-Hitzeschock-Protein-Präkursor; Collagen-	
10	bindendes Protein 1 (CBP1); Colligin 1 + Collagen-	
	bindendes Protein 2 (CBP2)	X61598 + D83174
	T-Komplex-Protein-1-gamma-Untereinheit (TCP1-gamma);	
	CCT-gamma (CCTG; CCT3); TRIC5	X74801; U17104
	Transkriptionsfaktor IIH (TFIIH); 52-kDa-"basic"-	
15	Transkriptionsfaktor-2-Untereinheit (BTF2p52)	Y07595
	"x-ray repair cross-complementing Protein 2" (XRCC2)	Y08837
	8-Oxyguanin-DNA-Glycosylase 1 (OGG1); mutM-Homolog	
	(MMH)	Y11838
	"34-kDa Basic"-Transkriptionsfaktor-2-Untereinheit	
20	(BTF2p34)	Z30093
	N-Oxide-bildende Dimethylanilin-Monooxygenase 5;	
	hepatische Flavin-enthaltende Monooxygenase 5	
	(FMO5); Dimethylanilin Oxidase 5	L37080
	Ubiquitin-artiges Protein NEDD8	D23662
25	Mehrfachresistenz-Protein 3 (MDR3); P-Glycoprotein 3	
	(PGY3)	M23234
	Ubiquitin-konjugierendes Enzym E2-17-kDa (UBE2B);	
	Ubiquitin-Protein-Ligase; Ubiquitin-Träger-Protein;	
	HR6B	M74525
30	p59-Protein; HSP-bindendes Immunophilin (HBI);	
	wahrscheinliche Peptidyl-Prolyl-cis-trans-Isomerase	
	(PPIase); Rotamase; 52kDa-FK506-bindendes Protein	
	(FKBP52); FKBP59; HSP56; FKBP4	M88279
	Hitzeschock-Protein-40-Homolog (HSP40 homolog);	
35	DNAJW	U40992
	51kDa-FK506-bindendes Protein (FKBP51); Peptidyl-	
	Prolyl-cis-trans-Isomerase (PPIase); Rotamase;	
	54kDa-Progesteron-Rezeptor-assoziiertes Immunophilin;	
	FKBP54; FF1-Antigen; HSP90-bindendes Immunophilin	U42031

	hämatopoietische Progenitor-Kinase (HPK1)	U66464
	SPS1/Ste20-Homolog KHS1	U77129
	Leber-Glyceraldehyde-3-Phosphat-Dehydrogenase (GAPDH; G3PDH)	X01677
5	Gehirn-spezifische Tubulin-alpha-1-Untereinheit (TUBA1)	K00558
	HLA Klasse I Histokompatibilitäts-Antigen-C-4-alpha-Untereinheit (HLAC)	M11886
	Cytoplasmisches beta-Aktin (ACTB)	X00351
10	"23kDa highly basic"-Protein; 60S ribosomales Protein L13A (RPL13A)	X56932
	40S ribosomales Protein S9	U14971
	Ubiquitin	M26880
	Phospholipase A2	M86400
15	Hypoxanthin-Guanin-Phosphoribosyltransferase (HPRT)	V00530

Besonders bevorzugt wird der Methylierungszustand von im wesentlichen aller in Tab. 1 aufgeführten Gene untersucht.

- 20 Bevorzugt wird ein Satz von Genen auf Methylierung untersucht, in dem bis zu 25% der in Tab. 1 aufgeführten Gene nicht enthalten sind.
- 25 Bevorzugt ist ferner, dass mindestens 95% der in Tab. 1 aufgeführten Gene zusammen mit einer begrenzten Anzahl zusätzlicher nicht aufgeführter Gene auf ihren Methylierungszustand untersucht werden.
- 30 Bis zu 25% der in Tab. 1 aufgeführten Gene sind erfundungsgemäß durch einen kompletten Satz anderer nicht aufgeführter Gene ersetzt.
- 35 Bevorzugt stimmt die chemisch vorbehandelte DNA Sequenz der nachzuweisenden Gene mindestens zu 95% mit der entsprechend vorbehandelten DNA Sequenz der Gene aus Tab. 1 überein.

Sequenzen, die in einem mindestens 25 Basenpaare langen Abschnitt des Exons zu 100% übereinstimmen, werden in dieser Erfindung als homolog bezeichnet. Dieses trifft 5 auch auf Sequenzen zu, deren Homologie erst unter Berücksichtigung eventueller Frameshifts zu erkennen ist.

In den nachfolgenden Beispielen sind einige der zu untersuchenden Gene und ihre Bedeutung für toxikologische Prozesse 10 aufgeführt.

Die genomischen Sequenzen der zu untersuchenden Gene können durch Vergleich der jeweiligen cDNA Sequenzen mit öffentlich zugänglichen Datenbanken, in denen genomische 15 Sequenzen hinterlegt sind, abgeleitet werden.

Beispiel 1: Anzucht der HT-29 P208 Zellen, Zellernte und Präparation chromosomaler DNA

20 HT-29 P208 Zellen (5x10⁴ Zellen/ml) wurden in Kulturschalen (33x5 cm) ausgesät und wuchsen für 5 Tage in DMEM/Ham's F-12 Medium, das mit 10% fötalem Rinderserum supplementiert wurde, bei 37 °C und 5% CO₂, bis zu einer 95%iger Konfluenz (Campbell-Thompson, M. und Bhardwaj, 25 B., Cancer Research 2001, 61, 632-640). Die Zellen wurden anschließend für 24 h in Medium ohne Rinderserum inkubiert. Nach erneutem Mediumswechsel wurden die Zellen, in jeweils 3 Parallelkulturen für 6h und 24h, entweder mit Medium, Medium supplementiert mit 10 ng/ml TGF-β1, Medium 30 supplementiert mit 10 ng/ml IL-1β, Medium supplementiert mit Trichostatin (50 nM) und Medium supplementiert mit Milrinone (50 μM) inkubiert. Die mediumsfreien Zellen wurden mit Trypsin behandelt, zentrifugiert und in 200 μl PBS Puffer (Fritsch und Maniatis eds., Molecular Cloning: 35 A Laboratory Manual, 1989) resuspendiert und bei -20 °C

gelagert. Die chromosomal DNA wurde mit einem QIAamp Kit nach den Herstellerangaben (Qiagen, Hilden) aufgereinigt.

5 Beispiel 2: Herstellung von bisulfitbehandelter DNA und Durchführung der PCR-Reaktionen

Die DNA-Proben (20 ng) wurden mit dem Restriktionsenzym MssI verdaut. Die verdaute DNA wurde mit Hydrogensulfat (Bisulfat, Disulfat) und einem Radikalfänger bei erhöhter Temperatur chemisch umgewandelt (DE 10050942). Dabei werden alle nicht methylierten Cytosine nach alkalischer Hydrolyse in Uracil umgewandelt, welche in ihrem Basenpaarungsverhalten dem Thymidin entsprechen. 5-Methylcytosin wird dagegen unter diesen Bedingungen nicht modifiziert.

Die chemisch vorbehandelte DNA wurde dann unter Benutzung einer hitzebeständigen DNA Polymerase in einer Polymerasekettenreaktion amplifiziert. Die Multiplex PCR Reaktionen wurden mit einem Thermocycler (Eppendorf GmbH) unter Verwendung von 10 ng bisulfatbehandelter DNA, jeweils 6 pmol Primeroligonukleotiden (Mischung von bis zu 32 einzelnen Primeroligonukleotiden, siehe Tabelle 3), jeweils 800 µM dNTP und 4,5 mM Magnesiumchlorid durchgeführt. Das Cyclerprogramm war wie folgt: Schritt 1, 14 min bei 96 °C; Schritt 2, 60 sec 96 °C; Schritt 3, 45 sec 55 °C; Schritt 4, 75 sec 72 °C; Schritt 5, 10 min bei 72 °C; die Schritte 2 bis 4 wurden 39 mal wiederholt.

30 Die in Tabelle 3 aufgeführten DNA Fragmente von 64 verschiedenen Genen wurden mit 6 Sätzen Multiplex-PCR (mPCR) und bisulfatbehandelter DNA als Templat amplifiziert, wie oben beschrieben.

35 Die mPCR Reaktionen (I, J, K, L, M, N) der genomischen, bisulfitbehandelten DNA wurde mit der Kombination von

Primeroligonukleotiden durchgeführt, wie sie in Tabelle 3 aufgeführt ist. Es ist jedoch ebenfalls möglich, andere Primeroligonukleotide zur Amplifikation der genomischen, bisulphitbehandelten DNA in gleicher Weise zu verwenden.

5 Besonders bevorzugt sind jedoch die in Tabelle 1 aufgelisteten Primerpaare.

Beispiel 3: Bestimmung des Methylierungsstatus ausgewählter Gene

10

Die in Beispiel 2 hergestellten Amplifikate wurden mit 512 Oligonukleotiden, die an eine Festphase gebunden wurden hybridisiert (Model,F. und Adorjan,P., Bioinformatics. 2001, 17 Suppl. 1, 157-164). Die mit Oligonukleotiden beladene Festphase wird im folgenden Oligonukleotid-Array genannt. Die Detektierbarkeit des Hybridisierungsprodukts basiert auf Cy5 fluoreszenzmarkierten Primeroligonukleotiden, die für die Amplifikation verwendet wurden. Eine Hybridisierungsreaktion der amplifizierten DNA mit dem Oligonukleotid, zum Beispiel GTTTTTTCGTTTAGAG (Sequenz ID 6), findet nur dann statt, wenn ein methyliertes Cytosin an der besagten Stelle der bisulfatbehandelten DNA vorhanden ist. Somit kann der Methylierungsstatus des spezifischen Cytosins über das Hybridisierungsprodukt bestimmt werden. Um den Methylierungsstatus an der besagten Position zu verifizieren, befindet sich ein Oligonukleotid auf dem Oligonukleotid-Array, das es erlaubt das nicht methylierte Cytosin zu detektieren. Diese Oligonukleotid ist identisch zu dem Oligonukleotid, das vorher zur Analyse des methylierten Status der Probe verwendet wurde, mit Ausnahme dass das Oligonukleotid an der zu analysierenden Position eine Thyminbase an Stelle der Cytosinbase trägt, z.B. GTTTTTTTGTTTAGAG (Sequenz ID 7). Somit findet eine Hybridisierungsreaktion nur dann statt, wenn ein nicht

methyliertes Cytosin an der zu analysierenden Position vorhanden ist.

Die Detektion der Fluoreszenzsignale erfolgte durch Scannen der Oligonukleotid-Arrays mit dem Fluoreszensscanner Genpix 4000A (Axon Instruments, USA). Die quantitative Bestimmung der Fluoreszenzsignale erfolgte mit der Analysesoftware Genepix 3.0 (Axon Instruments, USA).

Um die Methylierungsmuster einer bestimmten Behandlung der Zellen zuordnen zu können, wurden die DNA Methylierungsmuster von HT29-P208 Zellen gewachsen mit IL-1b (Interleukin) oder TGF- β 1 (Transforming Growth Factor) behandelten Zellen bestimmt. Die erhaltenen Ergebnisse wurden in Datenbanken gespeichert und die CpG Dinukleotide mit unterschiedlichem Methylierungsstatus wurden identifiziert. Die Methylierungsmuster wurden über Clusteranalysen und statistisches Verfahren verglichen (Model, F. und Adorjan, P., Bioinformatics. 2001, 17 Suppl. 1, 157-164).

Beispiel 4: Veränderung des Methylierungsstatus in HT29-Zellen durch exogen Cytokine und niedermolekulare Wirkstoffe.

In diesem Beispiel wurden die PCR Produkte (siehe Tab 1) einer Anzucht Zellen (siehe Beispiel 1), mit Cy5-fluoreszenzmarkierten Primern von bisulfatbehandelter DNA amplifiziert, gemischt, und auf Glassobjektträger hybridisiert, die an jeder Postion ein Paar immobilisierter Oligonukleotide trugen. Jedes dieser Detektionsoligonukleotide wurde entworfen, um es gegen bei CpG Stellen befindliche Bisulfat konvertierte Sequenzen zu hybridisieren, die entweder im ursprünglichen Zustand unmethyliert (TG) oder methyliert (CG) vorlagen. Die Hybridisierungsbedingungen wurden so ausgewählt, um die Detektion von

Unterschieden bei Einzelnukleotiden der Varianten TG und CG aufzuzeigen. Die Verhältnisse der beiden Signale wurden basierend auf dem Vergleich der Intensitäten der fluoreszierenden Signale berechnet.

5

Die Information wird danach in einer gewichteten Matrix (s. Figur 1,2) bezüglich der CpG Methylierungsunterschiede zwischen zwei Klassen, behandelte und nicht behandelte HT29-P208 Zellen bestimmt. Die p-Wert gewichtete Methylierung (p-Wert <0.05, F. Model, P. Adorjan, A. Olek, C. Piepenbrock, Feature selection for DNA methylation based cancer classification. Bioinformatics. 2001 Jun;17 Suppl 1:S157-64) zeigt eine klare Unterscheidung zwischen den beiden Gruppen, was an der unterschiedlichen grauen Farbschattierung zu erkennen ist. Hierbei korreliert ein höherer Methylierungsgrad mit einem dunkleren Grauwert.

20

Die vergleichenden Untersuchungen des Methylierungsstatus der 64 Genfragmente (siehe Tabelle 1) von HT29-P208 Zellen zeigten, dass sowohl IL-1b als auch TGF-b1 zu einer Veränderung des Methylierungsstatus bestimmter Gene führt. Im Gegensatz zu den Kontrollen (HT29-P208 in Medium) konnte durch die Supplementierung des Mediums mit TGF-b1 eine geringere Methylierung, durch die Supplementierung des Mediums mit IL-1b eine höhere Methylierung verschiedener CpG-Positionen gefunden werden. Die Veränderungen im Methylierungsstatus waren nach einer Behandlungszeit von 24 h sichtbar (siehe Fig 1 und 2). Nach 6h Behandlungszeit konnten keine signifikanten Methylierungsunterschiede detektiert werden (Daten nicht gezeigt). Mit Ausnahme von CpG-Positionen des TGF-a Gens verändern TGF-b1 und IL-1b den Methylierungsstatus unterschiedlicher Gene.

30

35

In Figur 3 ist der Methylierungsstatus ausgewählter CpGs für die Gene TGF-a, EGFR, ANT1 und E-Cadherin quantitativ

dargestellt. Die Amplifikation dieser Genen erfolgte unter den in Beispiel 2 beschrieben Bedingungen. In Tabelle 2 sind die verwendeten Primersequenzen, ihre Seq ID, die Länge des PCR-Fragments, sowie die zur Methylierungsanalyse verwendeten Oligonukleotide mit ihrer Seq ID zusammenfassend dargestellt. Die Bestimmung des Methylierungsstatus erfolgte durch die Berechnung des Quotienten des Fluoreszenzsignals des CG-Oligos über der Summe der Fluoreszenssignale des TG- und CG-Oligos. Somit kann der Methylierungsstatus zwischen 0 und 1 variiieren, wobei 0 den minimalen und 1 den maximalen Methylierungstatus anzeigen. Für die hier untersuchten CpG-Positionen wurde in HT29-P208 Zellen, durch die Behandlung mit TGF- β 1, eine signifikante Reduktion des Methylierungstatus ermittelt (siehe Fig. 3). Die Behandlung mit IL-1 β führte hingegen zu keiner bzw. zu einer Erhöhung des Methylierungsstatus (siehe Fig. 3, A1 u. 2, B1 u. 2, D1). In einem weiteren Experiment wurde der Einfluss von Milrinon und Trichostatin auf den Methylierungsstatus ausgewählter CpG-Positionen der Gene EGFR, ANT1 und CDC25A untersucht. Die Behandlung der HT29-P208 Zellen mit Milrinon führte zu einer Verringerung, mit Trichostatin zu einer Erhöhung des Methylierungsstatus (siehe Fig. 4).

Beispiel 5: Methylierungsanalyse des Cyplal Gens

Besonders bevorzugt in der Analyse von veränderten Methylierungsmustern, die wiederum Genexpressionsveränderungen widerspiegeln, sind Gene, die Enzyme kodieren, die die Biotransformation von toxikologischen Substanzen katalysieren. Eine zentrale Funktion kommen hierbei unter anderen den Genen der Cytochrom P450 Familie zu. In Tierversuchen konnte unter anderem gezeigt werden, dass eines der Gene aus dieser Klasse, Cyplal, nach Exposition von Mäusen mit beta-Naphtoflavon induziert wurde (Arch Biochem Biophys 2000 Apr 1;376(1):66-73). Zur Methylierung-

sanalyse muß zunächst die genomische DNA Sequenz, die das Cyplal Gen kodiert identifiziert werden. Dazu kann z.B. die cDNA Sequenz (Genbank Acc. NM_000499) mit einer genomischen Datenbank (z.B. Genbank htgs) verglichen werden, 5 wobei in der Regel der BLAST Vergleichsalgorithmus, der über das Internet verfügbar ist (www.ncbi.nlm.nih.gov), verwendet wird. Im vorliegenden Fall kann so der Abschnitt der genomischen DNA, der Cyplal kodiert identifiziert werden (Genbank Acc.AC020705). Bevorzugt werden genomische Abschnitte im Bereich des Promoters sowie des 10 ersten Exons bzw. Introns auf Methylierungsunterschiede untersucht, da relevante CpG Dinukleotide, deren Methylierung die Genexpression beeinflusst, bevorzugt in diesen Abschnitten zu finden sind. Im Beispiel des Cyplal 15 Gens wurde Exon 1 (unterstrichen) im folgenden genomischen Sequenz abschnitt lokalisiert:

>genomische Region, die Exon 1 des Cyplal Gens enthält
(Exon1 hervorgehoben)

20 catgccaaatggcactgggcttcgtgtcgccacagcgtggaccgaaaatgcgga
cacatgcaggctgccttcctcgcaggcagaaggccacacgcagacaccttgc
gcacccgcattttcaatcgccgcacccgcaccctcgacagttcctctccct
ccacccccacccccacgcccgcgcgaggtggcccttaagagccccccccgactc
cctccccccctcggtgactgcgagccccgcgcggggatgggtcggtgg
25 gtggctgcgcggccctccggtccttcacgcacgcctggcaccgcgcctccgg
ccaggtggggcggggacggccgcctgacctctgcccccttagaggatgtcgccggc
gcacgcacgttagccggggtagggtagggctccgcgcaggtagccctccgtgg
tccctggcccgagtcttcgtggccccccgcgcggatttctgtgctctgcca
tcaaagcactagccaccccgagccaagagggaccctcaaggccggtagggct
30 gctggagggaccgcgcgttgcaatcagcactaaggcgatccatggctgcgaggag
ccgctagtgagcgctcagcgagccctgcggccatccattccgatcctcaatc
aagaggcgcaacctcagcttagtcgccccggctctggggacaggtagccagccccgc
gcgcctctggccttcggccccgtgacccctcaggctgggtcgccaggcgcttc
cgcgaggccggactcagtaacccggaaaggaggtcaccacggggcagccccccc
35 ccgcctgcggactcgttaggtcgctgggaggcatctgcacgcggcgg
ttccagtgggtgaaaaatgacgaagaggagtccccgcggccaggatggaggttcc

cgtaccctcttcgggctgtcctggacttccctcaagccccctcctcggtgg
gttctgcactgcccttgggacgccttgaattggacttccagggtttcccagccc
tcacccctctatgtacaggcaccgagatgtccatagtgggttcttgcaccc
gaccccccaccccccggcccccaccccttctccaatcccagagagaccag
5 cccggttcaggctgttccatctcagctcgctccaggaaaggaggcgtgg
ccacacgtacaagccgcctataaagggtgcagttcacccctaccctgaaggtg
acagttttggatgtccctgatccctgtatcccaggctccaagagtcaccc
tcccaccatcagctcagtaacctcaggtgagttgtggggacttctggcttgcaccc
ctctcccaataaaaagaacatttggcctccaggactttagttagctacctg
10 tctagcacccaaaaaggaggctcagagtgttttagtgaccaggcagtctaccc
ccctagtggggaaactgaggccaggaaagaggaggacttgcacccatggccaca
gctggtaccagacaccttagatacagatggcatctcattcaggacttcaggaccca
ggctccagctccatcccstagtgagtgtccctgcctaccctgggcttccat
caaggccacctggcaggctgaaatatgtcagccctccctcaggcttctgatgac
15 aggggcttccctgggtggacagggtggatggagggggctgggttccatcca
gctgtaccctgccttagcctaagaagctaccctggcagatttaccctctaagg
gtggcttgcagtgcgtgagatgtccctagacagctggacaatagaggcagatct
gtgcaggagtcccaggccttccatctcattgaccatcttgccttgccttgc
ctggagacaatcagggtgacagattgccaactgcaggagctggaaatcca
20 gtcctaaaaactcaccagtacatctccctggcctcaccatcttacaaa
ggctgcaggccttggataccactgtgcagaaggggacaccatagcacacc
aaagcctggcactgtccctgttgcactcaggatctgtgctttgatattt
agccctccaggaaggcctccactataatacttgtgtaggaaccatccat
ctccctgtttgtgaggttccctgtgggagcctaactggtaagactgtcagg
25 ttccccacagcagatctgggtttcttccctctggatccagctgggtactct
gaactgagagatcttgtcttaccctctcagatgtgaaattggaccccagaa
aagtaaaatgtgcagtccaaagatcacttgactagaatgtggctactgaccc
ctagtccaggtaacaggcagagatgcctgatgttggagagagtggttatga
atttaaacacccttttaggtcaagcttacagagaaagtattgcctcatttgc
30 ttcaagttagatccattcctgattccctgattccagtcgggttttcttacag
cctagtgggaacccatttattctctgctctggtaacctgcaaaaggggag
gtccaaactgttcatttgcattgagaa

Sequenzabschnitt nach Bisulfitebehandlung und PCR Amplifizierung (die verwendeten Primeroligonukleotide und das analysierte CpG sind hervorgehoben)

>cyp1a1 sense-1 bisufit
tatgttaaatggtatgggttCGtgtCGtgtatagCGggatCGaaaatgCG
gatatatgttaggtttttttCGtaggtagaagttataCGtagatttagatt
5 tttgtatCGtatttttatttaatCGCGtattCGtatttttCGatagttttt
ttttttatTTtaatTTtaCGtCGCGCGGaggttggttttaagagtttCGtt
tCGatttttttttCGCGtattgcGAGtttCGCGtCGgtCGggatgg
gtCGgttgggtgggtgCGCGgttttCGgttttttaCGtaaCGtttgggtatCG
CGtttCGgttaggtggggCGgggaCGggtCGttgattttgtttTtagaGgg
10 atgtCGtCGgCGtaCGtaagttagtCGgggttagggtaggggttCGCGttaggtg
ttttttCGtggttttgggttCGagtttttCGtggttttCGtCGtCGgatttt
tgtttttgttaattaaagtatttagttatttCGggagttaaagaggatTTtaaggg
tCGgtgggtttgggtggagggatCGCGCGttaatttagtattaaggCGatttt
gagttgCGaggagtCGtttagttagCGtttagCGagtttttttCGttatttt
15 tCGatttttaattaagaggCGCGaatttttagttttagtCGttCGggtttggggata
ggtttagtttCGCGgCGttttgggttCGgttttCGtgatttttaggggttgggttC
GtagCGtttttaCGCGagtCGggatttagtaatttCGgaaaggaggttattACGGG
gttagtttCGtttCGttgtCGagtttggtaggtttagtCGttggggaggttatt
gtacCGtttagCGtttagtgggtgtaaaaatgaCGaagaggagtttCGCGttta
20 ggttagtttCGtatttttttCGgggtgtttgggatttttttaagtt
tttttttCGgttgggtttgtattgtttttgggaCGttttggaaattgggatttttag
gtgttttagttttatTTttatgtataggtatCGagatgttttatagtggg
ttttgtttattCGatttttattttCGtCGtttttCGttatttttttaatt
tttagagagatttCGgttaggtgttttttttttttagttCGtttaggg
25 aaggaggCGtggttataCGtataagttCGttataaagggttagtatttttattttt
attttgaagg**tgatagttttggatg**

Um einen Teil des dargestellten genomischen Abschnitts
nach der Bisulfitbehandlung zu amplifizieren können bei-
30 spielsweise die beiden Primer mit der Sequenz
TATGTTAAATGGTATTGG und CATCCAAAAACTAT verwendet werden,
mit denen sich definierte Fragmente der Länge 1316 Basen-
paare amplifizieren lassen. Diese Amplifikate dienen als
Sonde, die an vorher an einer Festphase gebundene Oligo-
35 nukleotide, beispielsweise CTACCCCGTAATA, hybridisiert
werden, wobei sich das nachzuweisende Cytosin an Position

837 des Amplifikats befindet. Der Nachweis des Hybridisierungsprodukts beruht auf Cy3 oder Cy5 fluoreszenzmarkierten Primeroligonukleotiden, die für die Amplifikation verwendet wurden. Nur wenn in der Bisulfit behandelten DNA an dieser Stelle ein methyliertes Cytosin vorgelegen hat, kommt es zu einer Hybridisierungsreaktion der amplifizierten DNA mit dem Oligonukleotid. Somit entscheidet der Methylierungsstatus des jeweiligen zu untersuchenden Cytosins über das Hybridisierungsprodukt.

10

Beispiel 6: Einordnung einer chemischen Substanz in eine Toxizitätsklasse durch Bestimmung des Methylierungsmusters

15

Um anhand des Methylierungsmusters eine Einordnung einer chemischen Substanz in eine bestimmte Klasse durchzuführen, bedarf es zunächst der Untersuchung der DNA-Methylierungsmuster einer Gruppe von exponierten und einer Gruppe von nicht-exponierten Lebewesen, etwa Versuchstieren. Die Ergebnisse werden in einer Datenbank abgespeichert und die CpG Dinukleotide identifiziert, die zwischen den beiden Gruppen unterschiedlich methyliert sind. Anschließend wird das Methylierungsmuster der zu beurteilenden Substanz mit bereits bekannten Methylierungsmustern anderer chemischer Substanzen verglichen. Aus den toxikologischen Eigenschaften derjenigen chemischen Substanzen mit ähnlichem Methylierungsmuster können Hinweise auf die Eigenschaften der zu untersuchenden Substanz gewonnen werden.

20

30 Gegenstand der vorliegenden Erfindung ist zudem ein Kit, bestehend aus einem Bisulfit enthaltenden Reagenz, einen Satz von Primeroligonukleotiden umfassend mindestens zwei Oligonukleotide, deren Sequenzen jeweils mindestens einen 35 18 Basenpaaren langen Abschnitt der Basensequenzen der zu untersuchenden Gene entsprechen oder zu ihnen komplementär

tär sind, zur Herstellung der Amplifikate, Oligonukleotide und/oder PNA-Oligomere, eine Kontrollnukleinsäure sowie einer Anleitung zur Durchführung und Auswertung des beschriebenen Verfahrens.

5

Legenden zu den Figuren:

Figur1

Gewichtete Matrix des Methylierungsstatus (Fluoreszenzsignal CG-Oligo x (Fluoreszenzsignal CG-Oligo + Fluoreszenzsignal TG-Oligo)-1) von 40 CpGs in unbehandelten HT29-P208 Zellen (A) und TGF-b1 behandelten HT29-P208 Zellen (B). Die Zahlen 1-3 kennzeichnen 3 unabhängige Experimente (Zellbehandlungen und Methylierungsanalyse).

Jeder waagerechte Balken repräsentiert ein CpG, dessen Methylierungsstatus, mit einer Signifikanz von $p<0,05$, in den beiden Analysegruppen unterschiedlich ist. Ein höherer Methylierunggrad entspricht dem dunkleren Grauton, ein geringerer Methylierunggrad entspricht dem helleren Grauton.

Figur2

Gewichtete Matrix des Methylierungsstatus (Fluoreszenzsignal CG-Oligo x (Fluoreszenzsignal CG-Oligo + Fluoreszenzsignal TG-Oligo)-1) von 40 CpGs in unbehandelten HT29-P208 Zellen (A) und IL-1b behandelten HT29-P208 Zellen (B). Die Zahlen 1-3 kennzeichnen 3 unabhängige Experimente (Zellbehandlungen und Methylierungsanalyse). Jeder waagerechte Balken repräsentiert ein CpG, dessen Methylierungstatus, mit einer Signifikanz von $p<0,05$, in den beiden Analysegruppen unterschiedlich ist. Ein höhere Methylierunggrad entspricht dem dunkleren Grauton, ein geringer Methylierunggrad entspricht dem hellerem Grauton.

35 Figur3

Quantitative Analyse des Methylierungsstatus (Fluoreszenzsignal CG-Oligo x (Fluoreszenzsignal CG-Oligo + Fluoreszenzsignal TG-Oligo)-1) von 8 CpGs in unbehandelten HT29-P208 Zellen (schwarze Säulen), TGF- β 1 (graue Säulen) und IL-1 β (weiße Säulen) behandelten HT29-P208 Zellen.
5 CpGs, die durch die angegebenen Oligo-SEQ IDs repräsentiert werden, wurden aus folgenden Genen untersucht: TGF- α (A1, oligo SEQ IDs 6, 7; A2, oligo SEQ IDs 8, 9), EGFR (B1, oligo SEQ IDs 20, 21; B2, oligo SEQ IDs 22, 23),
10 ANT1 (C1, oligo SEQ IDs 32, 33; C2, oligo SEQ IDs 34, 35) und E-Cadherin (D1, oligo SEQ IDs 13, 14; D2, oligo SEQ IDs 15, 16). Die Zahlenwerte der y-Achse zeigen den Methylierungsstatus, berechnet als Quotienten des Fluoreszenzsignals des CG-Oligos über der Summe der Fluoreszenzsignale des TG- und CG-Oligos.
15

Figur4

Quantitative Analyse des Methylierungsstatus (Fluoreszenzsignal CG-Oligo x (Fluoreszenzsignal CG-Oligo + Fluoreszenzsignal TG-Oligo)-1) von 4 CpGs in unbehandelten HT29-P208 Zellen (schwarze Säulen), Trichostatin (graue Säulen) und Milrinon (weiße Säulen) behandelten HT29-P208 Zellen. CpGs, die durch die angegebenen Oligo-SEQ IDs repräsentiert werden, wurden aus folgenden Genen untersucht: EGFR(A1, oligo SEQ IDs 22, 23), ANT1 (B1, oligo SEQ IDs 32, 33; B2, oligo SEQ IDs 34, 35) und CDC25A (C1, oligo SEQ IDs 27, 28). Die Zahlenwerte der y-Achse zeigen den Methylierungsstatus, berechnet als Quotienten des Fluoreszenzsignals des CG-Oligos über der Summe der Fluoreszenzsignale des TG- und CG-Oligos.
20
25
30

Patentansprüche

1. Verfahren zur toxikologischen Diagnostik dadurch gekennzeichnet, dass folgende Verfahrensschritte ausgeführt werden:
 - a) einem Lebewesen oder einer Zellkultur, die zuvor einer bestimmten auf ihre toxikologische Wirkung zu untersuchende Substanz ausgesetzt wurden, wird eine Probe entnommen, die DNA besagten Lebewesens oder der Zellkultur enthält;
 - b) die in der Probe enthaltene DNA wird derart behandelt, dass methylierte Cytosinbasen zu einer anderen Basenabfolge an einer gegebenen Position in der besagten behandelten DNA führen als unmethylierte Cytosinbasen an einer gegebenen Position in besagter behandelter DNA;
 - c) die Basenabfolge eines Teils der modifizierten DNA wird bestimmt und daraus auf einen für die Probe charakteristischen Methylierungszustand oder ein charakteristisches Methylierungsmuster geschlossen;
 - d) durch Abgleich mit Daten aus Methylierungszuständen anderer Proben wird auf die Einwirkung einer Substanz auf das Lebewesen oder die Zellkultur geschlossen und/oder die Einwirkung dieser Substanz auf das Lebewesen oder die Zellkultur im Vergleich zu anderen Substanzen in toxikologischer Hinsicht verglichen.
2. Ein Verfahren zur toxikologischen Diagnostik nach Anspruch 1, dadurch gekennzeichnet, dass der Methylierungszustand oder das Methylierungsmuster eines Satzes von Genen untersucht wird, der mindestens eines der im Folgenden aufgeführten Gene oder aber Sequenzen, die im Bereich der Exons identisch oder zu mindestens 85% homolog zu den im Folgenden aufgeführten Genen sind, umfasst:

	Gene Name	GenBank Accession #(s)
	Serotransferrin-Präkursor; Siderophilin;	
	Beta-1-metallbindendes Globulin	M12530
	Lactotransferrin-Präkursor; Lactoferrin	X53961
5	Apolipoprotein E Präkursor (APOE)	M12529
	Lipopolsaccharide-bindender Protein-Präkursor (LBP)	M35533
	B-Lymphozyt Kinase; Tyrosine-Protein-Kinase BLK; p55-BLK	Z33998
10	Apolipoprotein A-I Präkursor (APOAI)	X00566
	Apolipoprotein A-II Präkursor (APOAII)	X00955
	Apolipoprotein C-III Präkursor (APOCIII)	X01388
	Endothelin 1 (ET1)	Y00749
	Makrophagenkolonie-stimulierender Faktor 1 (CSF1; MCSF)	M37435
15	familial intrahepatisches Cholestasis 1 Protein (FIC1)	AF038007
	Vaskulärer Endothelwachstumsfaktor D (VEGFD); C-FOS-induzierter Wachstumsfaktor (FIGF)	D89630
	Komplement-Komponente-4-bindendes Protein alpha (C4B-bindendes Protein; C4BPA); Prolin-reiches Protein (PRP)	M31452
	Insulin-ähnlicher Wachstumsfaktor II (IGF2); Somatomedin A	
20	Granulozytenmakrophagenkolonie-stimulierender Faktor (GM-CSF); CSF2	M29645
	epidermaler Wachstumsfaktor-Präkursor (EGF); Beta-Urogastron	M11220
	Hepatozytenwachstumsfaktor-Aktivator (HGF-Aktivator)	X04571
25	Makrophage-"Inflammatory-Protein"-1-beta-Präkursor (MIP1-beta); T-Zellen-Aktivierungs-Protein 2 (AT2); PAT 744; H400; SIS-Gamma; Lymphozyt-Aktivierungs-Gen-1-Protein (LAG 1); HC21; kleines induzierbares Cytokin A4 (SCYA4); G 26 T-Lymphozyt sekretorisches Protein	D14012
30	Gliawachstumsfaktor-2-Präkursor (GGFHPP2);	J04130

	Neuregulin; Heregulin-Beta3 + "neuer Differenzierungsfaktor" + Heregulin-alpha L12260; L12261 + U02326 + M94165	
5	T-Zellen-spezifischer Rantes-Protein-Präkursor; sis delta; kleines induzierbares Zytokin A5 (SCYA5); "Rantes pro-Inflammatory"-Zytokin	M21121
	Makrophagen-"Inflammatory"-Protein-1-alpha- Präkursor (MIP1-alpha); Tonsillen-Lymphozyt- LD78-Alpha-Protein; GOS19-1-Protein; PAT 464.2;	
10	SIS-beta; kleines induzierbares Zytokin A3 (SCYA3)	M23452
	Onkostatin M (OSM)	M27288
	Insulin-ähnlichen-Wachstumsfaktor-bindendes Protein 1 (IGFBP1); Plazenta-Protein 12 (PP12)	M31145
15	Vaskulärer Endothelial-Wachstumsfaktor Präkursor (VEGF); Vaskulärer Permeabilitäts-Faktor (VPF)	M32977; M27281
	Hepatozyten-Wachstumsfaktor (HGF); Streufaktor (SF); Hepatopoeitin A	M60718
	Thymosin Beta-10 (TMSB10; THYB10); PTMB10	M92381
20	Interferon Gamma-induzierter Protein-Präkursor (gamma-IP10)	X02530
	Makrophagen "Inflammatory"-Protein 2 alpha (MIP2-alpha); wachstumsreguliertes Protein Beta (GRO-beta)	X53799
25	OX40 Ligand (OX40L); GP34; tax-transkriptionell aktiviertes Glycoprotein 1 (TXGP1)	X79929
	transformierender Wachstumsfaktor Beta 3 (TGF-beta3)	J03241
	Delta-artiger Protein Präkursor (DLK)	U15979; Z12172
30	Insulin-artiger Wachstumsfaktor-IA Präkursor (IGF1A); IGFBP1; Somatomedin C + Insulin- artiger Wachstumsfaktor I (IGF1)	M27544 + M37484
	CC Chemokin-Eotaxin-Präkursor; eosinophil chemotaktisches Protein; kleines induzierbares	
35	Zytokin A11 (SCYA11)	D49372; Z75669; Z75668
	"Sonic Hedgehog" (SHH)	L38518
	Interleukin-1-Rezeptor-Antagonist Protein- Präkursor (IL-1RA; IRAP)	M63099

	Makrophage-Inhibitor Zytokin 1 (MIC1)	AF019770
	Erythropoietin	M11319
	Eosinophil "Granule-Major-Basic" Protein-Präkursor (MBP); Schwangerschafts-assoziiertes	
5	"Major-Basic-Protein; Knochenmarks-Proteoglykan 2	Y00809
	Insulin-artigen Wachstumsfaktor-bindender Protein-3-Präkursor (IGF-bindendes Protein 3; IGFBP3; IBP3)	M31159; M35878
10	zelluläres Retinsäure-bindendes Protein II (CRABP2)	M68867
	Corticoliberin-Präkursor; Corticotropin-Freisetzungsfaktor (CRF); Corticotropin-Freisetzungshormon (CRH)	V00571
15	Interferon-Gamma-Präkursor (IFN-gamma; IFNG); Immuninterferon	X01992; M29383
	Interleukin-2-Präkursor (IL-2); T-Zellen-Wachstumsfaktor (TCGF)	A14844
	Interleukin-1-alpha-Präkursor (IL-1 alpha; IL1A); Hematopoietin-1	X02851
20	Interleukin-4-Präkursor (IL-4); B-Zellen-Stimulierungsfaktor 1 (BSF-1); Lymphozyt-Stimulierungsfaktor 1	M13982
	Interleukin-6-Präkursor (IL-6); B-Zellen-Stimulierungsfaktor 2 (BSF2); Interferon-Beta-2 (IFNB2); Hybridom-Wachstumsfaktor	X04602; M14584
25	Interleukin-5-Präkursor (IL-5); T-Zellen-Substitutions-Faktor (TRF); eosinophiler Differenzierungs-Faktor; B-Zellen-Differenzierungsfaktor I	
	Interleukin-12-Beta-Untereinheit-Präkursor (IL-12B); zytotoxischer Lymphozyt-Maturations-Faktor 40-kDa-Untereinheit (CLMF p40); NK-Zellen-stimulierende Faktor-Untereinheit 2 (NKSF2)	X04688; J03478
30	Interleukin-12 alpha Untereinheit Präkursor (IL-12A); zytotoxische Lymphozyt-Maturations-Faktor 35-kDa Untereinheit (CLMF p35); NK-Zellen-stimulierende Faktor-Untereinheit 1	M65290

	(NKSF1)	M65291
	Pankreatitis-assozierter Protein-1-Präcursor	D13510
	Alpha-1-Säure-Glycoprotein-1-Präcursor (AGP1);	
	Orosomucoid 1 (OMD1)	X02544
5	C-reaktiver Protein-Präcursor	X56692
	Corticosteroid-bindendes Globulin	J02943
	Prostaglandin-Endoperoxide-Synthase-1-Präcursor;	
	Prostaglandin-G/H-Synthasel (PGH-Synthase-1;	
	PTGS1; PHS1); Cyclooxygenase-1 (COX1)	M59979
10	Amphiphysin (AMPH)	U07616
	5-Hydroxytryptamin-1D-Rezeptor (5-HT-1D; HTR1D);	
	Serotonin-Rezeptor	M89955
	Neuromedin-B-Präcursor	M21551
	Haupt-Prion-Protein-Präcursor (PRP); PRP27-30;	
15	PRP33-35C; ASCR	M13667
	Dopamin-Beta-Hydroxylase (DBH); Dopamin-Beta-	
	Monooxygenase-Präcursor	X13255
	Alzheimer-Krankheit-Amyloid-A4-Protein-Prä-	
	kursor; ProteaseNexin-II (PN-II); APPI	Y00264
20	membrangebundene & lösliche Catechol-O-	
	Methyltransferase (COMT)	M65212
	Flavin-enthaltende Amin-Oxidase-A; Monoamin-	
	Oxidase (MAO-A)	M68840
	Erythropoietin-Rezeptor (EPOR)	M60459
25	kationunabhängiger Mannose-6-Phosphat-Rezeptor-	
	Präcursor (CI Man-6-P Rezeptor; CI-MPR);	
	Insulinartiger Wachstumsfaktor-II-Rezeptor	
	(IGFR II)	Y00285; J03528
	Aktivin-Rezeptor-Typ-II-Präcursor (ACTRIIA;	
30	ACVR2)	D31770
	Retinoid-X-Rezeptor-GAMMA (RXR-GAMMA)	U38480
	transkriptioneller Enhancer-Faktor (TEF1);	
	Protein GT-IIC; Transkriptionsfaktor 13 (TCF13)	M63896
	Glucocorticoid-Rezeptor (GRL)	M10901
35	Orphan-Zellkern-Hormon-Rezeptor BD73	L31785
	"Low-Density"-Lipoprotein-Rezeptor (LDL	
	Rezeptor; LDLR)	M28219
	Sulfonylharnstoff-Rezeptor 2A (SUR2A)	AF061323
	Sulfonylharnstoff-Rezeptor (SUR);	

	ATP-bindendes Kassetten-Unterfamilie C (CFTR/MRP) Mitglied 8 (ABCC8)	L78207
	Farnesol-Rezeptor HRR-1	U68233
	Tyrosin-Protein-Kinase-Rezeptor UFO	X66029
5	Colorectal-Krebs-Suppressor-Protein Präkursor (DCC)	X76132
	Vaskulär-Zellen-Adhäsions-Protein 1	X53051
	Alphal-Catenin (CTNNAL); Cadherin-assoziiertes Protein; alpha E-Catenin	D13866; D14705; L23805; L22080
10	Integrin-alpha-9 (ITGA9); Integrin-alpha-RLC interzellularer Adhäsions-Molekül-1-Präkursor (ICAM1); Hauptgruppen-Rhinovirus-Rezeptor; CD54-Antigen	D25303; L24158 J03132
15	Ras-verwandtes Protein RAB5A	M28215
	E-Selektin-Präkursor (SELE); Endothelial- Leukozyten-Adhäsions- Molekül 1 (ELAM1); Leukozyt-Endothelial-Zelladhäsion-Molekül 2 (LECAM2); CD62E Antigen	M30640
20	NADH-Ubichinon-Dehydrogenase-1-beta-Subkomplex- 7 18kDa-Untereinheit (NDUFB7); Komplex-I-B18 (CI-B18); Zelladhäsions-Protein SQM1	M33374
	Neural-Cadherin-Präkursor (N-Cadherin; NCAD); Cadherin 2 (CDH2)	M34064; X57548; X54315; S42303
25	Zelloberflächen-Adhäsionsglycoprotein LFA-1/ CR3/p150,95 beta-Untereinheit-Präkursor; LYAM1; Integrin-beta-2 (ITGB2); CD18-Antigen; Komplement-Rezeptor-C3-beta-Untereinheit	M15395
30	Fibronektin-Rezeptor alpha-Untereinheit (FNRA); Integrin-alpha 5 (ITGA5); VLA5; CD49E Antigen	X06256
	Fibronektin-Rezeptor beta-Untereinheit (FNRB); Integrin-beta-1 (ITGB1); "Very-Late" Antigen-4-beta-Untereinheit (VLA4); CD29	
35	Antigen	X07979
	Integrin-alpha-L (ITGAL); Leukozytahhäsions- Glycoprotein-alpha-Untereinheit-Präkursor; Leukozyt-funktionsassoziierte Molekül-1-alpha- Kette (LFA1); CD11A Antigen	Y00796

	Cadherin-6-Präkursor (CDH6); Nieren-Cadherin (K-Cadherin)	D31784
	Cadherin-11-Präkursor (CDH11); Osteoblast- Cadherin (OB-Cadherin); OSF4	L34056
5	Cadherin 12 (CDH12); Gehirn-Cadherin Präkursor (Br-Cadherin); neurales Cadherin 2 (N-Cadherin 2)	L34057; L33477
	Cadherin 13 (CDH13); abgestumpfter Cadherin- Präkursor (T-Cadherin); Herz-Cadherin (H-Cadherin)	L34058; U59289; U59288
10	Cadherin 3 (CDH3); Plazenta-Cadherin-Präkursor (P-Cadherin; CDHP)	X63629
	"Gap-Junction"-alpha-5-PROTEIN (Connexin 40) (CX40)	L34954
15	Involucrin	M13903
	Fibrinogen-G-gamma-Polypeptid	X51473; X02415 K02569
20	Plasma-Zellen-Membranglycoprotein PC-1; alkalische Phosphodiesterase I; Nukleotid- Pyrophosphatase (NPPase)	M57736
	Annexin V; Lipocortin V; Endonexin II; Calphobindin I (CBP-I) ; Plazenta-Antikoagulanz- protein I (PAP-I); PP4; Thromboplastin- Inhibitor; vaskulär Antikoagulanz-alpha (VAC-alpha; anchorin CII	X12454
25	Aminin-alpha-1-Untereinheit-Präkursor (LAMA1); Laminin-A-Kette	X58531
	intestinales Fettsäure-bindendes Protein 2 (FABP2; IFABP)+	
30	Leber-Fettsäure-bindendes Protein 1 (FABP1; LFABP)	M10050 + M10617
	Natrium-unabhängiger Transporter für organisches Anion; organisches Anion transportierendes Poly- peptid (OATP); SLC21A3	U21943
35	polyspezifischer Transporter für N1 (OCTN1)	AB007448
	TNF-alpha-stimuliertes ABC-Protein (TSAP)	AF027302
	Transporter-artiges Protein 2 für organisches Kation (ORCTL2)	AF037064

	Transporter für organisches Kation N2 (OCTN2)	AF057164
	MRP/Transporter für organisches Kation (MOAT-B)	AF071202
	Adrenoleukodystrophie-verwandtes Protein (ALDR)	AJ000327
	Skelettmuskel-Adenin-Nukleotid-Translokator 1 (ANT1); Herz/Skelettmuskel ADP/ATP Träger-	
5	Protein Isoform T1; ADP/ATP-Translokase 1	J02966
	"down-reguliertes" Protein in Adenoma (DRA)	L02785
	mitochondriales Entkopplungs-Protein-3 (UCP3)	AF011449
	mitochondrialer Carnitin-Palmitoyltransferase-	
10	II-Präkursor (CPTase; CPT2)	M58581
	mitochondriales "braunes Fettgewebe"-Ent-	
	kopplungs-Protein 1 (UCP1)	U28480
	Prostaglandin-Transporter (PGT); gelöstes	
	Träger-Familie-21-Mitglied 2 (SLC21A2)	U70867
15	mitochondriales Entkopplungs-Protein 2 (UCP2);	
	UCPH	U82819
	Gallensalz-Export-Pumpe (BSEP)	AF091582
	Anthracyclineresistenz-assoziiertes Protein	
	(ARA)	X95715
20	Nieren-Transporter für organisches Kation	X98333
	Mehrfachresistenz-assoziiertes Protein 3	
	(MRP3); MLP2; ABCC3	Y17151
	Antigen-Peptid-Transporter 2 (APT2); Peptid-	
	Zufuhr-Faktor 2 (PSF2); in Antigen-Processing-2	
25	involvierter Peptid-Transporter (TAP2); ATP-	
	bindendes Kassetten-Unterfamilie-B- (MBR/TAP)-	
	Mitglied 3 (ABCC3); HLA-Klasse-II-Histokompa-	
	tibilitäts-Antigen DO-beta-Ketten-Präkursor	X66401; L09191;
		L10287
30	putativer renaler Transporter-1 für organisches	
	Anion (hROAT1)	AF057039
	Chlorid-Leitfähigkeits-Regulierungs-Protein	
	ICLN; Nukleotid-sensitiver Chlorid-Kanal 1A;	
	Chloride-Ion-Strom-Induktor-Protein (CLCI);	
35	Retikulozyt PICLN	X91788
	Transporter A für neutrale Aminosäure (SATT);	
	Alanin/Serin/Cystein/Threonin-Transporter	
	(ASCT1)	L14595
	Monocarboxylat-Transporter-1 (MCT1)	L31801

	Ileal Natrium-abhängiger Gallensalz-Transporter (ISBT); Ileal Natrium/Taurocholat-cotrans-	
	portierendes Polypeptid (NTCP2); SLC10A2	U10417
5	Natrium-abhängiger Gallensalz-Cotransporter;	
	hepatisches Natrium/Taurocholat-cotrans-	
	portierendes Polypeptid (NTCP); SLC10A1	L21893
	Natrium- & Chlorid-abhängiger Glycin-	
	Transporter-1 (GLYT-1)	S70609
10	Mukoviszidose-Transmembran-Leitfähigkeits-	
	Regulator (CFTR); cAMP-abhängiger Chlorid-	
	Kanal	M28668
	kanalförmiger multispezifischer Transporter für	
	organisches Anion; Mehrfachresistenz-assozi-	
15	iertes Protein 2 (MRP2); kanalförmiges Mehrfach-	
	resistenz-assoziiertes Protein	U63970
	Transporter für organisches Kation 1	U77086
	"Gap Junction"-beta-1 Protein (Connexin 32)	
	(CX32) (Leber-"Gap Junction"-Protein)	X04325
	Cadherin 1 (CDH1); epithelialer Cadherin-	
20	Präkursor (E-Cadherin; CDHE); Uvomorulin (UVO);	
	CAM 120/80	Z13009
	geglättet; GX	U84401
	Ephrin Typ-A Rezeptor-2-Präkursor; epithelische	
	Zell-Kinase (ECK); Tyrosin-Protein-Kinase-	
25	Rezeptor ECK	M59371 M36395
	NADPH-Cytochrom-p450-Reduktase	S90469
	NCK Melanom-zytoplasmatisches-src-Homolog	
	(HSNCK)	X17576
	JV18-1. HMAD-2 oder MADR2 oder SMAD2	U68018
30	Dual-Spezifitäts-Mitogen-aktivierte Protein-	
	Kinase Kinase-1 (MAP Kinase Kinase 1; MAPKK 1;	
	MKK1); extrazelluläre Signal-regulierte Kinase 1;	
	ERK Aktivator-Kinase 1	L05624
	"c-jun"-N-terminale Kinase 1 (JNK1); JNK46	L26318
35	Mitogen-aktivierte Protein-Kinase p38 (MAP	
	Kinase p38); Cytokin-unterdrückendes	
	"anti-inflammatory"-Wirkstoff-bindendes Protein	
	(CSAID-bindendes Protein; CSBP); "MAX"-wechsel-	
	wirkendes Protein 2 (MXI2)	L35253; L35263

	Protein-Kinase C beta I (PKC-beta-1)	M27545; X06318
	Mitogen-aktivierte Protein-Kinase 9 (MAP Kinase 9; MAPK9; PRKM9); "c-jun"-N-terminale Kinase 2 (JNK2); JNK55	L31951
5	"C-jun"-N-terminale Kinase 3 alpha2 (JNK3A2); PRKM10 + MAP Kinase p493F12	U34819 + U07620
	dual-Spezifitäts-Mitogen-aktivierte Protein-Kinase Kinase 6 (MAP-Kinase Kinase 6; MAPKK 6; MKK6); MAPK/ERK-Kinase 6; SAPKK3	U39657
10	p21-aktivierte Kinase-gamma (PAK-gamma; PAK2); PAK65; S6/H4 Kinase	U24153
	Mitogen-aktivierte Protein-Kinase P38 beta (MAP Kinase P38 beta); Stress-aktivierte Protein-Kinase 2 (SAPK2)	U53442
15	MAPK/ERK-Kinase Kinase 3 (MEK Kinase 3; MEKK3) dual-Spezifitäts-Mitogen-aktivierte Protein-Kinase Kinase 2 (MAP Kinase Kinase 2; MAPKK 2); ERK-Aktivator-Kinase 2; MAPK/ERK Kinase 2 (MEK2)	U78876
		L11285
20	dual-Spezifitäts-Mitogen-aktivierte Protein-Kinase Kinase 5 (MAP Kinase Kinase 5; MAPKK 5) ribosomale Protein-S6-Kinase II alpha 1 (S6KII-alpha 1); ribosomale S6 Kinase 1 (RSK1) B-Lymphozyt-Keimzentrums-Kinase (GC Kinase)	U25265
		L07597
25	YSK1; Ste20 & SPS1-verwandte Kinase Protein-Phosphatase 2B Regulierungs-Untereinheit; Calcineurin-B-Untereinheit Isoform 1 Protein-Tyrosin-Phosphatase MEG2 (PTPASE-MEG2) Protein-Tyrosin-Phosphatase-alpha-Präkursor (R-PTP-alpha; PTPRA; PTPA) mit Diabetes assoziiertes RAS (RAD1) CDC42-Homolog; G25K GTP-bindendes Protein (Gehirn-Isoform + Plazenta-Isoform)	D63780
		M30773
		M83738
30		M34668
		L24564
		M35543 + M57298
		D86322
35	Calbindin; Avian-Typ Vitamin-D-abhängiges Calcium-bindendes Protein (CABP); D-28K Stratifin (SFN); 14-3-3 Protein Sigma; epithelisches Zellmarker-Protein 1; HME1 FKBP-Rapamycin-assoziiertes Protein (FRAP);	X06661
		AF029082

	Rapamycin-Target-Protein	L34075
	Zink-Finger-Protein 37 (ZFP37); KRAB-Region-Zink-Finger-Protein	AF022158
5	CCAAT/Enhancer-bindendes Protein Epsilon (C/EBP Epsilon; CEBPE)	U48866; U48865
	Transkriptions-initierender Faktor IID; TATA-Box-Faktor; TATA-Sequenz-bindendes Protein (TBP)	M34960
10	60S ribosomales Protein L6 (RPL6); TAX-responsives Enhancer-Element bindendes Protein 107 (TAXREB107); Neoplasma-verwandtes Protein C140	X69391
	DNA-bindendes Protein HIP116; ATPase; SNF2/SWI2-verwandtes Protein	L34673
15	"Basic" Transkriptionsfaktor-2-44-kDa-Untereinheit (BTF2p44)	Z30094
	Oktamer-bindender Transkriptionsfaktor 2 (oct-2; OTF2); Lymphoid-begrenzt Immunoglobulin-Oktamer-bindendes Protein NF-A2;	
20	POU2F2	M36542
	Zink-Finger-Protein 40 (ZNF40); menschliches Immunodefizienz-Virus-Typ-I-Enhancer-bindendes Protein 1 (HIV-EP1); Haupt-Histokompatibilitäts-Komplex bindendes Protein 1 (MBP-1);	
25	positive Regulator-Region-II-bindender Faktor 1 (PRDII-BF1)	X51435
	Nervensystem-spezifischer Oktamer-bindender Transkriptionsfaktor N-oct3; N-oct5A & N-oct5B; Gehirn-spezifisches Homöobox/POU-Region-Protein 2 (POU3F2); brn2; oct7	
30	Hypoxie-induzierbarer Faktor 1 alpha (HIF1 alpha); ARNT-wechselwirkendes Protein; Mitglied von PAS-Protein 1 (MOP1)	Z11933
	CCAAT/Enhancer-bindendes Protein alpha (C/EBP alpha)	U22431
35	Homeöobox-Protein MOX-2 (Wachstums-Arrest-spezifische Homöobox)	U34070
	endothelialer Transkriptionsfaktor GATA2	X82629
	DNA-bindender Protein-Inhibitor Id-2	M68891
		M97796

	aktivierender Transkriptionsfaktor 4 (ATF4); Tax-responsives Enhancer-Element B67 (TAXREB67); cAMP-Response-Element-bindendes Protein 2 (CREB2)	D90209
5	Hitzeschockfaktor-Protein 1 (HSF1); Hitze- schock-Transkriptionfaktor 1 (HSTF1); TCF5 FK506-bindender Protein-13-Präkursor (FKBP13); FKBP2; Peptidyl-Prolyl-cis-trans-Isomerase (PPIase)	M64673 M65128
10	cAMP-Response-Element-bindendes Protein (CRE-BP1); Transkriptionfaktor ATF2; HB16	M31630
	cAMP-Response-Element-bindendes Protein (CREB)	M34356
15	Anfangswachstums-Response-Protein 1 (EGR1); Transkriptionsfaktor ETR103; KROX24; Zink- Finger-Protein 225 (ZNF225); AT225 Tristetraprolin (TTP); TIS11; ZFP36; Wachstums- faktor-induzierbares Kern-Protein 475 (NUP475)	X52541; M62829 M92843
20	Purin-reiches einzelsträngige-DNA-bindendes Protein alpha (PURA)	M96684
	Transkriptionsfaktor-relB; I-rel zyklisches-AMP-abhängiger Transkriptions- faktor ATF-3 (aktivierender Faktor FACTOR 3)	M83221 L19871
25	Oktamer-bindender Transkriptionsfaktor 1 (oct-1; OTF1); Oktamer-bindendes Protein NF-A1; POU2F1	X13403
	B-Zellen-Lymphoma-3-kodierendes Protein (bcl-3)	M31732
30	Retinsäure-Rezeptor gamma 1 (RAR-gamma 1; RARG)	M24857; M38258; M57707; M32074
	PRB-bindendes Protein E2F1; Retinoblastom- bindendes Protein 3 (RBBP3); Retinoblastom- assoziiertes Protein 1 (RBAP1); PBR3	M96577
35	Retinsäure-Rezeptor alpha; Retinoid-X-Rezeptor alpha (RXRA)	X52773
	Haupt-Histokompatibilitäts-Komplex-Enhancer- bindendes Protein MAD3	M69043
	fusionierend-bindendes Protein 2 (FBP2)	U69126
	Methyl-CpG-bindendes Protein 2 (MECP2)	L37298

	AP4 "basic" Helix-Loop-Helix DNA-bindendes Protein	S73885
	Hepatozyt-Kern-Faktor 4 (HNF4); Transkriptionsfaktor 14	X76930
5	Metall-Regulator-Transkriptionsfaktor	X78710
	Cockayne-Syndrom Gruppe A; WD-Repeat-Protein (CSA-Protein)	U28413
	RNase-L-Inhibitor	X76388
	40S ribosomales Protein S5	U14970
10	Glutamat-Pyruvat-Transaminase 1 (GPT1); Alanin-Aminotransferase 1 (AAT1)	D10355
	Peptidylprolyl-cis-trans-Isomerase A (PPIase; PPIA); Rotamase; Ciclophilin A (CYPA); Cyclosporin-A-bindendes Protein	Y00052
15	wahrscheinlicher Protein-Disulfid-Isomerase-ER-60-Präcursor (ERP60); 58-kDa mikrosomales Protein; Phospholipase C alpha	D16234; Z49835; D83485; U42068
20	HSC70-wechselwirkendes Protein; Progesteron-Rezeptor-assoziiertes-P48-Protein	U28918
	Chaperonin-enthaltende T-Komplex-Polypeptid-1-beta-Untereinheit (CCT-beta; CCTB; CCT2; TCP1-beta); 99D8.1	AF026293
25	Peroxisom-Assembly-Faktor-2 (PAF-2); Peroxisomal-Typ ATPase 1; Peroxin-6; PEX6; PXAAA1	U56602
	zelluläres Retinsäure-bindendes Protein	S74445
	Endothelin-umwandelndes Enzym 1	Z35307
30	Matrix-Metalloproteinase-14-Präcursor (MMP14); MMP-X1; Membran-Typ Matrix-Metalloproteinase 1 (MT-MMP1)	D26512; X83535
	Bleomycin-Hydrolase (BLM Hydrolase)	X92106
	Proteasom-Aktivator-HPA28-Untereinheit beta	D45248
	Plazenta-Plasminogen-Aktivator-Inhibitor 2 (PAI-2; PLANH2); Monozyt ARG-Serpin; Urokinase-Inhibitor	M18082; J02685
35	alpha-2-Makroglobulin-Präcursor (alpha-2-M) Gewebs-Inhibitor des Metalloproteinase 1 Präkursors (TIMP1); Erythroid-potentierende	M11313

	Aktivität (EPA); Fibroblast-Kollagenase-Inhibitor	X03124
	alpha-1-Antichymotrypsin-Präkursor (ACT)	K01500
5	alpha-1-Antitrypsin-Präkursor; alpha-1-Protease-Inhibitor; alpha-1-Antiproteinase-DNA-bindendes Protein A (DBPA); Kälteschock-Region-Protein A (CSDA)	X02920
	Decoy-Rezeptor 3 (DCR3)	M24069
10	T-Komplex-Protein 1 zeta-artige Untereinheit (CCT-zeta-artig; TCP1-zeta-artig); TSA303; Testikel-spezifisch TCP20#	AF104419
	Chromatin-Assembly-Faktor-1-p48-Untereinheit (CAF1 p48-Untereinheit); Retinoblastom-bindendes Protein 4 (RBBP4); RBAP48; msil	D78333
15	Protein-Homolog	X74262
	High-Mobility-Group-Protein HMG2	X62534
	DNA-bindendes Protein UEV-1; UBE2V	U49278
	Aktivator-1-140-kDa-Untereinheit (A1 140-kDa-Untereinheit); Replikationsfaktor C "large"-Untereinheit; DNA-bindendes Protein PO-GA	L14922
20	Replikationsfaktor-C-36-kDa-Untereinheit (RFC36); Aktivator-1-36-kDa-Untereinheit	L07540
	Replikationsfaktor-C-38-kDa-Untereinheit (RFC38); Aktivator-1-38-kDa-Untereinheit	L07541
25	Replikations-Protein-A-70-kDa-Untereinheit (RPA70; REPA1; RF-A); einzelsträngige-DNA-bindendes Protein	M63488
	Aktivator-1-40-kDa-Untereinheit (A1-40-kDa-Untereinheit); Replikationsfaktor-C-40kDa-Untereinheit (RFC40); RFC2	M87338
30	Aktivator-1-37kDa-Untereinheit; Replikationsfaktor-C-37kDa-Untereinheit (RFC37); RFC4	M87339
	DNA-Topoisomerase I (TOP1)	J03250
	DNA-Topoisomerase II alpha (TOP2A)	J04088
35	proliferierendes zyklisches Kern-Antigen (PCNA); Zyklin	M15796; J04718
	DNA-Topoisomerase II beta (TOP2B)	X68060
	Replikations-Protein-A-14kDa-Untereinheit (RP-A) (RF-A); Replikationsfaktor-A-Protein 3	L07493

DNA-Nukleotidylexotransferase; terminales
Additionions-Enzym; terminale Deoxynucleotidyl-
transferase (TDT); terminale Transferase; DNNT M11722; K01919
DNA-Polymerase delta katalytische Untereinheit M80397
5 DNA-Topoisomerase III (TOP3) U43431
"excision repair cross-
complementing rodent repair deficiency
complementation group 6"
(ERCC6); Cockayne-Syndrom-Protein 2 Typ B
10 (CSB) L04791
Xeroderma-Pigmentosum Gruppe G komplementieren-
des Protein (XPG); "X-ray repair-complementing
defective repair in Chinese hamster cells 5"
(XRCC5) L20046; X69978
15 Ku-(p70/p80)-Untereinheit; ATP-abhängige DNA-
Helicase-II-86kDa-Untereinheit; Lupus-ku-
Autoantigen-Protein; Thyroid-Lupus-Autoantigen
(TLAA); CTC-Box-bindende Faktor-85kDa-Unter-
einheit (CTCBF; CTC85); Kern-Faktor IV M30938
20 Xeroderma-Pigmentosum-Gruppe B komplementieren-
des Protein (XPB); „excision repair cross-
complementing rodent repair deficiency
complementation group 3“ (ERCC3); basilare
Transkriptionsfaktor-2-89kDa-Untereinheit
(BTF2-p89; TFIIB-89kDa-Untereinheit) M31899
25 Ku-70kDa-Untereinheit; ATP-abhängige DNA-
Helicase-II-70kDa-Untereinheit; Lupus-ku-
Autoantigen-Protein P70; Thyroid-Lupus-Auto-
Antigen (TLAA); CTC-Box-bindende Faktor-
75kDa-Untereinheit (CTC75) M32865; S38729
30 "X-ray repair-complementing defective repair
in Chinese hamster cells 1" (XRCC1) M36089
Ubiquitin-konjugierendes Enzym E2 17-kDa
UBE2A); Ubiquitin-Protein-Ligase; Ubiquitin-
35 Träger-Protein; HR6A M74524
DNA-Polymerase alpha katalytische Untereinheit
(POLA) X06745
6-O-Methylguanine-DNA-Methyltransferase (MGMT);

	methylierte-DNA-Protein-Cystein-Methyltransferase	M29971
5	Xeroderma-Pigmentosum Gruppe D komplementierendes Protein (XPD); "X-ray repair-complementing defective repair in Chinese hamster cells 2" (XRCC2)	X52221
10	"excision repair cross-complementing rodent repair deficiency complementation group 1" (ERCC1)	M13194
15	mutL-Protein-Homolog (MLH1); Kolon-Krebs-Nonpolyposis-Typ-2-Protein (COCA2)	U07418
20	UV-Exzisionsreparatur-Protein RAD23-Homolog B (HHR23B); Xeroderma-Pigmentosum Gruppe C Reparatur-komplementierender Komplex 58-kDa ProteinD21090 HHR23A; UV-Exzisionsreparatur-Protein Protein RAD23A	D21235
25	DNA-abhängige Protein-Kinase (DNA-PK) + DNA-PK katalytische Untereinheit (DNA-PKCS)	U35835 + U47077
30	DNA Schadens-Reparatur- & Rekombinations-Protein 52 (RAD52)	U12134
35	Ataxia Telangiectasia (ATM)	U33841
	RAD50	U63139
	DNA-Ligase IV (LIG4); Polydeoxyribonukleotid-Synthase	X83441
25	DNA-Ligase III (LIG3); Polydeoxyribonukleotid-Synthase	X84740
	DNA-"Mismatch"-Repair-Protein MSH2	U04045; L47583
	DNA-"Mismatch"-Repair-Protein MSH6; mutS-alpha-160kDa-Untereinheit; G/T "Mismatch"-bindendes Protein (GTMBP; GTBP)	U54777
	RecQ Protein-artig (DNA-Helicase Q1-artig)	D37984
	DNA Polymerase-beta-Untereinheit (DPOB)	D29013
	DNA-"Mismatch"-Reparatur-Protein PMS1 (PMS1 - Protein-Homolog 1)	U13695
	DNA-"Mismatch"-Reparatur-Protein PMS2 (PMS1- Protein-Homolog 2)	U13696
	ATP-abhängige DNA-Ligase I (LIG1); Polydeoxyribonukleotid-Synthase	M36067
	Xeroderma-Pigmentosum-Gruppe-A-komplemen-	

	tierendes Protein (XPA)	D14533
	Schädigungs-spezifische DNA-bindende Protein-p48-Untereinheit (DDBB P48); in Zusammenhang mit Xeroderma Pigmentosum Gruppe E (DDB2)	U18300
5	DNA-Reparatur-Protein XRCC4	U40622
	G/T-"Mismatch"-spezifische Thymin-DNA-Glycosylase (TDG)	U51166
	DNA-Reparatur-Protein XRCC9	U70310
	Endonuklease-III-Homolog 1; HNTH1; OCTS3	U79718
10	DNA-Reparatur-Protein komplementierende XP-C-Zellen; Xeroderma Pigmentosum Gruppe C komplementierendes Protein (p125)	D21089
	Uracil-DNA-Glycosylase-Präkursor (UNG1)	X15653
	DNA-(apurinische oder apyrimidinische Stelle) Lyase; AP-Endonuklease 1 (APE1); apurinische / apyrimidinische Endonuklease (APEX); APEX Nuklease (APEN); REF1	X59764; X66133
15	DNA-Reparatur-Protein-RAD54-Homolog recA-artiges Protein HsRad51; DNA-Reparatur-Protein RAD51-Homolog	X97795
20	V(D)J Rekombinations-aktivierendes Protein 2 (RAG2)	D13804
	V(D)J Rekombinations-aktivierendes Protein 1 (RAG1)	M94633
25	Muskel-spezifischer DNase-I-artiger Präkursor (DNase1L1; DNL1L); DNase X	X90392; L40817; U06846
	Deoxyribonuklease I (DNase I)	M55983
	dual-Spezifitäts-Protein-Phosphatase 9;	
30	Mitogen-aktivierte Protein-Kinase-Phosphatase 4 (MAP-Kinase-Phosphatase 4 (MKP4))	Y08302
	G1/S-spezifisches Cyclin D3 (CCND3)	M92287
	G1/S-spezifisches Cyclin D1 (CCND1); Cyclin-Parathyreoid-Adenomatose 1 (PRAD1); bcl-1	
35	Onkogen	X59798
	G1/S-spezifisches Cyclin D2 (CCND2) + KIAK0002	M90813 + D13639
	G2/Mitose-spezifisches Cyclin B1 (CCNB1)	M25753
	G1/S-spezifisches Cyclin E (CCNE)	M73812
	G2/Mitose-spezifisches Cyclin G1 (CCNG1; CYCG1)	U47413

	G1/S-spezifisches Cyclin C	M74091
	Cyclin K	AF060515
	Protein-Serin/Threonin-Kinase STK1; Zellteilungs-Protein-Kinase 7 (CDK7);	
5	CDK-aktivierende Kinase (CAK); 39kDa-Protein-Kinase	L20320
	Cyclin-abhängige Protein-Kinase 2 (CDK2); p33-Protein-Kinase	M68520
	extrazelluläre Signal-gesteuerte Kinase 2 (ERK2); Mitogen-aktivierte Protein-Kinase 2 (MAP Kinase 2; MAPK 2); p42-MAPK	M84489
10	Mitogen-aktivierte Protein-Kinase 3 (MAPK3; PRKM3); MAPK1; extrazelluläre Signal-gesteuerte Kinase 1 (ERK1); Mikrotubulus-assoziierte Protein-2-Kinase; Insulin-stimulierte MAP2	
15	Kinase	X60188
	extrazelluläre Signal-gesteuerte Kinase 3 (ERK3); MAP-Kinase 3 (MAPK3; p97-MAPK); PRKM5	X80692
20	CDC-artige Kinase 3 (CLK3)	L29220
	Zellteilungs-Protein-Kinase 4; Cyclin-abhängige Kinase 4 (CDK4); PSK-J3	M14505
	extrazelluläre Signal-gesteuerte Kinase 5 (ERK5); BMK1-Kinase	U25278
25	Zellteilungs-Kontroll-Protein-2-Homolog (CDC2); p34-Protein-Kinase; Cyclin-abhängige Kinase 1 (CDK1)	X05360
	extrazelluläre Signal-gesteuerte Kinase 4 (ERK4); MAP-Kinase 4 (MAPK4; p63-MAPK); PRKM4	X59727
30	Zellteilungs-Protein-Kinase 5 (CDK5); tau-Protein-Kinase II katalytische Untereinheit (TPKII katalytische Untereinheit); Serin/Threonin-Protein-Kinase PSSALRE	X66364
	extrazellulär Signal-gesteuerte Kinase 6 (ERK6); Stress-aktivierte Protein Kinase-3; Mitogen-aktivierte Protein-Kinase p38 gamma; (MAP-Kinase p38 gamma)	
35	Serin/Threonin-Protein-Kinase PLK1 (STPK13)	U01038
	"Checkpoint"-Kinase 1 (CHK1)	AF016582

	Aurora- & IPl1-artige "Midbody"-assoziierte Protein-Kinase 1 (AIM1); ARK	AF008552
	Cyclin-G-assoziierte Kinase (GAK)	D88435
	besonders AT-reiche Sequenz bindendes Protein 1 (SATB1); MAR/SAR-DNA-bindendes Protein	M97287
5	Cyclin-abhängiger Kinase-Inhibitor 1A (CDKN1A); Melanom-Differenzierungs-assoziiertes Protein 6 (MDA6); CDK-wechselwirkendes Protein 1 (CIP1); WAF1; SDI1	U09579; L25610
10	wee1Hu-CDK-Tyrosin-15-Kinase; wee-1-artige Protein-Kinase	U10564
	Cyclin-abhängiger Kinase-4-Inhibitor 2B (CDKN2B); p14-INK4B; Polytumor-Suppressor 2 (MTS2)	U17075; L36844
15	Helix-Loop-Helix-Protein HLH 1R21; DNA-bindender Protein-Inhibitor Id-3; HEIR-1	X69111
	DNA-bindender Protein-Inhibitor ID-1; Id-1H	D13889
	Prothymosin alpha (PROT-alpha; PTMA)	M26708
20	40S ribosomales Protein S19 (RPS19)	M81757
	p55CDC	U05340
	Zellteilungszyklus-Protein 25A (CDC25A); M-Phasen-Induktor-Phosphatase 1	M81933
	CDC25B; CDC25HU2; M-Phasen-Induktor-Phosphatase 2	M81934; S78187
25	CDC25C; M-Phasen-Induktor-Phosphatase 3	M34065
	Wachstumsinhibitor-Faktor (GIF); Metallothionein-III (MT-III; MT3)	D13365; M93311
	CDC37 Homolog	U63131
30	Zellzyklus-Protein-P38-2G4-Homolog; HG4-1	U59435
	btg-Protein-Präkursor; NGF-induzierbares anti-proliferatives Protein PC3	U72649
	RCL Wachstums-verwandtes c-myc-Responsiv-Gen	AF040105
	40kDa-Hitzeschock-Protein 1 (HSP40); DNAJ-Protein-Homolog 1 (HDJ1; DNAJ1)	D49547
35	60kDa-Hitzeschock-Protein (HSP60); HSPD1; 60kDa-Chaperonin; mitochondrialer Matrix-Protein-P1-Präkursor; p60 Lymphozyt-Protein; HUCHA60; GROEL	M34664

	90kDa-Hitzeschock-Protein A (HSP90A); HSP86;	
	HSPCA	X07270
	27kDa-Hitzeschock-Protein (HSP27); Stress-	
	responsives Protein 27 (SRP27); Estrogen-	
5	gesteuertes 24kDa-Protein; HSPB1	X54079
	70kDa-Hitzeschock-Protein 1 (HSP70.1; HSPA1)	M11717
	Hitzeschock-70kDa-Protein 6 (Hitzeschock-	
	70kDa-Protein B)	X51757; M11236
	Hitzeschock-Cognat-71kDa-Protein; Hitzeschock-	
10	70kDa-Protein 8 (HSPA8; HSC70); HSP73	Y00371
	Hitzeschock-verwandtes 70kDa-Protein 2	L26336
	Haupt-Gewölbe-Protein (MVP); Lungen Resistenz-	
	verwandtes Protein (LRP)	X79882
	Thiosulfat-Sulfurtransferase; Rhodanese	D87292
15	lösliche Epoxid-Hydrolase (SEH); Epoxid-	
	Hydratase; zytosolische Epoxid-Hydrolase	
	(CEH); EPHX2	L05779
	Serum-Paraoxonase/Arylesterase 1 (PON1);	
	Serum-Aryldiakylphosphatase 1; aromatische	
20	Esterase 1 (A-Esterase 1)	M63012
	polymorphe Arylamin-N-Acetyltransferase	
	(PNAT) + monomorphe (MNAT)	X14672; X17059
	Chinon-Oxidoreduktase; NADPH:Chinon-Reduktase;	
	Zeta-Crystallin (CRYZ)	L13278; S58039
25	zytosolische Superoxid-Dismutase 1 (SOD1)	K00065; X02317
	Cytochrom P450 IIB1 (CYP1B1)	U03688
	Cytochrom P450 IIA6 (CYP2A6) + CYP2A7 + CYP2A13	
	+ CYP2A7PT + CYP2A7PC M33318; M33316 + U22029	
	+ U22030 + U22044 Cytochrom P450 IIB6	
30	(CYP2B6) + CYP2B3	M29874; J02864
	Cytochrom P450 IIIA3 (CYP3A3) + CYP3A4 + CYP3A5	
	+ CYP3A7 M13785 + M18907 + J04813 + D00408	
	Cytochrom P450 IVA11 (CYP4A11)	L04751
	Cytochrom P450 VIIA1 (CYP7A1)	X56088
35	D-Aminosäure-Oxidase (DAMOX; DAO; DAAO)	X13227
	S-Mephenytoin-4-Hydroxylase; Cytochrom	
	P450 IIC9 (CYP2C9) + CYP2C10 + CYP2C17 +	

	CYP2C18 + CYP2C19	M21940 + M15331; M21939 + M61858 + M61854
5	Cytochrom P450 IIE1 (CYP2E1)	J02625
	Cytochrom P450 IIF1 (CYP2F1)	J02906
	Cytochrom P450 IVB1 (EC 1.14.14.1) (P450-HP)	J02871
	Cytochrom P450 IA2 (P450-P3) (P450-4)	Z00036
	Plasma-Glutathion-Peroxidase-Präkursor (GPXP; GPX3)	D00632; X58295
10	natürliche Killerzellen verstärkender Faktor (NKEFB) + Thiol-spezifisches Antioxidans-Protein (TSA); Thioredoxin-Peroxidase 1 (TDPX1); Thiore- doxin abhängige Peroxid-Reduktase 1	L19185 + Z22548; X82321
15	Thioredoxin-Peroxidase 2 (TDPX2); Thioredoxin- abhängige Peroxid-Reduktase 2; Proliferation- assoziiertes Gen (PAG); natürliche Killerzellen verstärkender Faktor A (NKEFA)	X67951
	Glutathion-Reduktase (GRase; GSR; GR)	X15722
20	microsomale Glutathion-S-Transferase 12 (GST12; MGST1)	J03746; B28083
	Glutathion-S-Transferase pi (GSTP1; GST3)	X08058; M24485
	Glutathion-Peroxidase (GSHPX1; GPX1)	Y00483; M21304
	Glutathion-S-Transferase theta 1 (GSTT1)	X79389
25	Methallothionein IH (MT1H); Metallothionein0 (MT0) + MT1I; MT2 + MT1L + MT1R	X64177 + X97260 + X76717 + X97261
	Glutathion-Peroxidase-Gastrointestinal (GSHPX-GI); Glutathion-Peroxidase-verwandtes Protein 2 (GPRP)	X53463
30	Häm-Oxygenase 1 (HO1); HSOXYGR	X06985
	Häm-Oxygenase 2 (HO2)	D21243; S34389
	Dimethylanilin-Monooxygenase (N-Oxide bildend) 1 (EC 1.14.13.8); fetal hepatische Flavin-	
35	enthaltende Monooxygenase 1 (FMO 1); Dimethyl- anilin-Oxidase 1	M64082
	Glutathion-S-Transferase mul (GSTM1; GST1); HB-Untereinheit 4; GTH4	X68676; S01719

	Glutathion-S-Transferase A1 (GTH1; GSTA1); HA-Untereinheit 1; GST-epsilon	M25627
	Glutathion-S-Transferase (GST)-Homolog	U90313
	Glutathion-Synthetase (GSH-Synthetase; GSH-S); 5 Glutathion-Synthase	U34683
	NAD(P)H-Dehydrogenase; Chinon-Reduktase; DT- Diaphorase; Azoreductase; Phyllochinon- Reduktase; Menadion-Reduktase	J03934
10	Wachstumsstillstand- & DNA-Schädigung-induzier- bares Protein (GADD45); DNA-Schädigung-induzierbares Transkript 1 (DDIT1)	M60974
	Tumor-Nekrose-Faktor-alpha-Präkursor (TNF-alpha; TNFA); Cachectin	X01394
15	Lymphotoxin-alpha-Präkursor (LT-alpha); Tumor- Nekrose-Faktor-beta (TNF-beta; TNFB) fas-Antigen-Ligand (FASL); Apoptosis-Antigen- Ligand (APTL; APT1LG1); TNFSF6	D12614 D38122; U08137
	Tumor-Nekrose-Faktor-Rezeptor (TNFR) + Tumor- Nekrose-Faktor Rezeptor 2 (TNFR2); Tumor- Nekrose-Faktor-bindendes Protein 2 (TBP2)	M32315 + M55994
20	Tumor-Nekrose-Faktor-Rezeptor 1 (TNFR1); Tumor- Nekrose-Faktor-bindendes Protein 1 (TBP1); CD120A-Antigen	M33294
	fasL-Rezeptor; Apoptosis-unterstützendes Oberflächen-Antigen fas; APO-1-Antigen; CD95-Antigen	M67454
	Retinsäure-Rezeptor beta (RXR-beta; RXRB)	M84820; X63522; S54072
25	Tumor-Nekrose-Faktor-Rezeptor-1-assoziiertes "Death"-Domain-Protein (TNFR1-assoziiertes "Death"-Domain-Protein; TRADD)	L41690
	CD27BP (Siva)	U82938
	Tumor-Nekrose-Faktor Typ-1-Rezeptor-assozi- iertes Protein (TRAP1)	U12595
30	Caspase-2-Präkursor (CASP2); ICH-1L-Protease + ICH-1S-Protease	U13021 + U13022
	Interleukin-1-beta-Convertase-Präkursor (IL-1BC); IL-1-beta-umwandelndes-Enzym (ICE); p45;	

	Caspase-1 (CASP1)	U13699; M87507; X65019
	Caspase-6-Präkursor (CASP6); Cysteine-Protease MCH2-Isoformen alpha + beta	U20536 + U20537
5	Caspase-4-Präkursor (CASP4); ICH-2-Protease; TX-Protease; ICE(REL)-II + Caspase-5-Präkursor (CASP5); ICH-3-Protease; TY-Protease; ICE(REL)-III	U28014 + U28015
10	Caspase-7-Präkursor (CASP7); ICE-artige apoptotische Protease 3 (ICE-LAP3); apoptotische Protease MCH-3; CMH-1	U37448
	TNF-verwandter Apoptosis-induzierender Ligand (TRAIL); APO-2-Ligand (APO2L)	U57059
15	Caspase-8-Präkursor (CASP8); ICE-artige apoptotische Protease 5 (ICE-LAP5); MORT1- assoziiertes CED-3-Homolog (MACH); FADD-Homolog ICE/CED-3-artige Protease (FADD-artige ICE; FLICE); apoptotische Cysteine-Protease MCH-5	U60520; U58143; X98172; AF00962
20	Apoptosis-Regulator bax	L22474
	Apoptosis-Regulator bcl-x	Z23115; L20121; L20122
	Apoptosis-Regulator bcl-2	M14745
25	NIP3 (NIP3)	U15174
	bcl2 homologer Antagonist/Killer (BAK)	U23765; U16811; X84213
	induziertes myeloid Leukämiezellen-Differentiations-Protein MCL-1	L08246
30	BAD-Protein; bcl-2-bindende Komponente 6 (BBC6); bcl-2L8	U66879
	BCL-2-bindendes Athanogen-1 (BAG-1); Glucocorticoid-Rezeptor-assoziiertes Protein RAP46	S83171; Z35491
35	Interferon-induzierbare RNA-abhängige Protein-Kinase (P68 Kinase)	M35663; U50648
	induzierbare Stickstoffmonoxid-Synthase (INOS); Typ II NOS; Hepatozyt NOS (HEP-NOS)	L09210
	Verteidiger gegen Zelltod 1 (DAD1)	D15057

Clusterin-Präkursor (CLU); Komplement-assoziertes Protein SP-40; Komplement-Lysis-Inhibitor (CLI); Apolipoprotein J (APOJ); Testosteronereprimiertes Prostata-"Message" 2 (TRPM2);
 5 sulfatiertes Glyco-protein 2 (SGP2) M74816
 Wachstummsstilstand- & DNA-Schädigung-induzierbares Protein 153 (GADD153); DNA-Schädigungs-induzierbares Transkript 3 (DDIT3); C/EBP homologes Protein (CHOP) S40706; S62138
 10 Inhibitor des Apoptosis-Protein 1 (HIAP1; API1)
 + IAP-Homolog C; TNFR2-TRAF Signalstoff-Komplex-Protein 1; MIHC U45878 + U37546
 Zytoplasmatische Dynein "light chain" 1 (H DLC1);
 Protein-Iinihibitor neuronaler Stickstoffmonoxid-Synthase (PIN) U32944
 Apoptosis-Inhibitor "survivin" U75285
 Sentrin; Ubiquitin-artiges Protein SMT3C;
 Ubiquitin-Homologie-Region-Protein PIC1; UBL1;
 SUMO-1; GAP modifizierendes Protein 1; GMP1 U83117
 15 IEX-1L Anti-"Death"-Protein; PRG-1; DIF-2 AF039067;
 AF071596
 Poly(ADP-Ribose) Polymerase (PARP; PPOL);
 ADPRT; NAD+ ADP-Ribosyltransferase; Poly(ADP-Ribose) Synthetase M18112; J03473
 20 Avian Myelocytomatose virales Onkogene-Homolog (MYC) V00568
 p53-assoziiertes mdm2-Protein Z12020; M92424
 aus Blutplättchen gewonnener Wachstumsfaktor B
 Untereinheit-Präkursor (PDGFB; PDGF2);
 25 Bacaplermin; c-sis X02811; X02744;
 M12783; M16288
 p53 zelluläres Tumor-Antigen M14694; M14695
 MYB-verwandtes Protein B (B-MYB); Avian Myeloblastose virales Onkogen-Homolog-artige 2
 30 (MYBL2) X13293
 Triiodothyronin-Rezeptor; Thyroid-Hormon-Rezeptor (THRA1); v-erbA-verwandtes Protein
 Protein ear-1 M24898
 "jun" Proto-Onkogen; Avian-Sarkoma-Virus-17-

	Onkogen-Homolog; Transkriptionsfaktor AP-1	J04111
	Insulin-artigen Wachstumsfaktor bindendes Protein 2 (IGFBP2)	M35410
5	c-myc Purin-bindender Transkriptionsfaktor puf; Nukleosid-Diphosphat-Kinase B (NDP-Kinase B; NDKB) + nm23-H2S	L16785 + M36981
	Abelson-Murine-Leukämie virales Onkogen-Homolog 1 (ABL1)	M14752
10	Retinoblastom-assoziertes Protein (RB1); PP110; P105-RB	M15400
	L-myc Proto-Onkogene (MYCL1)	M19720
	Brustkrebs-Typ-2-Suszeptibilitäts-Protein (BRCA2)	U43746
	fos-verwandtes Antigen (FRA1); fosL1	X16707
15	Nukleus-Phosphoprotein B23; Nukleophosmin (NPM); Numatrin	M23613
	c-myc-bindendes Protein MM-1	D89667
	c-fos-Proto-Onkogen; G0S7 Protein	K00650
	met-Proto-Onkogen; Hepatozyt-Wachstumsfaktor-Rezeptor-Präkursor (HGF-SF Rezeptor)	J02958
20	Nukleosid-Diphosphate-Kinase A (NDKA); NDP-Kinase A; Tumor-metastatischem Prozess-assoziertes Protein; Metastase-Inhibitions-Faktor NM23 (NM23-H1)	X17620
	Matrix-Metalloproteinase 11 (MMP11); Stromelysin 3	X57766
	Box-abhängiges myc-wechselwirkendes Protein 1	U68485
	H-ras-Proto-Onkogen; transformierendes G-Protein	V00574
25	Protein-Tyrosin-Phosphatase PTEN; mutiert in verschiedenen fortgeschrittenen Krebsen 1 (MMAC1); TEP1	U92436
	Prostaglandin-G/H-Synthase-2-Präkursor (PGH-Synthase-2; PGHS2; PTGS2); Cyclooxygenase 2 (COX2); Prostaglandin-Endoperoxid-Synthase 2	M90100
30	78-kDa Glucose-regulierter Protein-Präkursor (GRP 78); Immunoglobulin-"heavy chain"-bindendes Protein (BIP)	M19645

	Komplement 3 (C3)	K02765
	Interleukin-10-Präkursor (IL-10); Cytokin-Synthese-Hemmefaktor (CSIF)	M57627
5	Thioredoxin (TRDX; TXN); ATL-abgeleiteter Faktor (ADF); Oberflächen-assoziiertes Sulphydrylprotein (SASP)	J04026
	Enolase 1 alpha (ENO1); nicht-neurale Enolase (NNE); Phosphopyruvat-Hydratase (PPH)	M14328
	Biliverdin-Reduktase-A-Präkursor (BLVRA; BVR)	U34877
10	Tyrosin-Aminotransferase (TAT); I-Tyrosin:2-Oxoglutarateaminotransferase	X52520
	Mskel-spezifische Kohlensäure-Anhydrase III (CA3); Carbonat- Dehydratase III	M29458
	Spermidine/Spermamine-N1-Acetyltransferase (SSAT); Diamine-Acetyltransferase; Putrescina-Cetyl-transferase	M55580
15	L-Lactate-Dehydrogenase-H-Untereinheit (LDHB)	Y00711
	Phosphoglycerid-Kinase 1 (PGK1; PGKA); Primer-Erkenungs-Protein 2 (PRP2)	V00572
20	Glucose-6-Phosphat-Dehydrogenase (G6PD)	X03674
	mitochondriale Phosphoenolpyruvat-Carboxykinase-2-Präkursor (PEPCK-M; PCK2); Phosphoenol-pyruvat-Carboxylase	X92720
	Galactosid 2-1-Fucosyltransferase 2; GDP-1-Fucose:beta-D-Galactosid 2-alpha-1-Fucosyl-transferase 2; Fucosyltransferase 2 (FUT2); Sekretor Blutgruppe alpha-2-Fucosyl-transferase; Sekretor Faktor 2 (SE2)	D87942
25	Galactosyltransferase-assoziierte Protein-Kinase p58 (GTA); Zellteilungszyklus-2-artige 1 (CDC2L1; CLK1)	M37712
	Adrenodoxin	M34788
	Alkohol-Dehydrogenase-alpha-Untereinheit + Alkohol-Dehydrogenase 2 + Alkohol-Dehydrogenase 3	M12271 + D00137 + X04299
	Alkohol-Dehydrogenase-5-chi-Polypeptid	M30471
	Alkohol-Dehydrogenase-Klasse-II-pi-Untereinheit	M15943
	Creatin-Kinase B-Kette	L47647

	Fettsäure-	S80437
	hepatische Triglycerid-Lipase (HTGL)	X07228
	Gallensalz-aktivierte Lipase	M85201; M37044
	mitochondriale Enoyl-CoA-Hydratase kurze	
5	Untereinheit 1	D13900
	peroxisomales bifunktionales Enzym	L07077
	peroxisomale Acyl-CoA-Oxidase-verzweigte-	
	Untereinheit (BCOX)	X95190
10	Acyl-CoA-Dehydrogenase-"long-chain-spezifischer	
	Präkursor (LCAD; ACADL)	M74096
	Alkohol-Sulfotransferase	L20000
	Estradiol-17-beta-Dehydrogenase 1	M36263
	Cytochrom P450 XVIIA1 (CYP17A1)	M14564
	peroxisomaler 3-Ketoacyl-CoA-Thiolase-Präkursor	
15	(PTHIO); peroxisomale 3-Oxoacyl-CoA-Thiolase;	
	beta-Ketothiolase; Acetyl-CoA-Acyltransferase	
	(ACAA)	X14813
	3-Hydroxy-3-Methylglutaryl-CoEnzym-A-Reduktase	
	(HMG-CoA Reduktase; HMGCR)	M11058
20	Lipoprotein-Lipase-Präkursor (LPL)	M15856
	Lunge Gruppe IB Phospholipase-A2-Präkursor	
	(PLA2); Phosphatidylcholin-2-Acylhydrolase	M21054
	mitochondrialer Cytochrom-P450-XIA1-Präkursor;	
	P450 (SCC); Cholesterol-Seiten-Kette-Spaltungs-	
25	Enzym; Cholesterol-Desmolase CYP11A1	M14565
	Dihydrofolat-Reduktase (DHFR)	V00507
	Thymidylat-Synthase (TYMS; TS)	X02308
	zytosolische Thymidin-Kinase (TK1)	K02581
	Ribonucleosid-Diphosphat-Reduktase-M1-Unter-	
30	einheit; Ribonukleotid-Reduktase	X59543
	microsomale UDP-Glucuronosyltransferase-2B15-	
	Präkursor (UDPGT); UDPGTH-3; UGT2B15 + microso-	
	maler 2B10-Präkursor (UDPGT); UGT2B10 +	
	2microsomal B8 Präkursor	U08854; X63359;
35		U06641; J05428;
		Y00317
	GLCLC, GLCL (Glutamat-Cystein-Ligase kata-	
	lytische Untereinheit, gamma-Glutamylcystein-	
	Synthetase)	M90656

	gamma-Glutamyl-Hydrolase-Präkursor (GGH; GH); Folyl-polygammaglutamyl-Hydrolase; gamma-glu-X Carboxy-peptidase; Conjugase	U55206
5	3'-Phosphoadenosin-5'-Phosphosulfat-Synthase 1 (PAPS-Synthase 1; PAPSS1); PAPS-Synthetase 1; Sulfurylase-Kinase 1 (SK1)	Y10387
	lösliche Glutamat-Oxalacetat-Transaminase 1 (GOT1); zytoplasmatische Aspartat-Aminotrans- ferase 1; Transaminase A	M37400
10	Alkohol-Dehydrogenase-6 + Aldehyd-Dehydroge- nase 1 (ALDH1)	K03000
	peroxisomale Acyl-CoEnzym-A-Oxidase	S69189
	"very-long-chain"-spezifischer Acyl-CoA- Dehydrogenase-Präkursor (VLCAD)	D43682
15	Glutamat-Cystein-Ligase regulatorische Unter- einheit (GLCLR); gamma-Glutamylcystein- Synthetase	P48507
	LOX (Protein-Lysin-6-Oxidase, Lysyl-Oxidase)	M94054
	Ornithin-Decarboxylase	X16277
20	Corticosteroid-11-beta-Dehydrogenase-Isozym 2	U14631
	Cytochrom P450 VA1 (CYP5A1)	M80647
	mitochondrialer Aldehyd-Dehydrogenase-Präkursor (Klasse 2); ALDHI; ALDH2	Y00109
25	5,6-Dihydroxyindol-2-carbonsäure-Oxidase- Präkursor (DHICA-Oxidase); Tyrosinase-verwandtes Protein 1 (TRP-1); Catalase B; Glycoprotein-75 (GP75)	X51420
	Tenascin-Präkursor (TN); Hexabrachion (HXB); Cytotactin; Neuronektin; GMEM; miotendinöses Antigen; Gliom-assoziiertes extrazelluläres	
30	Matrix-Antigen	X78565; M55618
	Osteopontin-Präkursor (Knochen-Sialoprotein 1)	X13694
	ATP-bindender-Cassette-Transporter (ABCR)	U88667
	Gewebe-Inhibitor des Metalloproteinase-2- Präkursors (TIMP2)	J05593
35	Matrix-Metalloproteinase 15 (MMP15)	Z48482
	Matrix-Metalloproteinase 14 (MMP14)	D26512
	Matrix-Metalloproteinase 1 (MMP1)	X54925
	Vinculin	M33308

	Vimentin (VIM)	X56134; M14144
	Serum-Amyloid- A1-Präkursor (SAA1)	M23698
	Seneszenz-Marker-Protein 30 (SMP30); Regucalcin (RGN; RC)	D31815
5	Ubiquitin-"cross-reactive"-Protein-Präkursor (UCRP); alpha-induzierbares Interferon; Inter- feron-induziertes-17kDa-Protein; G1P2; ISG15	M13755
	Laminin-gamma-2-Untereinheit-Präkursor (LAMC2)	Z15009
	Peroxisom-Assembly-Faktor 1 (PAF1); Peroxisomales Membran-Protein 3 (PXMP3; PMP3); 35kDa peroxisomales Membran-Protein (PMP35); Peroxin 2 (PEX2)	M86852
10	peroxisomales Membran-Protein 69 (PMP69)	AF009746
	Peroxisom-Biogenese-Störungs-Protein 1 (PEX1)	AF026086
15	mitochondriale Glutamat-Oxaloacetat-Trans- aminase 2 (GOT2); Aspartat-Aminotransferase 2; Transaminase A	M22632
	nck-, ash- & Phospholipase-C-gamma-bindendes Protein (NAP4)	AB005216
20	N-Oxid-bildende Dimethylanilin-Monooxygenase 4; hepatische Flavin-enthaltende Monooxygenase 4 (FMO4)	Z11737
	Xeroderma Pigmentosum Gruppe F komplementieren- des Protein (XPF); DNA Exzisions-Reparatur- Protein ERCC4; ERCC11	L77890
25	Replikations-Protein-A-30kDa-Untereinheit; Replikations-Faktor-A-Protein 4 (RPA4; RFA) mutY-Homolog (hMYH)	U24186
	beta Crystallin A4 (CRYBA4)	U63329
	T-Komplex-Protein-1-epsilon-Untereinheit (TCP1-Epsilon); CCT-epsilon (CCTE; CCT5)	U59057
30	beta Crystallin B1 (CRYBB1)	D43950
	beta Crystallin B2 (CRYBB2); BP	U35340
	beta Crystallin B3 (CRYBB3; CRYB3)	L10035
	beta Crystallin B3 (CRYBB3; CRYB3)	U71216
35	mitochondriales 10kDa Hitzeschock-Protein (HSP10); 10kDa-Chaperonin (CPN10); HSPE1 Hitzeschock-Protein beta-3 (HSPB3); Hitze- schock-17kDa-Protein; HSPL27	U07550
	wahrscheinlicher Protein Disulfid-Isomerase-	U15590

	P5-Präkursor	D49489
	90kDa-Hitzeschock-Proteinbeta (HSP90); 84kDa-Hitzeschock-Protein beta (HSP84); HSPCB	M16660
	mikrosomaler UDP-Glucuronosyltransferase-1-6-Präkursor (UDPGT; UGT1.6; UGT1F; GNT1)	J04093
5	Glutathion-S-Transferase mu 3 (GSTM3); GST5	J05459
	Cytochrom P450 1A1 (CYP1A1); P450-P1; P450 Form 6; P450-C	K03191
10	Peroxisom Proliferator-aktivierter Rezeptor alpha (PPAR-alpha; PPARA)	I02932
	Protein-Disulfid-Isomerase-verwandter Protein-Präkursor (PDIP)	D49490
	Leber-Carboxylesterase-Präkursor; Acyl-coEnzym A: Cholesterol-Acyltransferase (ACAT); Monozyt/Makrophage-Serin-Esterase (hmSE); CES2	L07765
15	Serum-Paraoxonase/Arylesterase 3 (PON3); Serum-Aryldiakylphosphatase 3; aromatische Esterase 3 (A-Esterase 3)	L48516
	Cytochrom P450 XXIB (CYP21B); Steroid-21-Hydroxylase; CYP21A2	M12792; M23280
20	Cytochrom P450 IID6 (CYP2D6); P450-DB1; Debrisoquine-4-Hydroxylase	M20403
	mikrosomaler UDP-Glucuronosyltransferase-1-1-Präkursor (UDPGT; UGT1.1; UGT1A; GNT1); Bilirubin-spezifisches Isozym 1 (hUG-BR1)	M57899
25	mikrosomaler UDP-Glucuronosyltransferase-1-4-Präkursor (UDPGT; UGT1.4; UGT1D; GNT1); Bilirubinspezifisches Isozym 2 (hUG-BR2)	M57951
	Flavin-enthaltende Amin-Oxidase B (MAOB); Monoamin-Oxidase	M69177
30	eukaryotische Peptid-Ketten-Release-Faktor-Untereinheit 1 (ERF1); TB3-1; C11 Protein	M75715
	mikrosomaler UDP-Glucuronosyltransferase-1-3-Präkursor (UDPGT; UGT1.3; UGT1C; GNT1)	M84127
35	Struktur-spezifisches Erkennungs-Protein 1 (SSRP1); Rekombinations-Signal-Sequenz-Erkennungs-Protein; T160	M86737
	mikrosomaler UDP-Glucuronosyltransferase-1-2-Präkursor (UDPGT; UGT1.2; UGT1B; GNT1); HLUGP4	S55985

	Thiopurin-S-Methyltransferase (TPMT)	S62904
	meiotisches Rekombinations-Protein-DMC1/LIM15-	
	Homolog	D63882
5	"short"/branched-chain"-spezifischer Acyl-CoA-	
	Dehydrogenase-Präkursor (SBCAD; ACADS);	
	2-Methyl-"branched chain"-Acyl-CoA-Dehydrogenase	
	(2-MEBCAD)	U12778
	Cytochrom-P450-XIB1-Präkursor (CYP11B1);	
10	Steroid-11-beta-Hydroxylase (S11BH)	X55764
	Cytochrom P450 IVA11 (CYP4A11)	X71480
	NADH-Cytochrom-B5-Reductase (B5R); DIA1	Y09501
	Coproporphyrinogen-III-Oxidase-Präkursor (CPO);	
	Coproporphyrinogenase; Coprogen-Oxidase (COX)	Z28409
	110kDa-Hitzeschock-Protein (HSP110); 105kDa-	
15	Hitzeschock-Protein (HSP105);	
	KIAA0201	D86956
	Gamma Crystallin C (CRYGC; CRYG3;	
	Gamma Crystallin 2 + Gamma Crystallin B (CRYGB;	
	CRYG2); Gamma Crystallin 1-2	U66582 +
20		M11971; M11970
	Hitzeschock-Transkriptionsfaktor 4 (HHSF4)	D87673
	extrazellulärer Superoxid-Dismutase-Präkursor	
	(EC-SOD; SOD3)	J02947
	DNAJ-Protein-Homolog 2 (DNAJ2; hDJ2; HSJ2)	D13388
25	DNA "mismatch repair" Protein MSH3; divergentes	
	Upstream-Protein (DUP); "Mismatch Repair"-	
	Protein 1 (MRP1)	J04810
	Protein-Disulfid-Isomerase-verwandter Protein-	
	ERP72-Präkursor	J05016
30	Replikations-Protein-A-32kDa-Untereinheit	
	(RPA32); Replikations-Faktor A Protein 2 (REPA2;	
	RPA2; RFA)	J05249
	Mehrfachresistenz-assoziiertes Protein 1 (MRP1)	L05628
	Calnexin-Präkursor (CANX);	
35	Haupthistocompatibilitäts-Komplex Klasse I	
	Antigen-bindendes Protein p88; IP90	L10284; L18887;
		M94859; M98452
	Cyclophilin-40 (CYP40; CYPD); 40-kDa Peptidyl-	
	Prolyl-cis-trans-Isomerase (PPIASE); Rotamase;	

	Cyclophilin-verwandtes Protein	L11667
	Hitzeschock-70kDa-Protein 4 (HSPA4); HSP70RY;	
	Hitzeschock-70-verwandtes Protein APG-2	L12723
5	T-Komplex-Protein-1-theta-Untereinheit (TCP1-theta); CCT-theta (CCTQ; CCT8); KIAA0002	D13627
	mitochondrialer Stress-70-Protein-Präcursor;	
	75kDa Glucose-gesteuertes Protein (GRP75);	
	Peptid-bindendes Protein 74 (PBP74); Mortalin (MOT); HSPA9B	L15189
10	p23; 23-kDa Progesteron-Rezeptor-assoziiertes Protein	L24804; L24805
	FLAP Endonuklease 1 (FEN1); Maturations-Faktor 1 (MF1)	L37374
	FK506-bindendes Protein 12 (FKBP12); Peptidyl-Prolyl-cis-trans-Isomerase (PPIase); Rotamase	M34539; M80199; M92423; X55741; X52220
15	Hitzeschock-Faktor Protein 2 (HSF2); Hitze-schock-Transkriptionsfaktor 2 (HSTF2)	M65217
20	3-Methyladenin DNA-Glycosylase (ADPG); 3-Alkyladenin DNA Glycosylase; N-Methylpurin-DNA Glycosirase (MPG)	M74905
	Calreticulin-Präcursor (CRP55); Calregulin; HACBP; ERP60; 52-kDa Ribonukleoprotein-Auto-	
25	antigen RO/SS-A	M84739
	Transformations-sensitives Protein IEF SSP 3521	M86752
	alpha-Crystallin-B-Untereinheit (alpha(B)-Crystallin; CRYAB; CRYA2); Rosenthal-Faser-Komponente	S45630
30	Hitzeschock-Protein beta 2 (HSPB2); DMPK-bindendes Protein; MKBP	S67070
	alpha Crystallin A-Kette (CRYAA; CRYA1)	U05569
	Nicotinamid N-Methyltransferase (NNMT)	U08021
	Phenol-sulfatierende Phenol-Sulfotransferase 1 (PPST1); thermostabile Phenol-Sulfotransferase (TS-PST); HAST1/HAST2; ST1A3; STP1 + PPST2; ST1A2; STP2 + Monoamin-sulfatierende Phenol-Sulfo-transferase	U09031 + U28170 + L19956
35		

	NADP+ Dihydropyrimidin-Dehydrogenase-Präkursor (DPD); Dihydouracil-Dehydrogenase; Dihydro-	
	thymin-Dehydrogenase (DPYD)	U09178
5	transkriptioneller Regulator atrX; "X-Linked"- Helicase II (XH2); "X-linked"-Kern-Protein (XNP); RAD54L	U09820
	26S-Proteasom-Regulierungs-Untereinheit S2 (PSMD2); Tumor-Nekrose-Faktor-Typ-1-Rezeptor-	
	assoziiertes Protein (TRAP2); 55.11 Protein	U12596
10	Schädigungs-spezifisches DNA-bindendes Protein p127 Untereinheit (DDBA p127); DDB1	U18299
	T-Komplex-Protein-1-delta-Untereinheit (TCP1- delta); CCT-delta (CCTD; CCT4); Stimulator von RNA-bindendem tar (SRB)	U38846
15	7,8-Dihydro-8-Oxoguanin-Triphosphatase (8-Oxo- dGTPase); mutT-Homolog 1 (MTH1)	D16581
	150-kDa Sauerstoff-gesteuertes Protein ORP150	U65785
	48-kDa FKBP-assoziiertes Protein (FAP48)	U73704
	T-Komplex-Protein-1-eta-Untereinheit (TCP1-eta); CCT-eta (CCTH; CCT7); HIV-1 NEF wechselwirkendes	
20	Protein	U83843
	Catalase (CAT)	X04076
	Porphobilinogen-Deaminase (PBGD); Hydroxymethyl- bilan-Synthase (HMBS); pre-Uroporphyrinogen-	
25	Synthase	X04808
	Mn+ Superoxid-Dismutase-2-Präkursor (SOD2)	X07834; X59445
	94 kDa-Glukose-gesteuertes Protein (GRP94); Endoplasmin-Präkursor; GP96-Homolog; Tumor-	
	Rejektions-Antigen 1 (TRA1)	X15187; M33716
30	Uracil-DNA-Glycosylase 2 (UNG2)	X52486
	T-Komplex-Protein-1-alpha-Untereinheit (TCP1- alpha); CCT-alpha (CCTA; CCT1)	X52882
	40S ribosomales Protein S3 (RPS3)	X55715
	47 kDa-Hitzeschock-Protein-Präkursor; Collagen- bindendes Protein 1 (CBP1); Colligin 1 + Colla-	
35	gen-bindendes Protein 2 (CBP2)	X61598 + D83174
	T-Komplex-Protein-1-gamma-Untereinheit (TCP1-gamma); CCT-gamma (CCTG; CCT3); TRIC5	X74801; U17104
	Transkriptionsfaktor IIH (TFIIH); 52-kDa-	

	"basic"-Transkriptionsfaktor-2-Untereinheit (BTF2p52)	Y07595
	"x-ray repair cross-complementing Protein 2" (XRCC2)	Y08837
5	8-Oxyguanin-DNA-Glycosylase 1 (OGG1); mutM-Homolog (MMH)	Y11838
	"34-kDa Basic"-Transkriptionsfaktor-2-Untereinheit (BTF2p34)	Z30093
10	N-Oxide-bildende Dimethylanilin-Monoxygenase 5; hepatische Flavin-enthaltende Mono-oxygenase 5 (FMO5); Dimethylanilin Oxidase 5	L37080
	Ubiquitin-artiges Protein NEDD8	D23662
	Mehrfachresistenz-Protein 3 (MDR3); P-Glycoprotein 3 (PGY3)	M23234
15	Ubiqitin-konjugierendes Enzym E2-17-kDa (UBE2B); Ubiquitin-Protein-Ligase; Ubiquitin-Träger-Protein; HR6B	M74525
	p59-Protein; HSP-bindendes Immunophilin (HBI); wahrscheinliche Peptidyl-Prolyl-cis-trans-Isomerase (PPIase); Rotamase; 52kDa-FK506-bindendes Protein (FKBP52); FKBP59; HSP56;	
20	FKBP4	M88279
	Hitzeschock-Protein-40-Homolog (HSP40 homolog); DNAJW	U40992
25	51kDa-FK506-bindendes Protein (FKBP51); Peptidyl-Prolyl-cis-trans-Isomerase (PPIase); Rotamase; 54kDa-Progesteron-Rezeptor-assoziiertes Immunophilin; FKBP54; FF1-Antigen; HSP90-bindendes Immunophilin	U42031
30	hämatopoietische Progenitor-Kinase (HPK1)	U66464
	SPS1/Ste20-Homolog KHS1	U77129
	Leber-Glyceraldehyde-3-Phosphat-Dehydrogenase (GAPDH; G3PDH)	X01677
	Gehirn-spezifische Tubulin-alpha-1-Untereinheit (TUBA1)	K00558
35	HLA Klasse I Histokompatibilitäts-Antigen-C-4-alpha-Untereinheit (HLAC)	M11886
	Cytoplasmisches beta-Aktin (ACTB)	X00351
	"23kDa highly basic"-Protein; 60S ribosomales	

	Protein L13A (RPL13A)	X56932
	40S ribosomales Protein S9	U14971
	Ubiquitin	M26880
	Phospholipase A2	M86400
5	Hypoxanthin-Guanin-Phosphoribosyltransferase (HPRT)	V00530

3. Ein Verfahren zur toxikologischen Diagnostik nach Anspruch 1, dadurch gekennzeichnet, dass der Methylierungszustand oder das Methylierungsmuster von im wesentlichen allen der im Anspruch 2 aufgeführten Genen untersucht wird.
- 10 4. Verfahren nach Anspruch 1 dadurch gekennzeichnet, dass ein Satz von Genen auf Methylierung untersucht wird, in dem bis zu 25% der in Anspruch 2 aufgeführten Gene nicht enthalten sind.
- 15 5. Verfahren nach Anspruch 1, dadurch gekennzeichnet, dass mindestens 95% der in Anspruch 2 aufgeführten Gene zusammen mit einer begrenzten Anzahl zusätzlicher nicht aufgeführter Gene auf ihren Methylierungszustand oder ihr Methylierungsmuster untersucht werden.
- 20 6. Verfahren nach Anspruch 1, dadurch gekennzeichnet, dass bis zu 25 % der aufgeführten Gene durch einen kompletten Satz anderer nicht aufgeführter Gene ersetzt sind.
- 25 7. Verfahren nach Anspruch 1 für einen Satz von Genen gemäß einem oder mehrerer der Ansprüche 1-6, in welcher die chemisch vorbehandelte DNA Sequenz der nachzuweisenden Gene mindestens zu 95% mit der entsprechend vorbehandelten DNA Sequenz der Gene aus obiger Liste übereinstimmt.
- 30
- 35

8. Das Verfahren zur toxikologischen Diagnostik nach einem der Ansprüche 1-7, dadurch gekennzeichnet, dass man folgende Schritte durchführt:

- 5 a) einem Lebewesen oder einer Zellkultur wird eine Probe entnommen, die die DNA besagten Lebewesens oder besagter Zellkultur enthält;
- 10 b) in einer Probe, die genomische DNA enthält, wandelt man durch chemische Behandlung an der 5-Position unmethylierte Cytosinbasen in Uracil oder Thymidin um, wobei an der 5-Position methylierte Cytosinbasen unverändert bleiben;
- 15 c) aus dieser chemisch vorbehandelten genomischen DNA amplifiziert man Fragmente;
- 20 d) die amplifizierten Fragmente werden an (Sonden-) Oligonukleotide oder PNA Oligomere hybridisiert;
- 25 e) der Methylierungszustand oder das Methylierungsmuster wird aus dem Hybridisierungsverhalten der amplifizierten Fragmente abgeleitet;
- f) durch Abgleich mit Daten aus Methylierungszuständen anderer Proben wird auf die Einwirkung einer Substanz auf das Lebewesen oder die Zellkultur geschlossen und/oder die Einwirkung dieser Substanz auf das Lebewesen oder die Zellkultur im Vergleich zu anderen Substanzen in toxikologischer Hinsicht verglichen.

9. Verfahren nach Anspruch 8, dadurch gekennzeichnet, dass die chemische Behandlung mit der Lösung eines Bisulfits (=Disulfit, Hydrogensulfit) erfolgt.

- 30 10. Verfahren nach Anspruch 8, dadurch gekennzeichnet, dass die Amplifizierung mittels der Polymerasekettenreaktion (PCR) durchgeführt wird.
- 35 11. Verfahren nach Anspruch 10, dadurch gekennzeichnet, dass Sätze von Primeroligonukleotiden umfassend min-

destens zwei Oligonukleotide zur Amplifizierung verwendet werden, deren Sequenzen jeweils mindestens 18 Basenpaare lange Abschnitte der nach chemischer Modifikation erhaltenen Nukleinsäure Sequenzen der in Anspruch 2 aufgeführten Gene entsprechen oder zu ihnen komplementär sind.

- 5
12. Verfahren nach Anspruch 10 oder 11, dadurch gekennzeichnet, dass Sätze von Primeroligonukleotiden verwendet werden, die identifizierbare Markierungen enthalten.
- 10
13. Verfahren nach Anspruch 12, dadurch gekennzeichnet, dass die Markierungen der Primeroligonukleotide Fluoreszenzmarkierungen sind.
- 15
14. Verfahren nach Anspruch 12, dadurch gekennzeichnet, dass die Markierungen der Primeroligonukleotide Radiumnuklide sind.
- 20
15. Verfahren nach Anspruch 12, dadurch gekennzeichnet, dass die Markierungen der Primeroligonukleotide ablösbare Molekülfragmente mit typischer Masse sind, die in einem Massenspektrometer nachgewiesen werden können.
- 25
16. Verfahren nach Anspruch 8 adurch gekennzeichnet, dass die hybridisierten Amplifikate, Fragmente der Amplifikate oder zu den Amplifikaten komplementäre Sonden im Massenspektrometer nachgewiesen werden.
- 30
17. Verfahren nach Anspruch 15 oder 16 dadurch gekennzeichnet, dass zur besseren Detektierbarkeit im Massenspektrometer die erzeugten Fragmente eine einzelne positive oder negative Nettoladung aufweisen.
- 35

18. Verfahren nach einem der Ansprüche 8-17, dadurch gekennzeichnet, dass die (Sonden-) Oligonukleotide oder PNA Oligomere nach Anspruch 8 d) mehrheitlich - identisch oder komplementär zu einem mindestens 9 Nukleotide langen Sequenzabschnitt mindestens eines der Gene nach Anspruch 2 sind, wie er nach der chemischen Modifizierung gemäss Anspruch 8 voliegt und- mindestens ein CG oder TG Dinukleotid enthalten.

10

19. Verfahren nach Anspruch 18 dadurch gekennzeichnet, dass Oligonukleotide verwendet werden, bei denen das Cytosin des CpG Dinukleotids oder das Thymin des TpG Dinukleotids das 5. - 9. Nukleotid vom 5-Ende des 13 mers ist.

15

20. Verfahren nach Anspruch 18 dadurch gekennzeichnet, dass PNA Oligomere verwendet werden, bei denen das Cytosin des CpG Dinukleotids oder das Thymin des TpG Dinukleotids das 4. - 6. Nukleotid vom 5-Ende des 9 mers ist.

20

21. Verfahren nach Anspruch 8, dadurch gekennzeichnet, dass mehr als zehn unterschiedliche Fragmente amplifiziert werden und mit dem gleichen Satz von Sondenoligonukleotiden nach einem der Ansprüche 18 bis 20 untersucht werden.

25

22. Verfahren nach Anspruch 8, dadurch gekennzeichnet, dass die Sondenoligonukleotide oder PNA-Oligomere an definierten Stellen an eine Festphase gebunden sind.

30

23. Verfahren nach Anspruch 22, dadurch gekennzeichnet, dass unterschiedliche Detektionsoligonukleotide und/oder PNA-Oligomersequenzen auf einer ebenen Fest-

35

phase in Form eines rechtwinkligen oder hexagonalen Gitters angeordnet sind.

24. Verfahren nach Anspruch 22 oder 23 dadurch gekennzeichnet, dass die an den Amplifikaten angebrachten Markierungen an jeder Position der Festphase, an der sich ein Oligonukleotid befindet, identifizierbar sind.

5 25. Verfahren nach einem der Ansprüche 22-24 dadurch gekennzeichnet, dass die Festphasenoberfläche aus Silizium, Glas, Polystyrol, Aluminium, Stahl, Eisen, Kupfer, Nickel, Silber oder Gold besteht.

10 15 26. Verfahren nach einem der voranstehenden Ansprüche, wobei die genomische DNA aus einer DNA enthaltenden Probe gewonnen wird, wobei Quellen für DNA z.B. Zelllinien, Biopsien, Blut, Sputum, Stuhl, Urin, Gehirn-Rückenmarks-Flüssigkeit, in Paraffin eingebettetes Gewebe, beispielsweise Gewebe von Augen, Darm, Niere, Hirn, Herz, Prostata, Lunge, Brust oder Leber, histologische Objektträger und alle möglichen Kombinationen hiervon umfasst.

20 25 30 27. Verfahren nach einem der voranstehenden Ansprüche zur Diagnose und/oder Prognose nachteiliger Ereignisse für Patienten oder Individuen, wobei diese nachteiligen Ereignisse im Zusammenhang mit der Diagnose toxikologisch bedeutender Parameter stehen.

35 28. Verwendung eines Verfahrens nach einem der voranstehenden Ansprüche zur Diagnose und/oder Prognose nachteiliger Ereignisse für Patienten oder Individuen, wobei diese nachteiligen Ereignisse im Zusammen-

hang mit der Diagnose toxikologisch bedeutender Parameter stehen.

29. Kit enthaltend

- 5 a) eine chemische Substanz zur Modifizierung von Cytosinbasen;
- b) Primeroligonukleotide zur Amplifizierung der modifizierten Nukleinsäuren;
- c) Sondenoligonukleotide oder PNA Oligomere;
- 10 und optional
- d) eine Anleitung zur Durchführung eines Verfahrens gemäß einem der voranstehenden Ansprüche;
- e) eine Kontroll-Nukleinsäure mit bekanntem Methylierungszustand oder Methylierungsmuster.

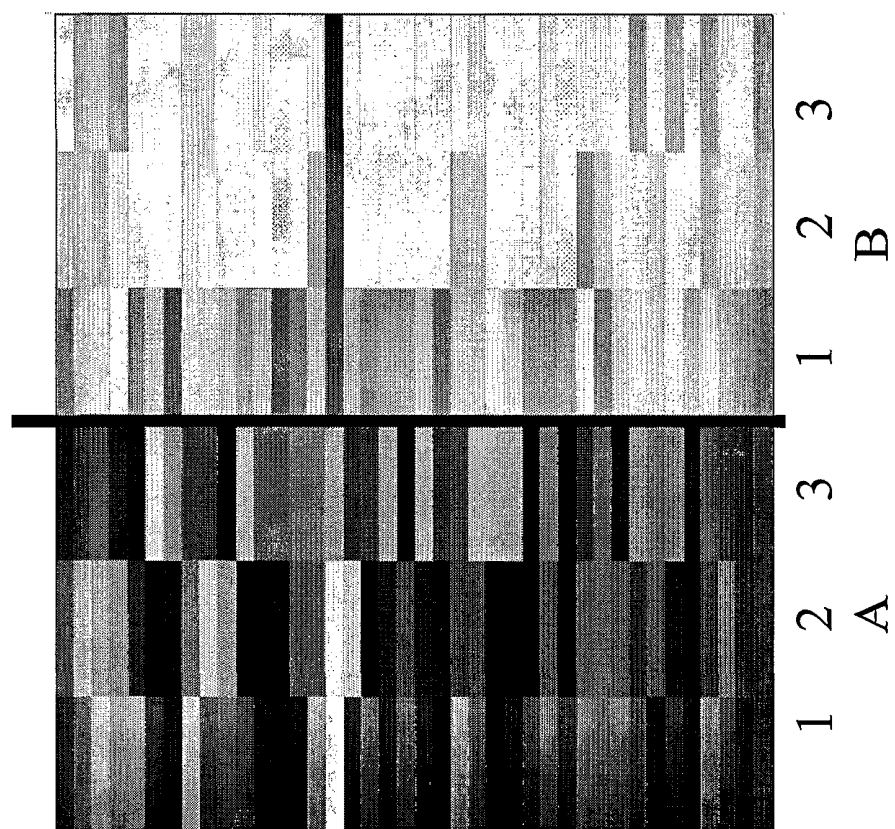


Fig. 1

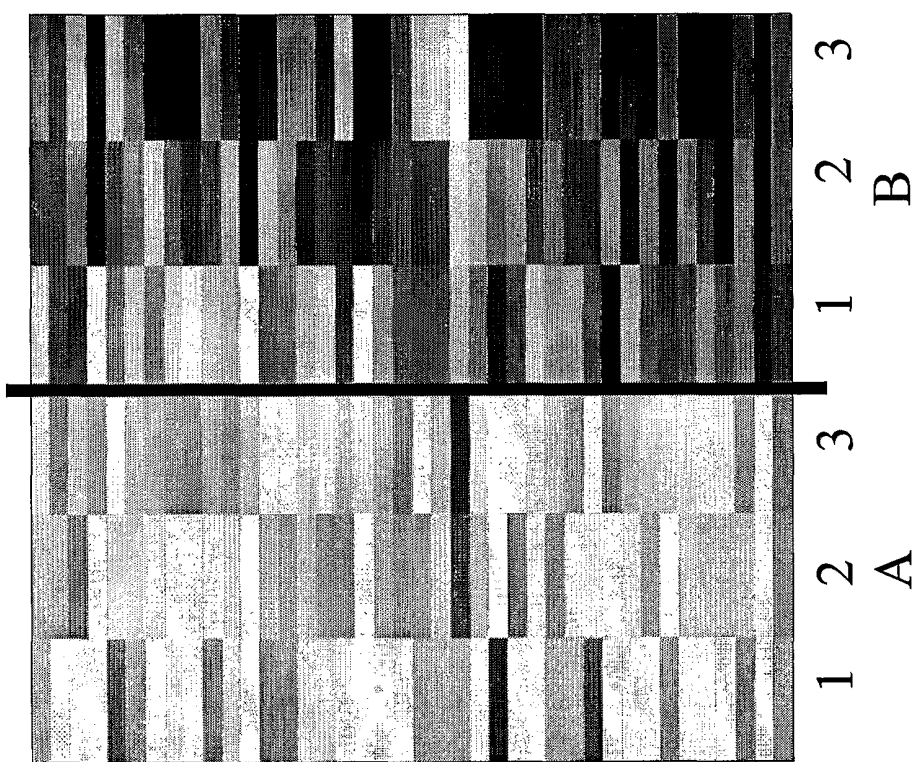


Fig. 2

Fig. 3

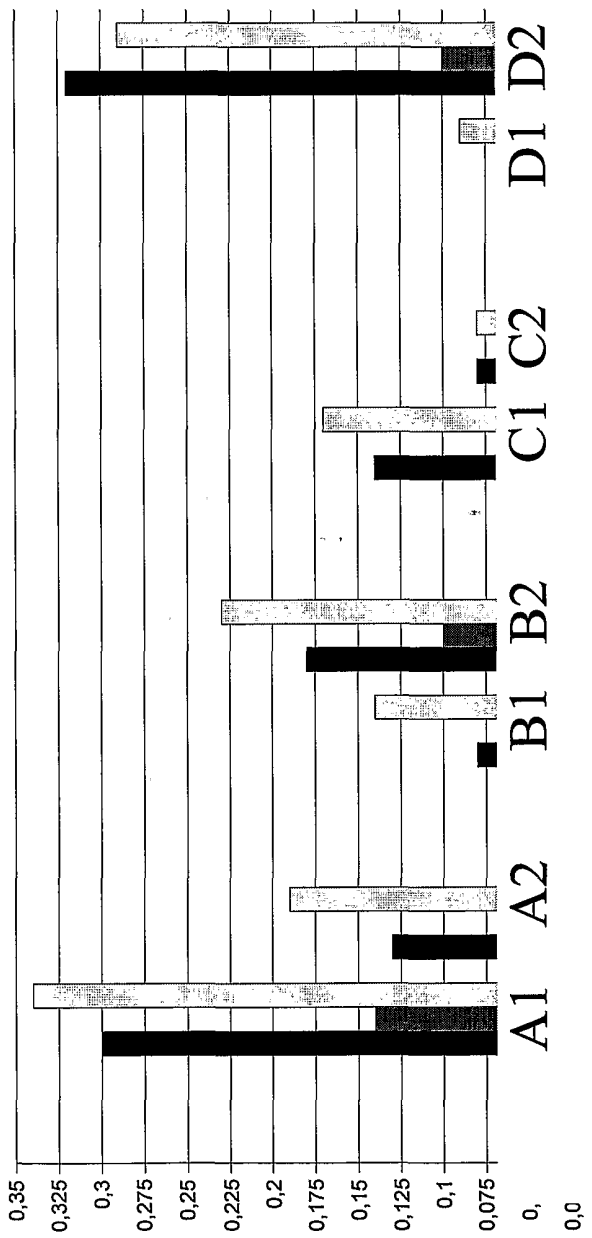


Fig. 4

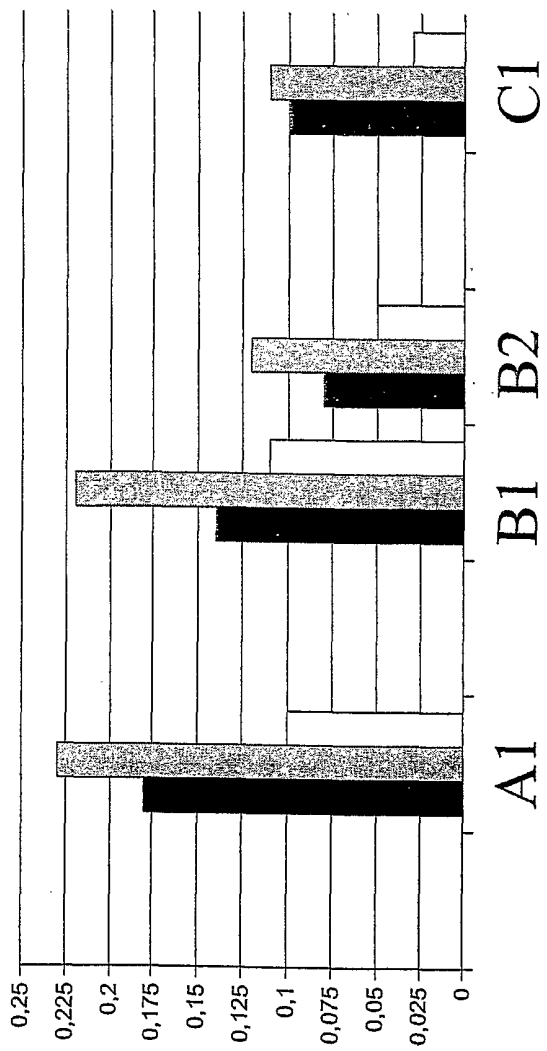


Tabelle 2

Gen	PCR-Frag.Länge	SEQ-ID	SEQ-ID	SEQ-ID	SEQ-ID	SEQ-ID
		Primer		CG-Oligo	TG-Oligo	
TGF-a	531	3	GTTTGTGGAGCTAAG	4	GTTTTTTTCGTTTAGAG	6
		CCCCCTAAAAACACAAAA	5	TTGGTAGCTGGGGGGGT	8	TGGTAGCTGGGGGGT
						9
ANT1	350	29	GTAAAGGTTGTTGTGTATAAT	30	GCTGATAACGGTGTATT	32
		CCTCCCTCCAACTACAAAA	31	TTTGGGTTGGGGATA	34	TTTGGGTTGGGGATA
						35
EGFR	926	17	GGTTTGATAAGATTGAAG	18	AGTATTCGATCGGGAAAGT	20
		CCCTTACCTTCTTTCT	19	GAGTTTTCGGGAGTAG	22	GAGTTTTGGGAGTAG
						23
E-Cadherin	711	10	GGTGAAGAGTGAGTTTATT	11	ATTAGAACCGTGTAAGTT	13
		ACTCCAAAAACCCAAACTAA	12	GTAGCTTTCGTTTGGGG	15	GTAA GTTTGGTTGGGG
						16
CDC25A	272	24	AGAACCTGTTATGATTGG	25	TTGTTTATTCGGAGTTGGG	27
		AAAATTAATCCAAACAAAC	26			

Tabelle 3

Liste der Gene, Referenz Nummern und Primeroligonukleotiden gemäß Beispiel 1-6 und Figuren 1-4.

GENE ID	MPCR SET	GENE	PCR PRIMER	PCR PRIMER
81	N	ADCYAP1	GGTGGATTTATGGTTATTTG	TCCCTCCCTTACCCCTCAAC
292	K	AFP	AGGTTTATTGAATATTTAGG	AACATATTTCCACAAACATCC
	L	ANT1	GTTTAAGGTTGTTGTGTTAT	CCTCCTCCCAACTACAAAAA
85			AAAT	
48	L	APOA1	GTTGGTGGTGGGGGAGGTAG	ACAACCAAAATCTAAACTAA
50	N	APOC2	ATGAGTAGAACAGAGGTGATAT	CCCTAAATCCCTTCCTTACC
87	K	AR	GTAGTAGTAGTAGTAAGAGA	ACCCCCTAAATAATTATCCT
1143	L	ATP5A1	AGTTTGTGTTAATTATTGAT	AACAACATCTTACAATTACTC
			AGGA	C
1011	L	CABL	GGTTGGGAGATTTAATTTTAT	ACCAATCCAAACTTTCCCT
			T	
77	L	CD1A	ATTATGGTTGAAATTGTAAT	ACAAAAAACAAACACACCCC
1079	L	CD63	TGGGAGATATTTAGGATGTGA	CTCACCTAAACTTCCAAA
99	M	CDC25A	AGAAAGTTGTTATTGATTGG	AAAATTAAATCCAAACAAAC
187	L	CDH3	GTTTAGAAGTTAACAGATTAG	AAAAAACTCAACCTCTATCT
88	K	CDK4	TTTTGGTAGTTGGTTATATG	AAAAATAACACAATAACTCA
310	I	CFOS	TTTTGAGTTTAGAATTGTT	AAAAACCCCTACTCATCTACT
			TTAG	A
1034	L	CMYC	TTTTGTGTGGAGGGTAGTTG	CCCCAAATAACAAATAACC
312	K	CMYC	TTGTTTTGTGGAAAAGAGG	TTTCAATCTCAAACCTCAACC
313	I	CMYC	AAAGGTTGGAGGTAGGAGT	TTCCCTTCCAAATCCTCTTT
37	M	CRIP1	TTTAGGTTAGGGTTAGTT	CCACTCCAAAACTAATATCA
70	N	CSF1	TAGGGTTGGAGGGAAAG	AAAAATCACCTAACCAAC
78	M	CSNK2B	GGGGAAATGGAGAACGTGAA	CTACCAATCCCAAAATAACC
272	N	CTLA4	TTTTTATGGAGAGTAGTTGG	TAACTTACTCACCAATTAC
287	K	DAD1	TTTTGTTGTTAGAGTAATTG	ACCTCAATTCCCCATTAC

GENE ID	MPCR SET	GENE	PCR PRIMER	PCR PRIMER
147	I	DAPK1	ATTAATATTATGTAAAGTGA	CTTACAACCATTACCCACA
319	J	E-CADHERIN	GGGTGAAAGAGTGAGTTTAT TT	ACTCCAAAAACCCATAACTAA
63	M	EGFR	GGTGTGATAAGATTGAAG	CCCTTACCTTCTTCCT
311	I	EGFR	GGGTAGTGGATATTTAGTT TT	CCAACACTACCCCTCTAA
82	M	EGR4	AGGGGGATTGAGTGTAAAGT	CCCAAACATAAACACAAAAAT
1012	L	ELK1	AAGTGTGTTAGTTTAATGG GTA	CAAACCCAAAACTCACCTAT
307	J	ERBB2	GAGTGATATTTTATTTATG TTGG	AAAACCTAACTCAACTACTCA C
308	K	ERBB2	GAGTTGGAGTTAAGATTA GT	TCAACTTCACAACCTCATTCTT AT
130	N	GP1B	GGTGATAGGAGATAATGTTG G	TCTCCCAACTACAACCAAC
290.2	M	HEAT SHOCK	AGAGGAGATATTTTATGG	AAAAATCCTACAACAACCTTC
290.3	J	HEAT SHOCK	AAGGATAATAATTGTTGGG	CTTAAATACAAACTTAATCC
89	I	HUMOS	TTTATTGATTGGAGTAGGT	CTAATTTCACAAACATCCTA
1083	N	IL13	TTTTAGGGTAGGGTTGT	CCTTATCCCCATAACCA
1010	L	LMYC	AGGTTGGTTATTGAGTT	CATTATTCTAACTACCTTAT ATCTC
291	L	MC2R	ATATTGATATGTTGGTAG	ACCTACTACAAAAATCATC
314.2	I	MGMT	AAGGTTTAGGAAAGAGTGT T	ACTCCCAATACCTCACAAATATA AC
427	K	MHC	GGGTATTAGGAATTATGTG	CAAAACACCTCCTAACTCA
401	I	MHC	TTGTTGTTTTAGGGTTTG G	TCCTTCCCATTCTCAAATATC
458	M	MHC	AAGAGTGAGAAGTAGAGGGTT	CTACTCTCTAAACTCCAAAC
487	M	MHC	GAGGTTAAAGGAAGTTTGGA	AAACTAAATTCTCCCAATACC
465	L	MHC	ATTGATAGGTAGTTAGATTGG	AAAAAACTCTCATAAAATCTCA
451	M	MHC	AGGAGGAAGGGTTAATAAAGA	ATCTCCTACTACTATCTCAA C

GENE ID	MPCR SET	GENE	PCR PRIMER	PCR PRIMER
441	M	MHC	AGGTTGGATTTGGGTAGGT	TCTCCTACTCTCCTAATCTC
160	M	MLH1	TTTAAGGTAAGAGAAATAGGT	TTAACCCCTACTCTTATAACC
94	N	N33	TGGAGGAGATATTGTTTGT	TTTTCAAAATCAAAACCTACT
302	J	NF1	TTGGGAGAAAGGTTAGTTT	ATACAAACTCCCAATATTCC
1009	L	NMYC	GGAGGAGTATATTGGGTTT	ACAAACCCCTACTCCTACCTC
1018	N	NUC	AAGTTGTGTTTAAAAGGGT TA	AAAAACTAACCTACCCAATAA
1007	N	OAT	TGGAGGTGGATTTAGAGGT	ACCAAAACCCCACAA
304	J	P16	AGGGGTTGGTGGTTATTAG	TAATTCCAATTCCCTACAA
305	J	P53	GTGATAAGGGTTGTAAGGA	CAAAAACCTACCCAATCCAA
1069	N	POMC	AGTTTTAAATAATGGGGAAA T	ACTCTTCTTCCCCCTCCTTC
177	N	PRG	AGTTGAAGTTATAAGGGTG	AATAAAAACCTCTAAAAACC
26	K	SOD1	AGGGGAAGAAAAGGTAAAGTT	CCCACTCTAACCCCAACCA
303	I	TGF-A	GGTTTGTGAGGTAAAG	CCCCCTAAAAACACAAAA
301	J	TGF-B1	GGGGAGTAATATGGATTGG	CCTTTACTAAACACCTCCCATA
317	I	TIMP3	GGTAAGGGTTTGTTGTT	CCCCCTCAAACCAATAAC
128	N	TNFB	TTTTGTTTGATTGAAATA GTAG	AAAAACCCAAAATAACAA
35	L	UBB	TTAAGTTATTTAGGTGGAGT TTA	ACCAAAATCCTACCAATCAC
1140	N	UNG	GTTGGGTGTTGAGGAA	CCTCTCCCTCTAATTAAACA
300	J	VEGF	TGGGTAAATTTTAGGTGTGA	CCCCAAAAACAAATCACTC
188	K	WT1	AAAGGGAAATTAAGTGTGT	TAACTACCCCTCAACTTCCC

Sequenzprotokoll

<110> Epigenomics AG

<120> Verfahren zur Detektion von Methylierungsmustern zur toxikologischen Diagnostik

<160> 35

<210> 1

<211> 2698

<212> DNA

<213> Homo Sapiens

<400> 1

catgccaaat	ggcactgggg	tttcgtgtcg	tgcacacagcg	tggaccgaaa	atgcggacac	60
atgcaggctg	cctctctcg	caggcagaag	ccacacgcag	acctagaccc	tttgcaccgc	120
atcccattat	tcaatcgcg	acccgcacc	cttcgacagt	tcctctccct	ccaccccaac	180
cccacgcgc	gcgcgaggct	ggcccttaa	gagccccgcc	ccgactccct	ccccctcg	240
gtgactgcga	gccccgcgc	cgggccgggg	aatgggtcg	ctgggtggct	gcgcgggcct	300
ccggtccttc	tcacgcaacg	cctggcacc	gcccctccgg	gccaggtgg	gcggggacgg	360
gcccgcgtac	ctctgc	cccccc	tagagggatg	tgcgcggcgc	acgcaagcta	420
gggtgggggc	tccgcgcag	gtgc	cccccc	cgttgtccct	ggggccgagt	480
ccccccgcgc	ccggatttct	gtgctctg	aatcaaagca	ctagccaccc	cgggagccaa	540
gagggaccct	caagggccgg	tggtcttgg	ctggagg	cgccgttgc	aatcagcact	600
aaggcgatcc	tagaggtgc	gaggagccgc	tagtgc	tcagcgagcc	tgc	660
ccatccattc	cgatc	ttca	atcaagagc	gcgaac	tca	720
gggacagg	tc	ccgc	ggc	ctgc	ccgg	780
gtcgacgcgc	ttct	cac	gcgc	at	cc	840
gcagccccgc	cccc	cc	cc	cc	cc	900
gcccagcg	ttc	cc	cc	cc	cc	960
cttcccgtac	cct	ctt	ct	cc	cc	1020
gggttctgca	ctg	cc	ct	cc	cc	1080
acccctctat	gtac	agg	gcac	ccat	atgt	1140
ccaccccccgc	cc	cc	cc	cc	cc	1200
gtgttttctc	c	cc	cc	cc	cc	1260
ccgcctataa	agg	tc	cc	cc	cc	1320
ctgatcccttgc	t	gat	cc	cc	cc	1380
ggtgagttgc	tgg	gg	act	cc	cc	1440
tgcctccagg	act	ttt	tag	cc	cc	1500
tgttttttagt	gac	cc	cc	cc	cc	1560
aggacttgc	cat	gg	cc	cc	cc	1620
caggacttca	gg	cc	cc	cc	cc	1680
ggggcttccc	cat	ca	gg	cc	cc	1740
ttctgatgac	agg	gg	cc	cc	cc	1800
cttaccatgt	gtac	cc	cc	cc	cc	1860
agggtggctt	gtc	at	gt	cc	cc	1920
caggatccc	agg	cc	cc	cc	cc	1980
atcagggtg	cag	at	gt	cc	cc	2040
ctgtgcagaa	gggg	ac	cc	cc	cc	2100
gtaaaatgt	ca	gg	cc	cc	cc	2160
gttaggaacc	atcc	at	cc	cc	cc	2220
gactgtcagg	ttcc	cc	cc	cc	cc	2280
cctctgaact	agag	at	cc	cc	cc	2340
ctgatccatc	tgat	cc	cc	cc	cc	2400
ctgatccatc	tgat	cc	cc	cc	cc	2460
ttttaggtca	agtt	cc	cc	cc	cc	2520
ctgatccatc	tgat	cc	cc	cc	cc	2580
tctctgtct	ctgg	ta	cc	cc	cc	2640
ctggtaac	ctgg	cc	cc	cc	cc	2698

<210> 2

<211> 1316

<212> DNA
 <213> Artificial Sequence

<220>
 <223> chemically treated genomic DNA (Homo sapiens)

<400> 2

tatgttaaat	ggtattgggg	tttcgtgtcg	tgttatacg	tggatcgaaa	atgcggatat	60
atgttaggtt	ttttttttcg	taggtagaag	tttatacgt	atttagattt	tttgttatcg	120
atttttttat	ttaatcgct	attcgttatt	tttcgatagt	tttttttttt	ttattttaat	180
tttacgtcgc	gcccggagg	ggttttttaa	gagtttgcgtt	tcgatttttt	tttttttcgc	240
gtgattgcga	gttttcgcgt	cgggtcgggg	aatgggtcgg	ttgggtgttt	gcgcgggttt	300
tcggttttt	ttacgtaa	tttgggtatc	gcgttttcgg	tttaggtggg	gcggggacgg	360
gtcgttt	ttttgtttagt	ttttagggatg	tcgtcggcgt	acgttaatgg	gtcgccccgt	420
gggtgggggt	ttcgcgttag	gtgtttttt	cgtgtttttt	gggttcgagt	tttttcgtgg	480
tttttcgtcg	tcggatttt	gtgttttgc	aattaaagta	tttagttat	cggaggttaa	540
gagggattt	taagggtcgg	tgggttttgg	ttggagggat	cgcgcgtgt	aattagtatt	600
aaggcgatt	tagaggttgc	gaggagtcgt	tagtgacgt	ttagcgagtt	tgttttttcg	660
ttatattat	cgattttta	attaagaggc	gcgaattttt	tttagtcgtt	cgggttttgg	720
gggataggtt	tagtttcgcg	gcgtttttgg	tttttcgggtt	ttcgtgat	taggttggg	780
gtcgttagcgt	tttttacgcg	agtcgggat	tagtaattt	gggaaggagg	ttattacggg	840
gtagtttcgt	tttcgtttgt	cgagttttgg	taggttgcgt	cgttggggag	gtatgtac	900
gttttgcgtt	tttagtgggt	aaaaaatgac	gaagaggagt	tttcgcgtt	tagatggag	960
tttttcgtat	ttttttttcg	ggttgttttgc	ggatttttttt	tttaagttt	tttttcgggt	1020
gggttttgc	ttgtttttgg	gacgtttttgg	aattgggatt	tttaggtgtt	tttagttttt	1080
attttttat	gtataaggat	cgagatgtgt	tttatagtgg	gtttttgttt	attcgatttt	1140
ttatatttcgt	cgtttttcgt	tatttttttt	ttaaatttttta	gagagattag	ttcgggttag	1200
gttgggtttt	tttttattttt	agtcgtttt	agggaaaggag	gcgtgggtt	acgtataagt	1260
tcgtttataaa	aggtgttagt	ttttatttttt	attttgaagg	tgatagttt	tggatg	1316

<210> 3
 <211> 531
 <212> DNA
 <213> Artificial Sequence

<220>
 <223> chemically treated genomic DNA (Homo sapiens)

<400> 3

ggtttgtttt	ggaggtaagg	cggtaggcgt	tgtagaattt	atgggaattt	tggtaggtt	60
ggaaattttt	gtttaataaa	tttttattt	atttagggg	ttattttttt	tgagttaa	120
tttggtaa	gcgtccgc	atttataggt	tttttttttgc	tttgcgtttt	tagtttttag	180
tttttttgcgt	tttagagat	ttttaggagc	ggtttttgcgg	tgttaggttac	gggtgttcgg	240
gcgggttgcgt	tcgtcgttta	gagtttggaa	gtcgttattt	cggtttagga	taattcgggtt	300
acgcggtcgg	cgtcgattt	gtacgttgg	gttgcgttgc	gtacggcg	gttagtcggg	360
ggtgggtttt	gaagtttaggc	gtttttgtt	tttgcgttgc	ttcgggtgtt	cgggtcgcgt	420
cgttaggttt	tgggattttt	ggtcgtttc	tttagtagtt	cgcgtttgt	tcgggtcgtt	480
tagcgttttc	gttttttattt	ttaaattttt	atttttgtt	tttttaggg	tttttaggg	531

<210> 4
 <211> 19
 <212> DNA
 <213> Artificial Sequence

<220>
 <223> chemically treated genomic DNA (Homo sapiens)

<400> 4

ggtttgtttt

19

<210> 5

<211> 18
<212> DNA
<213> Artificial Sequence

<220>
<223> chemically treated genomic DNA (Homo sapiens)

<400> 5

ccccctaaaa acacaaaaa 18

<210> 6
<211> 18
<212> DNA
<213> Artificial Sequence

<220>
<223> chemically treated genomic DNA (Homo sapiens)

<400> 6

tttttttcg ttttagag 18

<210> 7
<211> 18
<212> DNA
<213> Artificial Sequence

<220>
<223> chemically treated genomic DNA (Homo sapiens)

<400> 7

tttttttttg ttttagag 18

<210> 8
<211> 18
<212> DNA
<213> Artificial Sequence

<220>
<223> chemically treated genomic DNA (Homo sapiens)

<400> 8

ttggtagtcg ggggtgg 18

<210> 9
<211> 18
<212> DNA
<213> Artificial Sequence

<220>
<223> chemically treated genomic DNA (Homo sapiens)

<400> 9

ttggtagttg ggggtgg 18

<210> 10
<211> 500
<212> DNA
<213> Artificial Sequence

<220>
<223> chemically treated genomic DNA (Homo sapiens)

<400> 10

gggtgaaaaga gtgagttta tttttaaaac gaataaataa aaaattttaa aaaataaaaag 60
aatttagtta agtgtaaaag ttttttttga ttttaggttt tagtgaggta tcggcggggt 120
tgggattcga atttagtggta attagaatcg tgttaggttt ataattttatt tagattttag 180
taatttttagg tttagagggtt atcgcgttta tgcgaggctcg ggtggggcggg tcgttagtt 240
cgttttgggg agggggtcgc gttgttgatt gttgtgttc ggttaggtgaa ttttttagtta 300
attagcggta cggggggcgg ttttcgggg tttatttgt ttttagtttacg tttttttttt 360
tagtggcgtc ggaattgtaa agtatttgcg agttgcgga agtttagtta gatttttagtt 420
cgtttttagt cggttcgatt cgatcgtatt cggcgtttgt tttcggttcgg cgttttcggt 480
tagttatggg tttttggagt 500

<210> 11
<211> 23
<212> DNA
<213> Artificial Sequence

<220>
<223> chemically treated genomic DNA (Homo sapiens)

<400> 11

gggtgaaaaga gtgagttta ttt 23

<210> 12
<211> 21
<212> DNA
<213> Artificial Sequence

<220>
<223> chemically treated genomic DNA (Homo sapiens)

<400> 12

actccaaaaa cccataacta a 21

<210> 13
<211> 18
<212> DNA
<213> Artificial Sequence

<220>
<223> chemically treated genomic DNA (Homo sapiens)

<400> 13

attagaatcg tgttaggtt 18

<210> 14
<211> 18
<212> DNA
<213> Artificial Sequence

<220>
<223> chemically treated genomic DNA (Homo sapiens)

<400> 14

attagaatttgcgttgtt 18

<210> 15

<211> 18
<212> DNA
<213> Artificial Sequence

<220>
<223> chemically treated genomic DNA (Homo sapiens)

<400> 15

gttagtttcg ttttgggg 18

<210> 16
<211> 18
<212> DNA
<213> Artificial Sequence

<220>
<223> chemically treated genomic DNA (Homo sapiens)

<400> 16

gttagtttg ttttgggg 18

<210> 17
<211> 966
<212> DNA
<213> Artificial Sequence

<220>
<223> chemically treated genomic DNA (Homo sapiens)

<400> 17

ggtgtttgat aagatttgaa ggattttcgg atttttagagt attatttcgg aacgtttgg 60
atttttgtcg cgcgggtacg gcgattttt tagttgttag gtttagtttt gattttcg 120
aggggtttcg tagtgttgcg gggggaggtt ggggattcga ataaaaggagt agtttttcg 180
tcgggtttat tattcgacgt tggttttaag gttcgggttag ttgtttaaa gttggataaa 240
gtttgttttgcg taaaataaaaaa gaaggggaaag ggggaaggggg attttggat agatttgg 300
cgatttggat ataggttggg ttgttaagttc gcggggatcg ggttttagagg gtagtgttg 360
ggaacgtttt tttcgaaaaat taatttttta gggatcg 420
tttttttttat gcgtcg 480
attttcgtcg gagatttaggt ttcgcggggg ttatcg 540
ttttgggttt tcgttgcgttgcg 600
ttttcgattt ttttttcgtc gtttgggttt ttttttttc gttttgttt tcgcgtttcg 660
gttcgcgcga gttagacgtt cgggtatcg 720
ttttcgtacg gtgtgagcgt tcgtcg 780
ggtcgtcg 840
tcgtcg 900
agagtccggag cgagttttc ggggagtagc gatgcgattt tcgggacgg tcgggtagc 960
gtttttggcg ttgttgcgttgc gttttgttc ggcgagtcgg gttttggagg aaaagaaagg 966
taaggcg

<210> 18
<211> 21
<212> DNA
<213> Artificial Sequence

<220>
<223> chemically treated genomic DNA (Homo sapiens)

<400> 18

ggtgtttgat aagatttgaa g 21

<210> 19

<211> 19
<212> DNA
<213> Artificial Sequence

<220>
<223> chemically treated genomic DNA (Homo sapiens)

<400> 19

cccttacctt tctttcct 19

<210> 20
<211> 18
<212> DNA
<213> Artificial Sequence

<220>
<223> chemically treated genomic DNA (Homo sapiens)

<400> 20

agtattgatc gggagagt 18

<210> 21
<211> 18
<212> DNA
<213> Artificial Sequence

<220>
<223> chemically treated genomic DNA (Homo sapiens)

<400> 21

agtattgatt gggagagt 18

<210> 22
<211> 18
<212> DNA
<213> Artificial Sequence

<220>
<223> chemically treated genomic DNA (Homo sapiens)

<400> 22

gagtttttcg gggagtag 18

<210> 23
<211> 18
<212> DNA
<213> Artificial Sequence

<220>
<223> chemically treated genomic DNA (Homo sapiens)

<400> 23

gagtttttg gggagtag 18

<210> 24
<211> 272
<212> DNA
<213> Artificial Sequence

<220>
<223> chemically treated genomic DNA (Homo sapiens)

<400> 24

agaagttgtt tattgattgg tggatttcgt ttggcgtaa ttaggaaagg gggcggggt 60
agttagttgtt tttattgagt cgttattatc gcgaaaggc ggtttgggtt cgatagtttg 120
gttaagaggtt gtaggtcggt ttgggtttt gttattcgga gttggtaag cgggtggag 180
aatagcgaat atagcgtgag ttgggtcggt tgtttcgagt ttgcgttcg gtttttttg 240
tcgattcgtt acgtttgttt ggatttaatt tt 272

<210> 25
<211> 20
<212> DNA
<213> Artificial Sequence

<220>
<223> chemically treated genomic DNA (Homo sapiens)

<400> 25

agaagttgtt tattgattgg 20

<210> 26
<211> 20
<212> DNA
<213> Artificial Sequence

<220>
<223> chemically treated genomic DNA (Homo sapiens)

<400> 26

aaaattaaat ccaaacaaac 20

<210> 27
<211> 18
<212> DNA
<213> Artificial Sequence

<220>
<223> chemically treated genomic DNA (Homo sapiens)

<400> 27

ttgttattcg gagttgg 18

<210> 28
<211> 18
<212> DNA
<213> Artificial Sequence

<220>
<223> chemically treated genomic DNA (Homo sapiens)

<400> 28

ttgttatttg gagttgg 18

<210> 29
<211> 186
<212> DNA
<213> Artificial Sequence

<220>
<223> chemically treated genomic DNA (Homo sapiens)

<400> 29

gtttaagggtt gtttgtgtta taaatacgcg gtttatatgt cgccgtgata cggtgttttt 60
tgggttcggc gggatagata atatgaatgt gttttttaaa cgttttaagt tgttagggata 120
gttttcgggtt tagttcgtt ttccgaagcg tttcgtttt cgatgtttt tgttagttggg 180
aggagg 186

<210> 30
<211> 25
<212> DNA
<213> Artificial Sequence

<220>
<223> chemically treated genomic DNA (Homo sapiens)

<400> 30

gtttaagggtt gtttgtgtta taaat 25

<210> 31
<211> 19
<212> DNA
<213> Artificial Sequence

<220>
<223> chemically treated genomic DNA (Homo sapiens)

<400> 31

cctcctccca actacaaaa 19

<210> 32
<211> 16
<212> DNA
<213> Artificial Sequence

<220>
<223> chemically treated genomic DNA (Homo sapiens)

<400> 32

ggtgatacgg tgtttt 16

<210> 33
<211> 16
<212> DNA
<213> Artificial Sequence

<220>
<223> chemically treated genomic DNA (Homo sapiens)

<400> 33

ggtgatatgg tgtttt 16

<210> 34
<211> 18
<212> DNA
<213> Artificial Sequence

<220>

<223> chemically treated genomic DNA (Homo sapiens)

<400> 34

tttgggttcg gcggata

18

<210> 35

<211> 18

<212> DNA

<213> Artificial Sequence

<220>

<223> chemically treated genomic DNA (Homo sapiens)

<400> 35

tttgggttg gtggata

18